

I Dağıtım :
GÜVEN KİTABEVİ
Müdafaa Cad. 16/B
Tel : 17 89 76 Kızılay - Ankara

77
40
© Güven Kitabevleri
ANKARA İZMİR İSTANBUL

W.D. BENSINGER

MOTOR KONSTRÜKSİYONU (GAZ KUMANDA ELEMANLARI)

Yazar

Dipl.-Ing. Wolf-Dieter Bensinger

ÇEVİREN

Mesut Yalçınkaya
Mak. Yük. Müh.

GÜVEN KİTABEVİ
ANKARA
1974

24 Kasım 1978
Ferit Baltacı

MOTOR KONSTRÜKSİYONU

(Gaz kumanda elamanları)

Yazar
WOLF-DIETER BENSINGER
Dipl.-Ing,

Çeviren
MESUT YALÇINKAYA
Mak. Yük. Müh.

GÜVEN KİTABEVİ
1974

ÖNSÖZ

İki cilt halinde düzenlenmiş olan Motor Konstrüksiyonu kitabı ile konstrüktörler ve konu ile ilgili teknik öğrencilere gerekli olan bilgiler şekillerle gösterilmiş, en önemlilerin izahı yapılmış, fayda ve mahzurları uygulama sahaları ile incelenip hesap yolları verilmeye çalışılmıştır.

Bu kitabın hazırlanmasında şahsen beğendiğim ve öğrenimde her öğrenci gibi istifade ettiğim W.D.BENSINGER-A.MEİLER tarafından yazılan eserlerden büyük ölçüde yararlandım.

Birinci kitapta motor gaz kumanda elemanlarına ait bilgiler ele alınmış eksantrik mili, supaplar, supap yayları, supap yuvaları, külbüörler incelenmiş ve ayrı bölümlerde; motorların çok önemli elemanlarından, benzin motorlarında kullanılan karbüratörler ile diesel motorlarında kullanılan enjektör pompalarının çalışma şekilleri ve elemanları hakkında açıklayıcı öz bilgiler verilmiştir.

İkinci kitapta ise yine yüksek devirli motorlar için piston, piston kolu, ve kranc mili ile bunlara ait parçalar hakkında genç mühendisler ve teknik öğrencilere endüstriye elde edilen tecrübe değerleri de dikkate alınarak gerekli bilgiler sunulmaya çalışılmıştır.

Bu eserlerin teknik öğrenim yapan öğrencilere ve mühendis arkadaşlarına faydalı olacağını ümit eder, başarı dilerlerimi sunarım.

M. Valçinkaya
Mak. Yük. Müh.

- © Her hakkı mahfuzdur. Bu eser veya bir kısmı Güven Kitabevi'nin yazılı izni olmadan herhangi bir şekilde tekrar basılamaz.

İÇİNDEKİLER

	<u>Sayfa</u>
GİRİŞ	7
1.GENEL BAKIŞ	9
1.1 Kumanda diyagramı	9
1.2 Kumanda kesitleri	12
1.3 Silindir supap sayıları	15
2.SUPAPLARIN KUMANDASI	15
2.1 Genel açıklamalar ve ifadelerin tesbiti	15
2.11 Supap açılması (itilmesi)	16
2.111 Teorik açılma	16
2.112 Gerçek supap açılması	18
2.113 Supap boşluğu	21
2.12 Kumanda tipleri	23
2.2 Uygulanan konstrüksiyonlar	26
2.21 Yandan supaplı motorlar (Daimler-Benz"170V")	26
2.22 Bir yandan ve bir üstten supaplar(Rover"60")	28
2.23 Altta eksantrik milli, üstten parellel supaplar(BMW"501", Deutz"F8L614", Buick"V8")	28
2.24 Altta eksantrik milli, birbirine göre eğik üstten supaplar(Armstrong-Siddeley"Sapphire", BMW-"250cm ³ -Motosiklet motoru, BMW-Yıldız uçak motoru)	30
2.25 Üstten eksantrik milli motorlar(Daimler-Benz"300", DB-"603"Uçak motoru, DB-3Ltr.yarış motoru, Singer"SM1500", Jaguar"XK120")	34
2.26 Otomatik boşluk ayarı	38
2.3 Kumanda elemanlarının hesabı	40
2.31 Kamalar	40
2.311 Daire yaylı kamalar	44
2.312 Düz ivmeli kamalar	58
2.32 Supap yayı	69
2.321 Titreşim dikkate alınmaksızın yayılan hesabı	72
2.322 Titreşim zorlamasının hesabı	77
2.34 Supap, supap hareket yatağı, ve supap yuvası	80
2.331 Supap	80
2.332 Supap hareket yatağı	84
2.333 Supap yuvası	85

Giriş

	Sayfa
2.4 Eksantrik mili çevrim düzeni	89
2.41 Alın dişli tahrif düzeni	89
2.42 Konik, sonsuz-dişli-ve spiral dişli çevrim düzeni	90
2.43 Zincirli çevrim düzeni	90
2.431 Zincir tipleri	91
2.432 Zincir gerilimi	92
2.433 Titreşimin azaltılması	94
2.434 Konstrüksyon uygulamaları	95
2.44 itme kollu hareket düzeni	97
3. ŞİBERLİ KUMANDA	98
3.1 Genel açıklamalar	98
3.11 Contalama (sızdırmazlık)	99
3.12 Yağlama	100
3.2 İmalat tipleri, kumanda kesitlerinin tesbiti ve uygulanan konstrüksyonların açıklanması	102
3.21 Düzensiz hareketli şiber	102
3.211 İki zamanlı motor	102
3.212 KNİGHT-Şiber kumandası	107
3.213 BURT-MC-COLLUM-Şiber kumandası	107
3.22 Döner şiber	112
3.221 Düz satılık şiber	112
3.2211 DVL-WVV-Düz şiber kumandası	114
3.2212 DVL-WVV-Düz şiber kumanda tipinin daha geliştirilme im- kanları	118
3.2213 Bristol-salgılı tablalı motor	120
3.2214 SACHSENBERG-SKLENAR-Motor ...	122
3.222 Silindirik döner şiber	123
3.2221 CROSS-Şiber kumandası	124
3.2222 BAER-Şiber kumandası	126
3.2223 Konik şiber-ASPiN-motoru	128
SON SÖZ	129
KARBURATÖRLER	130
ENJEKTÖR POMPALARI	143
LITERATÜR	157

Motor konstrüksiyonu yapan bir kimse için yakıt püskürtme dizaynını yapmak çok ilginç bir vazifedir. İmalat planlanan bir motorda silindir adedi, silindir kurs hacmi ve silindir tanzim tarzı tesbit edildikten sonra, hareket düzeneinde ve silindir konstrüksyonunda önemli derecede değişiklik yapmak imkanı mevcut değildir. Buna karşılık yakıt püskürtme dizaynında konstrktör daha geniş uygulama yollarına sahip olup, o bu sahada kendi kabiliyet ve yaratıcı gücünü gösterir. Yakıt püskürtmenin kumanda şekli motorun gücüne ve dolayısıyla motorun hacmine, gürültüsüne ve nihayet imalat maliyetine önemli derecede tesir eder. Yarış arabaları motorlarında maliyete ve diğer masraflara rıayet edilmeksizin son yüzdesine kadar motor gücüne önem verilir. Halbuki binek ve taşıyıcı araba motorlarında giyaseten ziyade imalat maliyetine değer verilir.

Her konstrüksiyonda bazı önemli noktalar vardır ki, o anda konstrktör sanatını göstermesi gereklidir. Bazen sayılarla ifade edilemeyecek bazı hareket noktaları enine boyuna tartılmalı ve en uygun sonuca varılmalıdır. Mesela termik randimanda %1 oranda fayda sağlanırken, verimden %5 zarara uğramanın hiçbir anlamı yoktur. Yine supap kesitini gelişigüzel büyük tutmanın, mahzurlar meydana getirdiği bilindiği için önemli bir faydası yoktur. Sık sık bakım gerektiren, motorun önemli yerlerine ulaşması zor olan veya onu kullanan elemandan bazı önemli yetenekler gerektiren bir motor, çok iyi dahi olsa bu nedenlerle kötü bir reklam yaratır. Birçok hususlar çeşitli yönleriyle ele alınarak daima iyi bir şekilde kontrola tabi tutulmalı ve erişilmek istenen sonucun en iyi degerde olmasına çalışılmalıdır. Konu üzerinde derinliğine araştırma yapılarak imalat maliyetinin düşüklüğü yanında işletme emniyeti yönünden veya başka yönlerden önemli yararlar meydana getirdiği tesbit edilmelidir.

Yakıtın kontrolu bakımından sayısız konstrüksyon yöntemleri hem supaplar ve hemde dönerli siberler uygun görülecek tercih edilebilir. Bu kitapta supapların en önemlilerinin izahı yapılmış ve onların fayda ve mahzurları uy-

gulama sahaları ile beraber incelenmiştir. Kumanda elemanlarının hesap yolları gösterilmiş, supap hareketlerini direkt olarak yaratan eksantrik milinin kamalarının hesabına çalışılmıştır. Kumanda çevrim düzeni, konstrüksiyona tüm olarak etki ettiğinden, bu konu ayrı bir bölümde incelenmiştir.

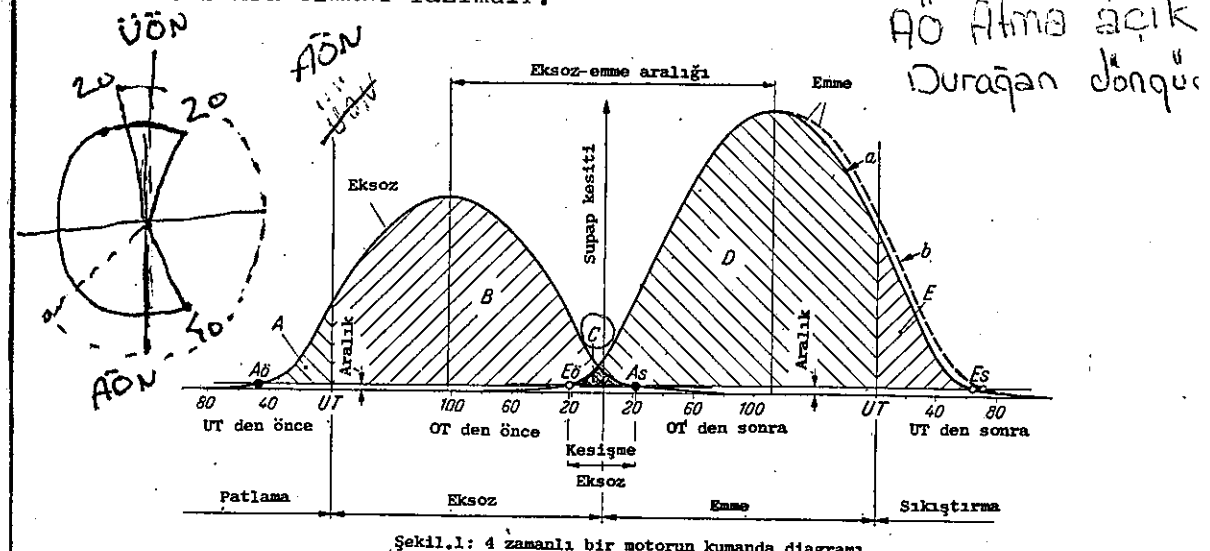
Bu kitabın amacı konstrüktörlere gaz kumanda elemanlarının şekillendirilmesinde yardımcı olmak, ve ona bu elemanların hesaplanması ve ölçülendirmesinde gerekli tüm bilgileri vermektedir. Bu kitap ilmi çalışma yapanlar için değil, daha ziyade motor dizaynı yapanlar için düşündüğünden, klayca anlaşılması hususuna büyük değer verilmiştir. Konstrüksiyonda kullanılan tüm formüller detaylı olarak izah edilmiştir. Formülüne çıkarılışına değinilmiş fakat genellikle tamamen tefferruatına gidilmemiştir. Ve rilen örnekler bazı pürüzleri daha iyi izah etmek amacını gütmektedir. Konstrüktör için ilgili formülleri aramak veya formülü çikarmak zahmetli olduğu gibi, hatalara da sebebiyet verebilirler.

17-05-2015

1. Genel Bakış

1.1 Kumanda diyagramı Komuta çizgesi

Emme supapının görevi, emis periyodu esnasında mümkün olduğu kadar çok, taze gazın silindir içeresine akmasına imkan vermektedir. Buna karşılık eksoz supapının da görevi yanmış gazların silindiri imkan dahilinde tamamen terketmesini sağlamaktır. Hiçbir konstrüksiyonda emme ve eksoz kesitleri hemen tam olarak açılmayıcağı ve ayrıca akış halindeki gazlar kinetik enerjiye sahip olduklarından, supap açma ve kapama zamanlarının, piston ölü noktalarından önce ve sonra olması lazımdır.



Şekil.1: 4 zamanlı bir motorun kumanda diyagramı

Bir motorun kumanda diyagramı (Şek.1) dinamik oluşturular dikkate alınarak indikatör-diyagramı (Şek.2) ile müstereken gözüne alınmalıdır. Aşağıda dört zamanlı motorlar için açıklanan düşünceler genel olarak iki zamanlı motorlar için de uygulanabilir.

Once "Eksoz açık" ("AÖ") ile başlayalım. Bu kumanda süresi alt ölü noktadan o derece önce öngörmeli ki, bir taraftan patlama çizgisinden kayıp en az oranda olmalı (Şek 2 deki "F" alanı) ve diğer taraftan silindir içindeki ba-

Atma supap boşluklarının çok olması supapın yanmasına neden olabilir.

10

(Düşük değer)

sıçr değeri çok çabuk (yatay) çizgi üzerine düşmelidir: Yani "C" alanı küçük olmalıdır. Eksoz supapı açılmasının ilk anlarında kritik üstü basınç oranı, hakim olduğundan ve dolayısıyle çıkan gaz miktarı iç basınçla bağlı olmayıp sadece o anki zaman kesitine bağlı olduğundan, "Aö" oldukça önce başlayabilir. Eksoz supapının termik yüklenmesi bilhassa supap normal şekilde açılmadığında hızla arttığından bu hususa bilhassa dikkat edilmelidir. En uygun gaz kumanda süresinin tayini alt ölü noktadan ("UT") önceki açıyla değil, taranmış "A" alanı ile tesbit edilir. Burada devrin değişmediği kabul edilmiştir. Kumanda kesitinin keskin olarak artışı halinde "UT" den önceki açılma açısının değeri, yumuşak eksoz açılmasına nazaran daha küçük olmalıdır.

Pistonun yanmış gazı itmesi esnasında, pek tabi büyük bir kumanda kesitinin ("B" Alanı) mevcut olması lazımdır. Dolayısıyle silindirdeki yüksek basınç p_A küçülür. Eksoz gazının kinetik enerjisinden istifade etmek ve üst ölü noktaya doğru kumanda kesitinin hızla azalması dikkate alınarak, "Eksoz kapama" üst ölü noktanın arkasında öngörülür.

Emme supapı, üst ölü noktadan (Eö) önce açılır, çünkü kesit, başlangıçta henüz küçüktür ve diğer taraftan çıkan eksoz gazları, emilen taze gazı harekete geçirir. Emme ve eksoz supaplarının aynı zamanda açık olmaları haline "Kesişme" denir. Dar bir devir sahası içinde çalışan ve sadece hava emen motorlarda mesela silindir içerisinde benzİN püskürtmeli uçak motorlarında kesişme alanı "C" o derece büyük seçilir ki, yanma odasında bulunan yanmış gazlar süpürülerek tamamen uzaklaştırılmış olur. Böylece güç meydana getirmek için mevcut olan taze gaz miktarı yanma hacmi kadar artmış olur. Daha geniş devir sahası motorlarda kesişme alanı büyük olamaz, çünkü küçük devirlerde eksoz gazı emis kanalı içine kaçabilir ve tekrar emilir veya eksoz kanalından tekrar emilmiş olur. Bilhassa her silindiri eşit miktarda taze gaz emis yapamayan çok silindirli motorlarda, uygun olmayan durumlar ortaya çıkabilir.

Üst ölü noktadan sonra emis kumanda kesitleri ("D" Alanı) mümkün olduğu kadar büyük olmalıdır, böylece silindirdeki, alçak basınç p_s küçülür ve iyi bir dolgu meydana gelir. Kü-



1- Atma açı

2- Emme kapadı

3- Emme kapadı

4- " " açı

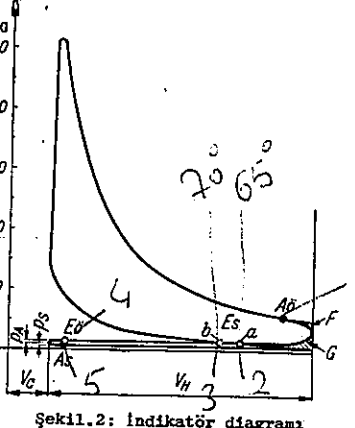
5- Atma 11 kapadı

cük basınç farkında taze gaz içeri akın ederken, eksoz gazının büyük bir kısmı, basınç altında silindiri terkettiğinden eksoz çıkış kesitleri, emme kesitlerine nazaran daha küçük olabilir. Bu uygulama bilhassa eksoz çıkış kesitin küçüklmesi, emme kesitin büyumesine hacim bakımından imkan verdiği takdirde öngörülür.

Piston alt ölü noktayı aştığı zaman, kinetik enerjisinden dolayı biraz daha temiz gaz silindir içerisinde akmeye devam eder. Böylece emme supapı alt ölü noktadan sonra öyle bir anda kapanmalıdır, piston temiz gazları geri itmeye başladığı an, supap ta kapama işlemini yapmalıdır. Burada da "Emisi kapama" "Es" i tayin eden açı değeri değil, "E" alanıdır. Gaz kumanda kesit eğrisinin düz degilde meyilli olması halinde "Es" noktası daha önde bulunmalıdır.

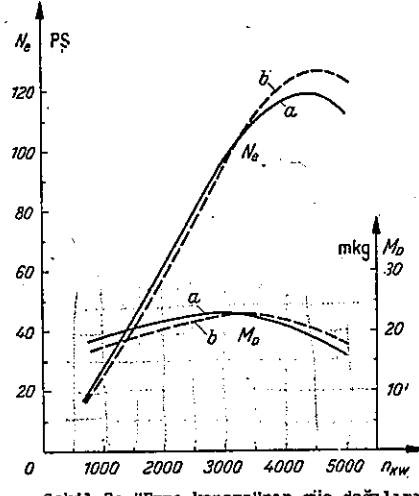
Kumanda diyagramı üzerindeki en önemli zaman, emisi kapama zamanıdır. Bu nokta sabit olup, diğer bütün kumanda zamanları değiştirilse, (Alman hava teknigi araştırma, dene me merkezinde bunun denemesi yapılmıştır.) maksimum gücün artışının çok az, yani eğrinin düz gittiği tesbit edilir, ve geniş bir devir sahası için "Aö", "As" ve "Eö" için en yüksek değerler bulunabilir, fakat en iyi değer "Es" için bulunur ve devir adediyle direk orantılıdır.

Emme kapama zamanı, motorun dönme momenti karakteristiğine, elastikiyetine ve onun maksimum güç değerine önemli derecede tesir eder. Şekil 3, bunu açık olarak göstermektedir. Sek. 1 deki "a" ve "b" kumanda kesitlerine uygun olarak "a" ve "b" güç eğrileri verilmiştir. İlk harekette hızlı ivme ve dağınık arazide iyi elastikiyet istenen binek arabalarında maksimum güç yerine daha yüksek dönme moment değeri önem kazanır. Sadece çalışma devir sahası dar olan motorlarda bu konuda bir güçlükle karşılaşılmaz. Uçak motorlarında, değişken uçma yüksekliği, kumanda zamanlarına tesir eder, dolayısıyle bunun tekrar dengelenmesi gereklidir.



Şekil 2: İndikatör diagramı

Buraya kadar izahların özeti



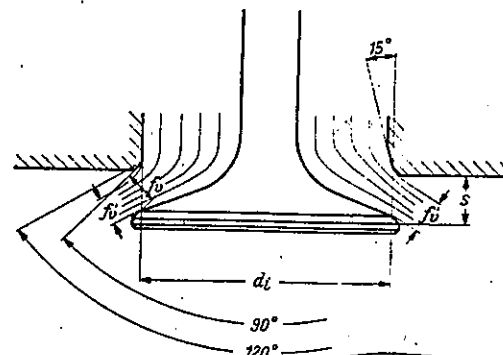
Şekil.3: "Emme kapama"nın güç dağılımı üzerinde etkisi

1. Kumanda zamanı için açı degeri değil, kumanda kesit alanı önemlidir. (bak sek. 1) Eğri gidişinin değişmesi halinde, "A", "C" ve "E" alanları yaklaşık olarak sabit tutulmalıdır. Eğrinin meyilli olması iyi bir dolgu yapması için arzu edilir, düz olarak gidişi ise gürültü yönünden tercih edilir.
2. "A" alanı nisbeten büyük seçilebilir. Kumanda organlarının termik yüklenmeleri artarsa da, supapların gari muntazam açılmalaraına imkan verilmemelidir.
3. "C" alanı, küçük devirlerde motorun düzgün çalışmasına olumlu etki yapıyorsada daha büyük seçilemez.
4. "E" alanı motorun güç karakteristiğine kuvvetle etki eder. Büyük bir alan, yüksek devirlerde fazla güç meydana getirir ve küçük devirlerde devir momenti masraf demektir. "A" ve "C" yüzeyleri geniş bir devir sahası için uygun olarak seçilebilir.
5. "B" ve "D" ölü noktaları arasındaki kumanda kesit alanları mümkün oldukları kadar büyük olmalıdır. Eksız alanı "B", "D" den daha küçük olabilir.
6. Kumanda zamanları motor hakkında birsey ifade etmezler. Karar verebilmek için kumanda kesit diyagramının ve devir sahasının tanınması lazımdır.

1.2 KUMANDA KESİTLERİ

Kumanda elemanlarının tesbitinde, kesitin tamamının öngörülen akış miktarını karşılayacak şekilde olmamasına dikkat edilmelidir. Köşe noktalarında meydana gelen çözümlerden dolayı gerçekte daha dar bir kesit meydana gelmiş,

13.



Şekil.4: Emme supapı içindeki gaz akışı
mamen farklıdır. Küçük açılmalı supaplarda akış katsayıısı yaklaşık olarak 1'e eşittir, kurs boyu arttıkça akış katsayıısı azalmaya başlar ve 0,6 değerine kadar düşer.

Genel olarak bir supapın kesiti şu formülle hesaplanır:

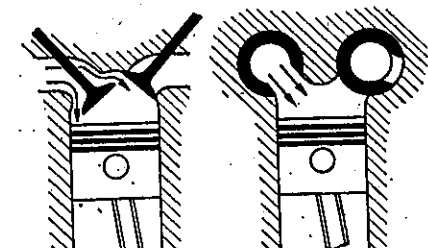
$$f_v = \pi d_i \cdot s \cdot \sin \frac{\alpha}{2}$$

d_i = supap temas çapı (Şek.4), s = supap kursu, α = supap yuvası açısı.

Bu formül, supap kursuna bağlı bazan kesin olmayan yaklaşıklık değerler verebilir. Kesin hesab çok karışık formül ve hesaplar gerektirebilir. Fakat pratik hesaplar için yukarıda verilen formül yeterli ve uygundur.

Supap yuva açısı genellikle 90° olarak alınır. Bu açının 120° olması halinde f_v kesiti daha da büyür; Şekil 4 de görüldüğü gibi akışta önemli bir değişme olmamaktadır. Akım, supap çevresinde daha iyi olurken, supap yuvalarında durum daha kötüleşmektedir. Gaz akışının çözülmemesine meydan vermemek için keskin köşelerden kaçınılmalıdır, supap temas yüzeyi önde hafif bir daralma tercih edilebilir. (Şek 4 sağa bak) Yine keskin köşelere kavis verilmesi tavsiye edilir.

Eksız supapında akış katsayıısı
a)Yandan supaplar b)Eğik üstten supaplar c)Döner silindirik şiper
Şekil.5: Muhtelif kumanda organlarında gaz akışı



değeri emme süpapına nazaran daha iyidir. Çünkü akış yönü tersdir ve daha büyük basınç farkı mevcuttur.

Kumanda elemanlarında, supaptan sonraki gaz akışı serbest yayılmakta veya yanma odası cidarlarında yön değiştir mekte veya mani yaratmamıştır hususu pek tabi önemlidir. Akış durumu, Şek.5 deki a motorunda b motoruna nazaran daha kötüdür. En iyi akış oranını döner şiberli c motoru yaratır.

İyi dolguya büyük tesiri olan, fakat pek dikkat edilmeyen bir husus, taze gazın silindire gidiş yolu üzerinde ısinmasıdır. Isınmayla gaz genleşir ve emilen hava ağırlığı azalır. Böylece supapın kumandası uygun olmayan bir şekil alır. Bu durumda taze gazlar dar supap aralığı içerisinde ısinmış yüzeylere temas ederek akar. Emme supapı sıcaklığı 300-500°C a kadar ulaşır. Buna karşılık döner şiberli bir supap sisteminde sadece taze gaz akışının çevre bölgeleri ısinır, gazın büyük bir kısmı ısinmış yerlerle temasa gelmez. Stasyoner akış deneyinde ısinmanın tesiri yoktur.

Özeti:

1. Hesabi olarak tesbit edilen supap açılma kesiti: gazın çözülme olanaklarından dolayı tam tesirini gösteremez. Supapların kumandasında akış katsayı değeri artan kurs boyu ile daha kötüleşirken, döner şiberli süpap sisteminde tam açık vaziyette en iyi değeri kazanır.

2. Supaplardan sonraki gaz akışına da dikkat edilmelidir.

3. Silindirin dolma durumuna gazın ısinmiş olmasının büyük etkisi vardır. Stasyoner akım deneyi, sadece sınırlı olarak çalışan motora bağlı olarak aktarılır.

4. Değişik konstrüksiyon şekillerindeki kumanda kesitleri önemli farklılıklar arzedebilir, çünkü akış katsayıları, gaz akış şekilleri ve ısinma bazı şartlarda birbirlerinden çok ayrı olabilirler.

5. Döner şiberli supap sisteminde taze gazların akış ve ısinmaları normal supaplı kumandaya nazaran daha uygunluk arzeder.

1.3 SİLİNDİR SUPAP SAYILARI

Toplam olarak iki supap daha büyük kesit meydana getirmesine rağmen tek kumanda supapı, iki supapa nazaran daha iyi dolgu meydana getirir. Çünkü cidar sürtünme kayıpları, ve ısinma menfi etki yaparlar. Bazı şartlarda supaplardan sonraki her iki akım birbirini kötü yönde etkileyebilirler. Eğer büyük kumanda kesitlerinin olması istenir veya meyda-na gelen kütle yüklerine ve termik yüklenmelere hakim olmak mümkün olmadığı takdirde, iki supap sistemi uygulanmalıdır.

Döner şiberli kumanda sisteminde, emme ve eksozu, yanma odasına açılan aynı ağız içerisinde kumanda etmek mümkündür. Bu tatbikatta, gerçekle pek uygun değildir. Çünkü birbiri ile kesişme esnasında hem eksoz gazi kolayca emiş kanallı içerisinde kaçabilir ve hemde taze gaz eksozla birlikte sürüklenebilir. Eksozdan emişe kadarki mesafe mümkün olduğu kadar tüm yanma hacmi boyunca uzanmalı ve dolayısıyla ölü köşelerin eksoz kalıntılarına imkan bırakılmamalıdır.

2. SUPAPLARIN KUMANDASI

2.1 GENEL AÇIKLAMALAR VE İFADELERİN TESBİTİ

Supaplar, konstrüksiyonu çok zor olan bir kumanda elemanlarıdır. Onlardan istenen daima ve sürekli olarak artan iyi özelliklerin başarı ile yerine getirilmiş olmasına şaşmamak elde değildir. İnanılması hakikaten güç olmasına rağmen, eksoz supapının, sıcaktan kızarmış bir halde dakikada birkaç bin defa darbeli olarak açılmasına ve tekrar supap yuvasına oturmasına, yine termik ve mekanik yönlerden daha fazla zorlanmasına rağmen oldukça uzun ömre sahiptir. Bu supap birçok kötü şartlara sahip olmasına rağmen iyi bir yanı, silindir içindeki basınçlı zaman esnasında çalışır durumda olmamasıdır. Bu basınçla supap yuvasına itilir ve böylece iyi bir sıkıştırma meydana getirir.

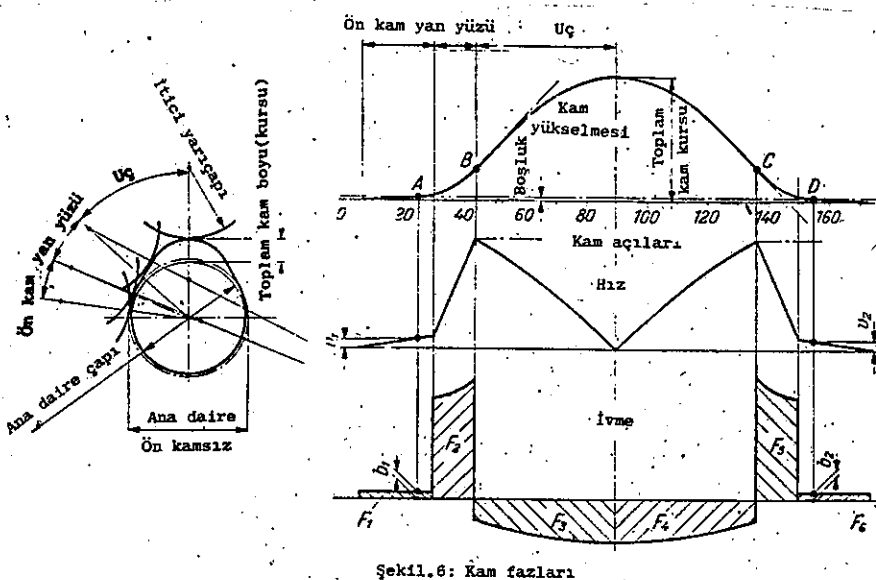
Eksoz supaplarının iyi kapama yapmadıkları, gaz kaçırmları halinde hızla püsküren çok sıcak gazların kaçırma yaptığı yerdeki malzemeyi, kaynak derecesinde o şekilde ısıtır ki, hemen delik meydana getirir. Sayet bir supap ka-

cırma yapıyorsa, bunun neticesi olarak önce sıkıştırma o- ranında bir etkisi olur. Bu durum, güç azalması meydana gelmesinden hissedilir. Patlama basıncı tesiri ile supap çok kuvvetle supap yuvasına itilir ve böylece tekrar kaçırma yapmaz. Şayet supap kaçırmasına mani olunamadığı takdirde, motorun kısa zamanda arızalanması beklenmelidir.

Eğer, açılıp kapanmakla çalışan bu supapların sizdirmazlık özellikleri iyi olmasaydı, belki bugün sadece döner şiper supapları kullanılacaktı. Siberli supaplar mekanik, termik ve akış özelliklerini yönünden diğerlerine nazaran daha üstündür.

2.11 SUPAP AÇILMASI(İTİLMESİ)

2.111 Teorik açılma: (Kısım 1.1 deki) kumanda diyagramı ile supapın açılması ve kapanması anındaki saha tesbit edilmiştir. Hareketler ve herbir faz üzerinde daha açık fikir elde etmek için Şekil 6 incelenmelidir. Supapın kaçırma yapmaması için supap iticisi, eksantrik mili kamının a na dairesi üzerinde hareket ettiği müddetçe supapa nazaran belirli bir aralığa sahip olmalıdır. Yani, kamın itmeye başlaması halinde, önce supap iticisi artan bir hızla kalk-



Şekil.6: Kam fazları

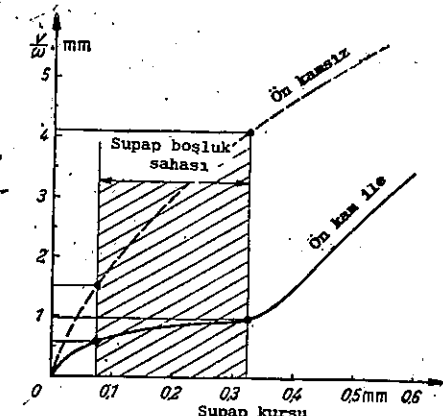
maya bağlar. "A" noktasında, supap boşluğun eristiği zaman supap aniden v₁ hızına gelmelidir. O anda bir darbe meydana gelir ve onun kuvveti kısaltmalarla elde edilen şu bağıntı ile hesaplanır.

$$S = v_1 \sqrt{m/c}$$

m_v = supap kütlesi, c = Sistemin yay sabitesi, yani yay mesafesi birimi yüklenmesi

Supap boşluğu, işletme şartlarına (kısım 2.113 e bak), supap ayar hassasiyetine ve zamanla meydana gelen aşınmalara bağlı olarak belirli sınırlar içerisinde değişebileceğinden ve diğer taraftan itmenin mümkün mertebe küçük hızlarda olması gerektiğinden, Şekil 6 da gösterildiği gibi gerçek kam önüne oldukça küçük ivme veren bir ön kam kısmı öngörülabilir. Bu ön kamın tesiri Şekil 7 de görüldüğü gibi supap hızı, supap açılmasına bağlı olarak çizildiği an daha kolay anlaşılır. Şekildeki taramış alan işletme durumunda meydana gelen boşluğu gösterir. Şekilden ön kam vasıtasyile temas hızının ne kadar düşüğü kolayca görülmektedir. Supap boşluğu ne kadar küçük olursa, ortaya çıkan gürültüler de o kadar azdır. Ön kam kursu, meydana gelen en büyük supap boşluğunundan daha büyük olmalıdır. Böylece itme, kam alın yüzeyin temasına kadar tamamlanmış olur ve yüksek ivme kuvvetleri ile karşılaşmamış olur. Eğer boşluk daha büyük seçilirse supap açılması düzgün olmaz. Bu ise bilhassa eksoz supapının yüksek termik yüklemesinden dolayı pek arzu edilmez. Eğer otomatik bir supap boşluk ayarı öngörülmüş ise (kısım 2.26) darbeye imkan verilmemiş olunur.

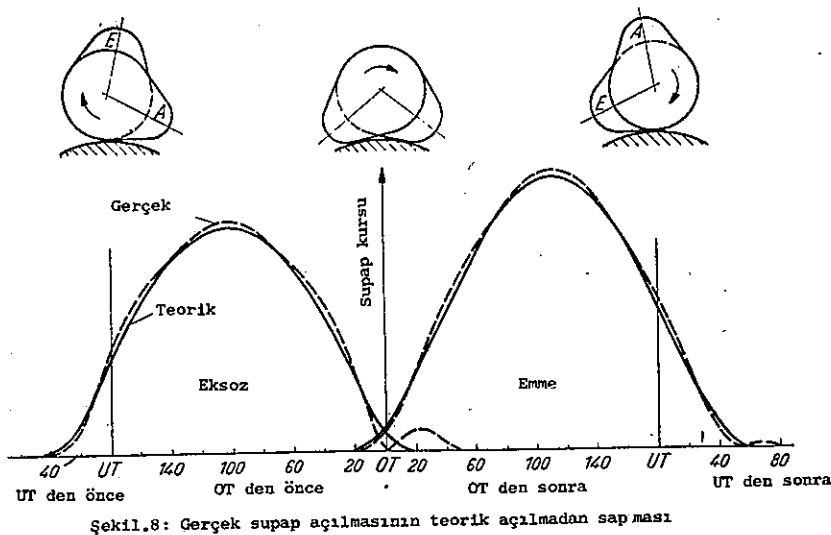
Eksantrik kamın yan yüzeyinde hız çok çabuk artar. Yan yüz ivmesi sınırı, supap kamandasının emniyetli gürültü degeri ve meydana gelen zorlanmalarla tahdit edilmiştir. Prä-



Şekil.7: Supap hızına ön kamın tesiri

tik tecrübe göstermiştir ki, sadexe itme değil, kam yan yüzü üzerindeki ivmenin de gürültünün şiddetine tesiri vardır. Eksantrik mili, kollar v.s. nin yataklarındaki ani hareketlerinde gürültüye sebep oldukları kolayca tahmin edilebilir.

"B" dönüş noktasıne eristikten sonra supap, sabit bir hızla kesik çizgi ile gösterilen hat boyunca hareket etmek isteyecektir. Sırtınme ve hava direnci dikkate alınmadığında supap, supap yayı nedeniyle de yavaşlamalı ve kam üzerinde tutulmalıdır. Ivme diyagramında pozitif yüzey (F_1+F_2), negatif yüzey F_3 e eşit olmalıdır. Bu diyagram ivme hareketinin kontrolune imkan verir.



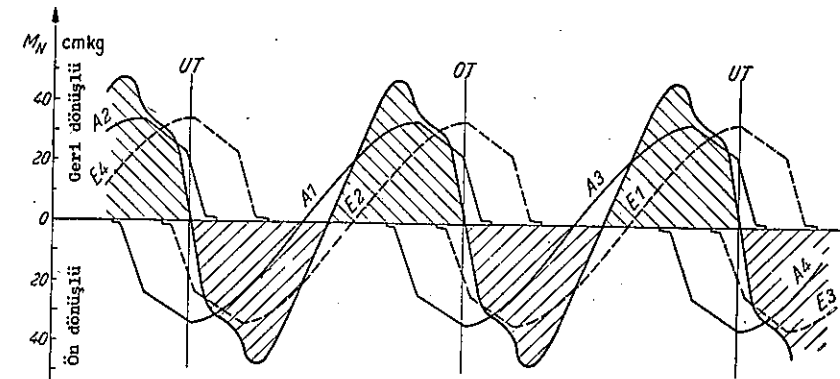
Şekil 8: Gerçek supap açılmasının teorik açılmadan sapması

En yüksek kam noktasının açılmasından sonra supap, supap yayı tesiriyle tekrar hareket haline gelir, ve "C" noktasındaki kinetik enerjisi, kam yüzeyi üzerinde tutulur, v_2 hızı ile supap, yuvası üzerine oturmuş olur. F_4 alanı tekrar (F_5+F_6) alanına eşit olmalıdır. Genellikle supap açılması simetriktir. Dolayısıyla F_1 , F_2 , F_3 alanları F_6 , F_5 , F_4 alanlarına eşit olur.

2.112 Gerçek supap açılması: Gerçek supap açılması teorik değerden daha fazla değildir. Bunun sebebi, aktarma elemanlarının elastikiyetinden, eksantrik milinin kendinden

ve bu milin tarike şeklindendir. Kuvvetler ve önlarin eksantrik mili eksenine olan mesafesinden döème momenti meydana geldiğinden, kam ileri harekette geri kalacak ve geri harekette ileri gidecektir. Böylece hesapla bulunan değere nazaran daha kısa açı ve daha yüksek ivme(hızlanma) ve yavaşlama meydana gelir. Aynı etki aktarma elemanlarının elastik olarak müsterek basıya zorlanmaları halinde de vardır, günümüz hareket zamanları kısaltmıştır.

Sekil 8 de, emme ve eksoz için müsterek eksantrik milli bir motor için sapma olayı gösterilmiştir. Eksoz başlangıcında supap açılması geride kalacak dolayısıyle kam üzerinde moment ters yönde olacak ve aktarma elemanları birbiri üzerine baskı yapacaktır. Esneme hareketlerinin dengelenmesi, yan yüz üzerindeki ivmenin yükselmesine tesir eder, zamanlar kısalır ve kam ile supap arasındaki kuvvetler bağıntısını elde etmek için supap yayı, maksimum noktada gerekeni temin edemez. Supap, kamın uç noktası üzerinden sıçrar, onun ardından kam üzerine oturur ve ona ileri doğru yönelmiş bir döeme momenti verirken bu arada aktarma elemanları elastik olarak tekrar sıkıştırılmış olurlar.



Şekil 9: 4 silindirli bir motorda supap yayları nedeniyle eksantrik milindeki döeme momenti

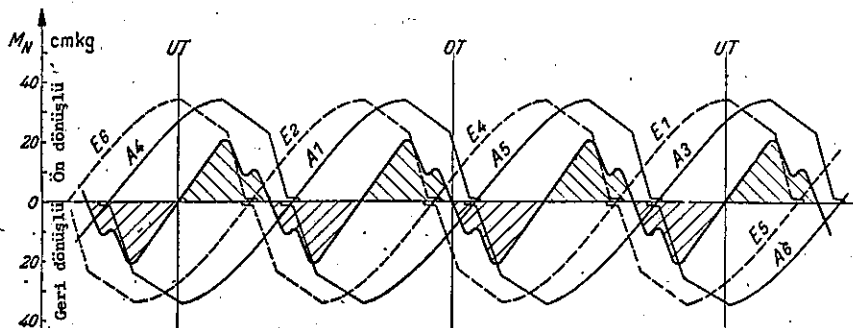
Supapın yuvası üzerine oturması anındaki darbe, oldukça fazladır, yuva yayı tesiri yapar ve supapi tekrar iter, Emme ve eksoz için müsterek bir eksantrik milinin mevcut olduğu motorlarda, aynı zamanda emme supapında aniden meydana gelen kuvvetler eksantrik milini tekrar aksi yönde dön-

dürmek istiyecinden, eksoz supapının yeniden açılması geri dönen eksoz kamı vasıtasıyla kolaylaşmış olur. Şekil 8 de supap açılmasındaki ilave açılma kolayca görülmektedir.

Emme supapı açılması önce, hesaplanan değerden daha geride bulunur, fakat eksoz supapında olduğu kadar fazla degildir, çünkü burada ilave gaz basıncı nedeniyle supap üzerine daha büyük dönme momenti tesir eder. Yine müsterek eksantrik mili motorda eksoz kamının ileri doğru döndüren momenti emme kamının geri dönmesini dengelermeye çalışır. Gerçek supap açılması hesaplanan değerden ne kadar az farklı olursa, supapın kam tepesi üzerinde sıçramasında o kadar az olur. Kamın çıkış kısmında gerçek supap açılması geride bulunur ve tekrar ilave açılma meydana gelebilir.

Supap açılmasındaki farklılıklar hangi usullerle azaltılabilir? Herşeyden evvel hareket eden kütler nisbeten, küçük ve sağlam olmalıdır, sonra eksantrik mili torsyon ve büükülmeye mukavim olmalı ve yatak yerleri salgı yapmamalıdır. Ayrıca eksantrik mili tahrik sistemi de küçük elastikiyete sahip olmalıdır. Emniyetli ivme değerleri genel ölçüde supap kumanda konstrüksiyonuna bağlıdır.

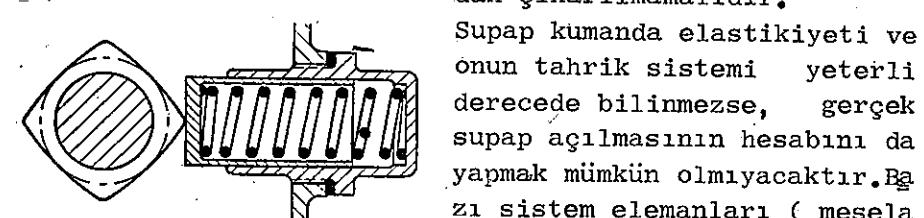
Şekil 9 ve 10 da emme ve eksoz için müsterek eksantrik, miline sahip 4 ve 6-Silindirli motor için teorik dönme momentinin dağılışı gösterilmiştir. Şekillerden 6 silindirli motorlarda daha az vuruşun olduğu görülmektedir. Eksantrik mili üzerindeki kamlardan, değişik elastikiyetleri nedeniyle hangisinin daha fazla tesir ettiği tesbit edilemez.



Şekil.10: 6 silindirli bir motorda supap yolları ile eksantrik milindeki dönme momenti

Şekil 11 de gösterildiği gibi, yük azaltma kamı yardımıyla 4 silindirli-eksantrik milinin dönme momentini aynı değere getirmek için birçok denemeler yapıldı. Sadece teorik dönme momenti değil, yapılan ölçmelerle tesbit edilen gerçek momentde tesbit edildiğinde, elde edilen netice beklenilen sonuca uymamaktaydı, çünkü yük azaltma kamındaki kütler, supapların kütlerine hiçbir zaman eşit yapılamamaktaydı ve uyuşma sadece belirli bir devir sayısında mümkün olmaktadır. Fa. Junkers, Jumo-213 uçak motorunun eksantrik mili uç kısmına bir volan diskini öngörülerek başarıya ulaşıyordu. Volanın kütlesi kafi derece büyülüktedir, seçildiği an eksantrik mili istenilen duruma girebiliyordu.

Bilhassa çok yüksek devirli motorlarda eksantrik mili tahrik düzeninin oldukça sağlam olmasına gereği hiç hatırlanıp çıkarılmamalıdır.



Şekil.11:
4 silindirli bir motorun yük azaltma kamı

nemedede, emniyet katsayıları dikkate alınarak tecrübe değerlerine istinaden supap kumandasını dizayn etmenin ve ondan sonra denemelere geçmenin doğru olacağı, gerçek supap açılmasının hesaplanan değerden ne derece saptığı, supap yayının kafi gelip gelmediği, gaz kumandasının gürültü azaltma yönünden yeterli olup olmadığıının tesbiti daima gözönünde bulundurulmalıdır.

Konstrktörün, konstrüksiyonda kullanacağı tecrübe değerleri sayfa 59 daki Tablo 3 de çeşitli kumanda tiplerine göre verilmiştir.

2.113 Supap boşluğu: Supap boşluğu motorun çalışma şartlarına bağlıdır. Soğuk motorun çalışması halinde önce, sıcak eksoz gazi akımı içinde bulunduğuundan eksoz supapı isinarak genleşir, motorun diğer kumanda elemanları ise onu

yavaş yavaş takip ederler. Mevcut konstrüksiyonun durumuna göre supap boşluğu az veya çok değişir. Her yeni konstrüksiyonda seçilen ön kam kursunun kontrolü ve soğuk ayarlanan boşluğun tayini için değişme miktarları tespit edilmeli. Boşluğun değişmesinin şekli tam olarak elektriksel, yolla ölçülebilir. (Basit olarak, kam yüzeyi bakırla kaplanıp, boşluk değişmesiyle meydana gelen aşınmalardan da bir netice alınabilir).

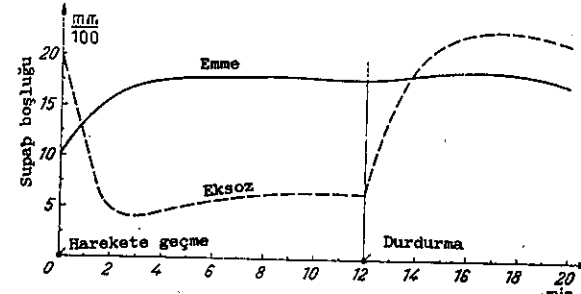
Şekil 12 de, eksantrik mili üstte olan bir motorda supap boşluğu değişmesi görülmekte dir. Eksoz boşluğu önce çabuk küçülür silindir kafasının ısınmasıyla tekrar artmaya başlar, bu na karşılık emme supapı boşluğu esit derecede artar, çünkü emme supapı o kadar fazla ısınmamıştır.

Her motorun durumu başkadır. En uygunuzdurumda olanı, hava soğutmalı olan itme çubuklu motorlardır (kısım 2.12), çünkü boy genleşmedeki fark burada oldukça fazladır, supap boşluğu üzerine ısının etkisini dengeléstirmek için, hava soğutmalı uçak motorlarında, silindir kafası üzerindeki devirme kolu dönme ekseni hareketli olarak öngörülmüş ve bir çubuk vasıtasıyla silindirle o şekilde bağlanmıştır ki, supap boşluğu çok dar sınırlar içerisinde değişir.

Supap açılması ile ilgili bu kısmın özeti:

1. Supap açılmasının başında ve sonunda darbeyi azaltmak için ana kam önüne bir ön kam kısmı konulabilir. Onun kursu, meydana gelen maksimum boşluk değerinden daha büyük olmalıdır. Açıısı ne kadar büyükse, tesiri o kadar fazladır, fakat supap açılması da pek düzgün olmaz. Eksoz supapında, durum değişik olup, bu durum yüksek termik zorlanmadan dolayı mahzur teşkil eder.

2. Gerçek supap açılması hesaplanan değerden esneme sebeplerinden dolayı farklıdır. Hareketli kütleler ne kadar büyük ve elastik iseler, açılma zamanları da o kadar kısa olur. Ayrıca eksantrik milinin eğilme ve burulması ile o-



Şekil.12: Üstten eksantrik mili bir motorda supap boşluğunun değişmesi

→ Deneb ekri

nun tahrik düzeninin esnemesi de etkili olurlar.

3. Hareketli elemanlar ne kadar az ve sağlam ise, alın yüzey ivme değerleri de o kadar büyük seçilebilirler.

4. Sadece supapların açılma ve kapanmalarında meydana gelen darbelerden değil, yan yüz ivmeleride, kumanda gürültülerini meydana getirirler.

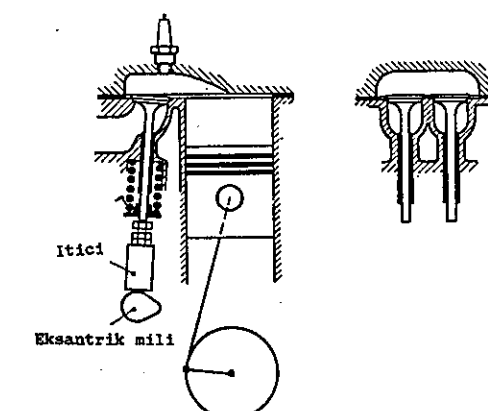
5. Kumanda sisteminin elastikyetine karşı supap yaylarında oldukça rezerve sahip olmalıdır. Hareketli kütleler eksantrik mili ve onun tahrik düzeni ne kadar sağlam olursa, gerekli yay rezervide o kadar az olur.

6. Gerçek supap itilmesinin hesabı tam mümkün değildir. Tecrübe değerlerine göre kumanda dizayn edilmeli ve deneme neticelerine görede gerektiğiinde düzeltmeler yapılmalıdır.

2.12 KUMANDA TIPLERİ

Vanma odası ve supap kumandası birbirine sıkıca bağlıdır. Bugün için çok az kullanılan en basit uygulama şekli yandan supaplı konstrüksiyondur. (side valves veya "stepped valve" denilir) Yani supap şaftı krant mili doğrultusu yönündedir (Şekil.13). Sık sık kullanılan "alttan kuman dalı" teriminden kaçınmak lazımdır. Çünkü bu ifadeden başka hallerde alttan eksantrik mili motor anlaşılabılır. ve buda hatalı olabilir.

Vandan kumandalı supaplar, yana doğru uzatılmış yanma odasında büyük bir satır gerektirirler. Bu yanma odası ile çok iyi güç erişmek, bilhassa RICARDO tarafından yürütülen çalışmalarda başarıya ulaşmak mümkün olmuştur.



Şekil.13: Yandan supaplı düzen

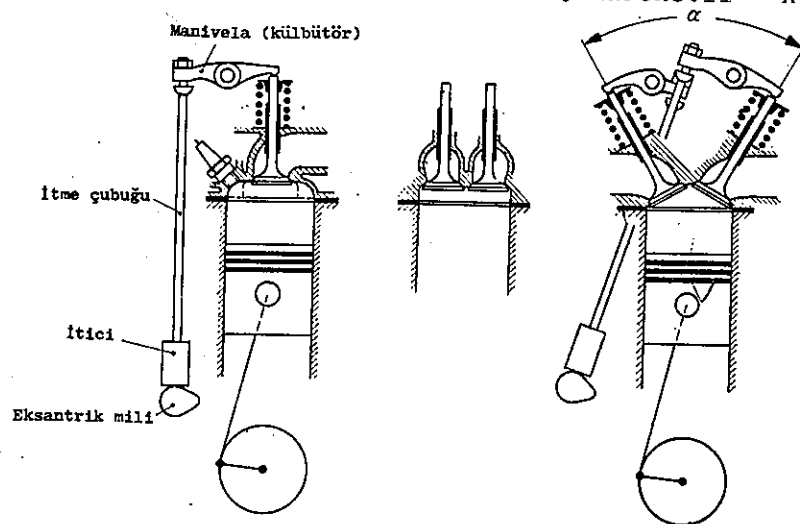
Bugün imal edilen kısa kurs boylu motorlarda, gelişmelerle gittikçe artan sıkıştırma oranı değeri, oldukça güclükler yapmaktadır. Öngörülen supap kesitleri şartlara göre sınırlanmıştır. Emme ve eksozda, gaz akış durumları yanma odası cidarları tarafından menfi yönde etkilenmiştir. Dar alanda birbiri yanın-

da öngörülen supaplar arasındaki bağlantının soğutması da zor olduğundan mahzur teşkil eder. Yeni imal edilen binek arabalarında yandan supaplı olanlarda supap boşluk ayarı, oldukça zordur (Kısim 2.26) da izah edilen otomatik supap boşluk ayarı ile bu mahzur giderilebilir.

Daha sık karşılanan bir uygulama şékil de, Şékil 14 de gösterilen üstten supaplı motorlardır (Overhead valves, hängendventilen). Yani burada supap şaftı krank milinden uzaklaşmıştır. Bunun basit bir uygulama şékil Şékil 14a da görülmektedir. Supaplar paraleldir. Ve dolayısıyle büyüklükleri sınırlanmıştır. Supap kanalları arasındaki soğutma, zordur. Yanma odası düzgün ve şekilde çizgi ile gösterilen yer boyunca ilerleme yapar.

Yanma odası, supap kesiti, emme ve eksoz gaz akışı ve soğutma yönünden Şékil 14b deki uygulama daha uygun düşer. Buna karşılık imalat ve montaj masrafları oldukça yüksektir. Supaplar birbirine göre açısı kadar meyillidirler. Sira silindir tipi motorlarda bu tanzim tarzı emme ve eksoz bağlantılarının çeşitli yönlere dağılışı nedeniyle, eksozun emme borusuna ön ısıtma yapacağından arzu edilmez.

Kam hareketlerinin supaplar üzerine aktarılışı Şékil 14de görülen her iki supap tanzim tarzında genellikle itici, itme çubuğu ve manivela üzerinden olur. Hareketli kütleler



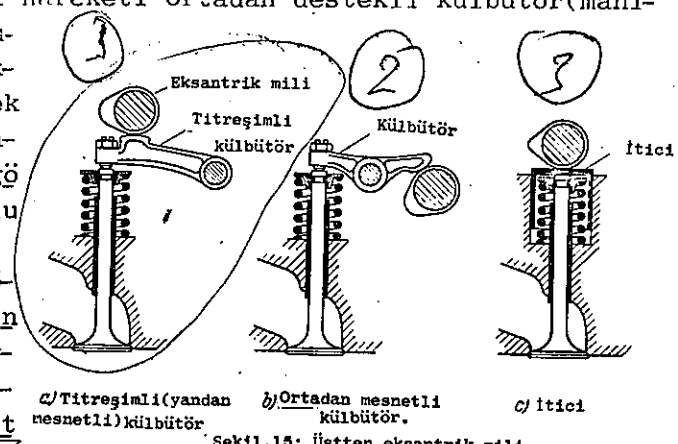
Şékil.14: Altta eksantrik mili üstte supaplar

²⁵ büyük ve esnektir; bunun için ivmelerde daha yüksek değerlere gidilmez. Supap boşluğunun kontrolü bilhassa hava soğutmalı motorlarda zordur. Kısim 2.26 da izah edilen hidrolik boşluk ayarı yardım edersede, emniyetli ivme değerlerinin azalmasına mani olunamaz.

Az ve sağlam hareketli kütleler yönünden en iyi kumanda şékil üstten eksantrik mili uygulama şéklidir. Kısim "ohc" (overhead camshaft) (Şékil 15). Titreşim kolu (yandan mesnetli) konstrüksiyon tarzı çok uygundur. (b.Şékil 15a). Kısim 2.31 açıklanan ekseriya hatalı konstrüksiyonu yapılan, dinamiğe dikkat ediniz. Supaplar kam mili eksenine göre dik ve belirli sınırlar içerisinde birbirine göre meyilli şekilde iseler, emme ve eksoz için bir eksantrik mili kafi gelir. Supaplar arasının iyi soğutulmasına karşılık bu şekilde çok iyi supap kesitleri öngörmekte mümkündür. (b.Şékil 24). Titreşim kolu sisteme boşluk ayarı genellikle iyi ve kolayca çözülür.

Eksantrik mili hareketi ortadan destekli külbütör (manivela) üzerinden supaplar üzerine aktarılabilir. (b.Şékil 15b). Bu uygulamada, Şékil 15a ya göre titreşim kolu (yandan destekli) konstrüksiyona göre, kol yataklarında daha büyük kuvvetler meydana gelir. Bu yüzden titreşim kolu sisteme dahilinde tercih edilmelidir.

Şékil 15c de görülen düzende kam hareketinin supap üzerine aktarılışı direk bir itici ile sağlanmaktadır. Hareketli kütleler titreşim kolu sisteme göre daha büyük ve imalat masrafları yüksektir. Boşluk ayarı ön görülmese de oldukça zordur. Kam direk olarak supap şaftına tesir ettiıldığı zaman, supap hareket yatağı üzerine yan kuvvetler, meydana geleceğinden supap şaftının daha çok aşınmasına sebep olur.



Şékil.15: Üstte eksantrik mili

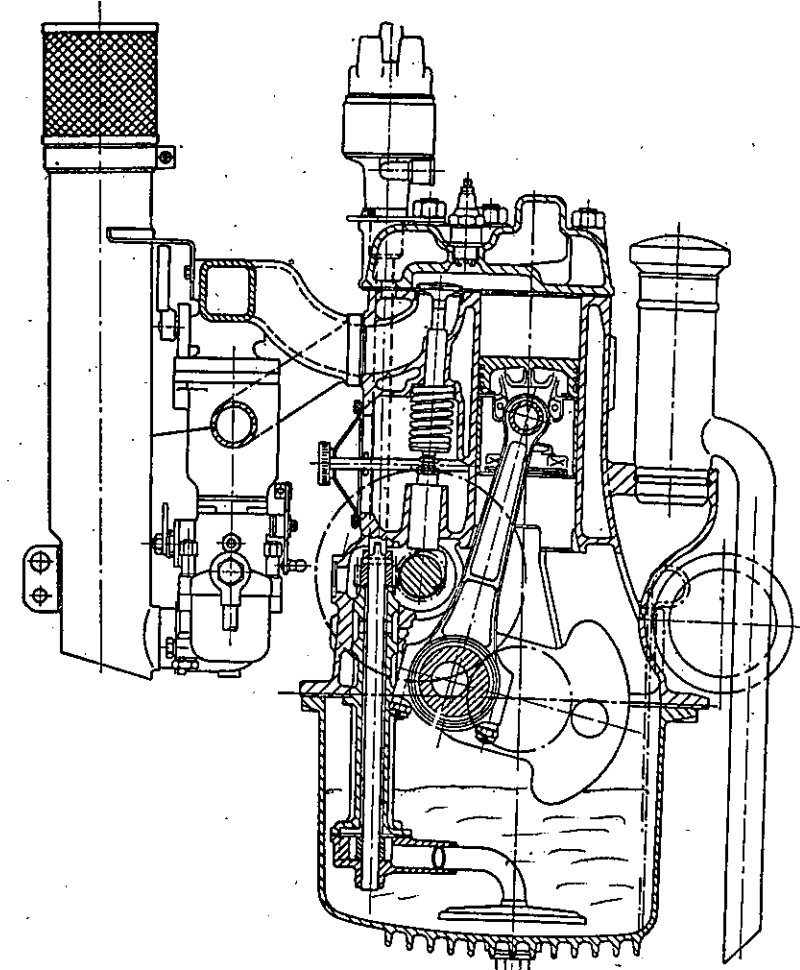
2.2 UYGULANAN KONSTRÜKSİYONLAR

Çok uygulanan kumanda konstrüksiyon tiplerinden özel karakteristik arzedenler gösterilmiş ve özel imalat tipleri detaylı olarak tanıtılarak fayda ve mahzurları açıklanmıştır. Bir motorun çalışma devir sayısı ne kadar düşükse, supap kumandasına hakim olmakta o kadar kolaydır. Çünkü ivme kuvvetleri açısal hızların karesiyle artarlar. Yavaş devir lilerin supap kursları ve büyük kütleleri bu tesiri değiştirmezler. Binek arabalarında supap kumandalarının gürültülerinin az olmasına büyük önem verildiğinden, konstrüktörün bu hususa eğilmesi bilhassa gereklidir.

2.21 Yan dan supaplı motorlar

Şekil 16, Daimler-Benz "170-V"-PKV (Binek arabası)-Motorun kesitini göstermektedir. Bu motorun daha geliştirilmiş tipi, "170 S" de, (Düsey emişli karbüratör, yeni eksantrik mili ve değişik yanma odası) birim piston yüzeyi gücü olarak yaklaşık $N_e/F_K=0,3$ [PS/cm²] değerine ulaşmaktadır. (Silindir ölçüler çok değişik olan motorların mukayesesinde, piston yüzey gücü mukayese değeri olarak kullanılabilir; da ha çok kullanılan litre başına güç silindir ölçülerine çok sıkıca bağlıdır). Alevle sertleştirilmiş olan çelik eksantrik mili, alın kısmı su vererek beyaz katılaştırılan ve do layısıyle çok sert olan(b.Şek.67) dökme demir itici üzerinden supapları tıkanır eder. Supap yuvalarının darbelerle bozulmasına meydan vermemek için, eksız supaplarda özel pikten supap yuva bileziği konulur. Şekil 16 da yanma odası cidarlarının emme ve eksız akış durumlarına mahzur teskil ettiği açıkça görülmektedir. Her iki supapta aynı kurşa sahipler, fakat çaplar değişiktir. Eksantrik milinin tıkanıklığı önceleri eğik dişlilerle olmakta ve bu dişlilerden büyük olanı plastikten imal edilmektedir. Daha sonra tıkanık düzeni çift ruleli zincirlere dönüştürüldü daha çok uygulanmaya başlandı. Hareketi, eksantrik milinden supapa ileten aktarma elemanları ve eksantrik milli tıkanık sistemi-

YUVA bilezik



Şekil.16: Daimler-Benz "170 V"-PKW-Motoru

mi yan dan supaplı motorlarda çok sağlamdır. Dolayısıyle yüksek yan yüz ivmelere müsaade edilebilir. (Sayfa 59 daki Tablo 3 e bakınız). Tabloda gösterilen supap kumanda sabiti, en büyük kurşa göre ayarlı yük altındaki supapta meydana gelen şekil değişmesi ölçümek suretiyle tesbit edilmiştir. Eksantrik milinin burulması burada dikkate alınmalıdır. Her ne kadar tesbit edilen bu esneme ile hesaplama - mzsada, gözünde tutulacak bir mukayese değeridir.

2.22 Bir yandan ve bir üstten supaplar

Toplu yuvarlak bir yanma odası ve emme supap kesiti elde etmek için, Rover- "60"-PKW-Motorunda emme supapı yandan ve eksoz supapı üstten öngörülmüştür.(b.Şek.17). Kam hareke tinin ortadan mesnetli külbüütör üzerinden aktarılışı açıkça, görülmektedir. Eksantrik milinin hareketi çift ruleli zincirle sağlanmaktadır.

Daha uygun yanma odası ve büyük bir emme supapında Rover "60" da erişilmekte ise de, bu oldukça masraf gerektirmektedir. Motor ağırlığı fazla ve imalat pahalı olmaktadır. Altan ve üstten supap boşluk ayarı da oldukça güçtür. Emme ve eksoz bağlantıları motorun farklı taraflarında bulunduğuundan, emme borusunun eksoz gazı ile ısınması da pek mümkün değildir.

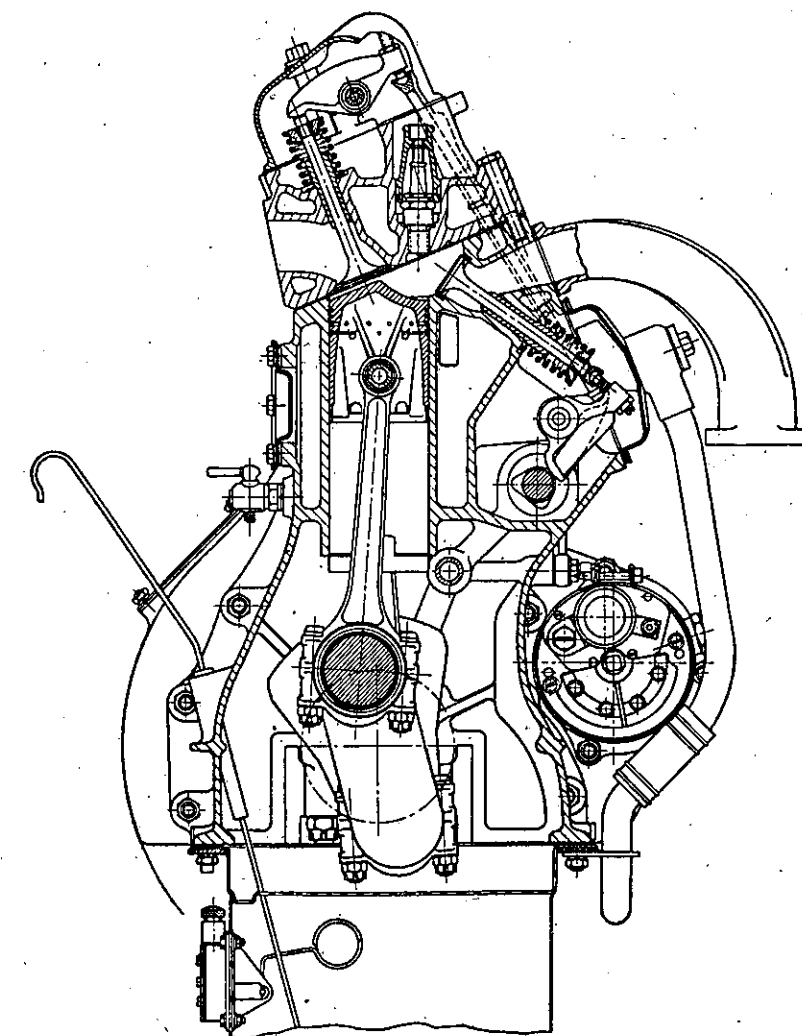
2.23 Altan eksantrik milli, üstten pareləl supaplar

Altan eksantrik milli pareləl üstten supaplı imalat tipi daha sıkça görülür. Şekil 18 de misal olarak BMW- "50"-PKV-Motoru görülmektedir. İtici, itme çubukları ve külbüütör üzerinden supaplar təhrif edilmektedir. Supaplar motordan boyuna eksenin birbirini ardında bulunduklarından, daha büyük kesitli supaplar öngörülemediği gibi, emis ve eksoz akış şartları da çok uygun değildir. Aktarma elementleri, nisbeten fazla ağırlık ve büyük esnemeye sahiptirler. Emniyetli ivme değerleri de bu yüzden nisbeten küçüktür.

Bu imalat tipinin faydalı yönü imalat masrafları az ve motor ağırlığı bakımından uygundur. Emme ve eksoz, motorun aynı tarafına açıldığı için, emme kanalının eksoz gazı teşiri ile ön ısınması daha kolaydır.

Şekil 19 da gösterilen Deutz-8-Silindirli- "F8L614"-Diesel-LKW-Motoru prensip olarak aynı konstrüksiyona sahiptir V-Tipi bu motorda her iki silindir sırası için bir eksantrik mili bulunmaktadır. Hava soğutmalı motorlarda bir taraftan itme çubuklarının ve diğer taraftan silindir ve silindir kafalarının farklı genleşmeleri nedeniyle supap boşluğunun değişmesi, kumanda sisteminde fazla gürültünün meydana gelmesine sebep olurlar.

İmalatı gittikçe artan V-Motorlarında daha iyi şartlar elde etmek için, Buick- "V8-PKW-Motorunda silindir eksenine paralel olan supaplar eğik olarak öngörülmüştür.(b.Şek.



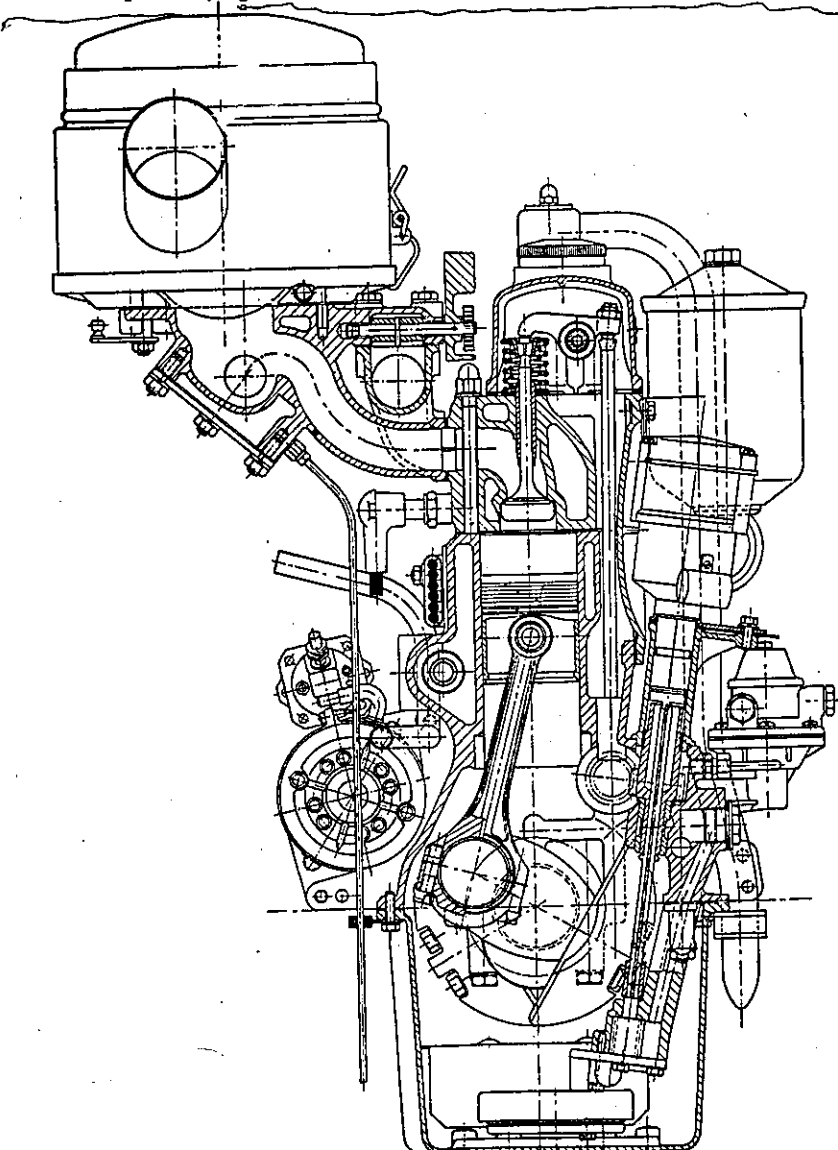
Şekil.17: Rover- "60"-PKW-Motoru

20). Yanma odası kesiti üçgen şeklinde olduğundan, yanyana bulunan supaplar büyülükleri yönünden sınırlanmıştır. Ateşleme bujilerine ulaşmak oldukça kolaydır. Bu V motorunda ortada tek eksantrik mili bulunmaktadır. ve itici

³⁰
boşluk ayarı otomatiktir. (b.Kısım 2126).

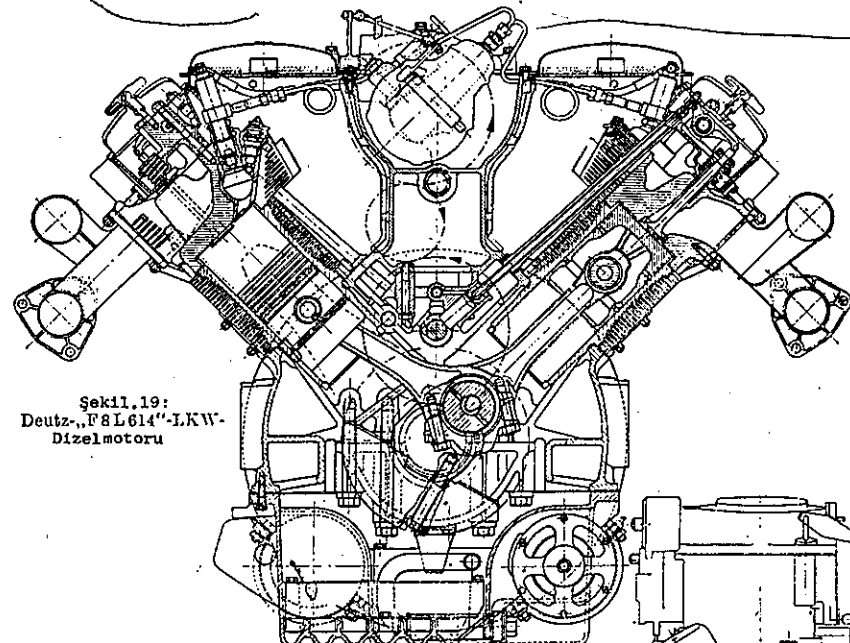
2:24 Altan eksantrik milli birbirine göre eğik üstten supaplar

Küre kesiti sekilli yanma odası genellikle en uygun imalat tipidir, çünkü yüzeylerin hacme olan oranı küçüktür.

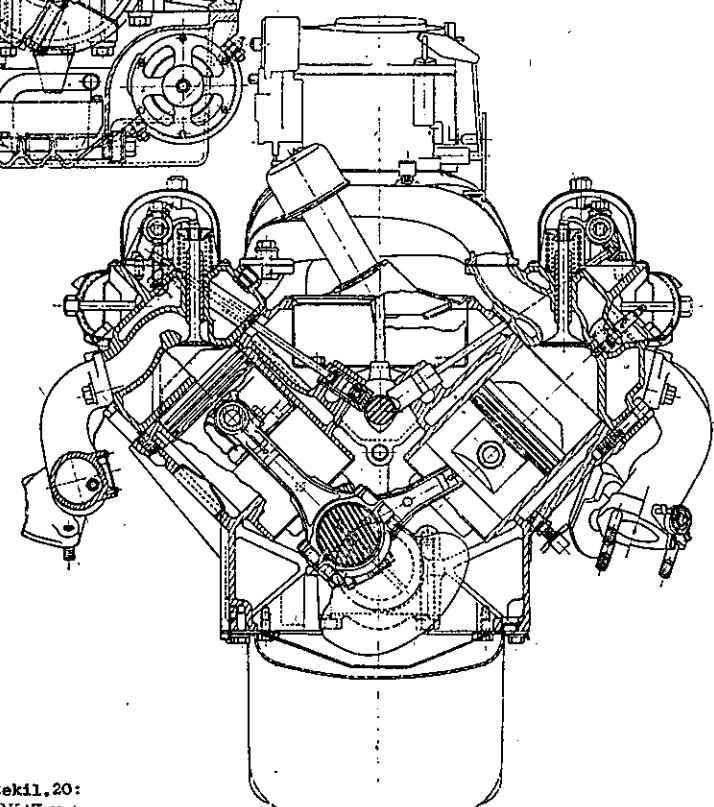


Şekil.18: BMW "501"-PKN-Motoru

³¹
Birbirine göre meyilli supaplar, yanma odası cıdarların a- kışa menfi bir etkisi olmaksızın çok iyi emme ve eksoz te- min ederler. Ayrıca parel supap tanzim tarzına göre de daha büyük supaplar öngörülebilir.

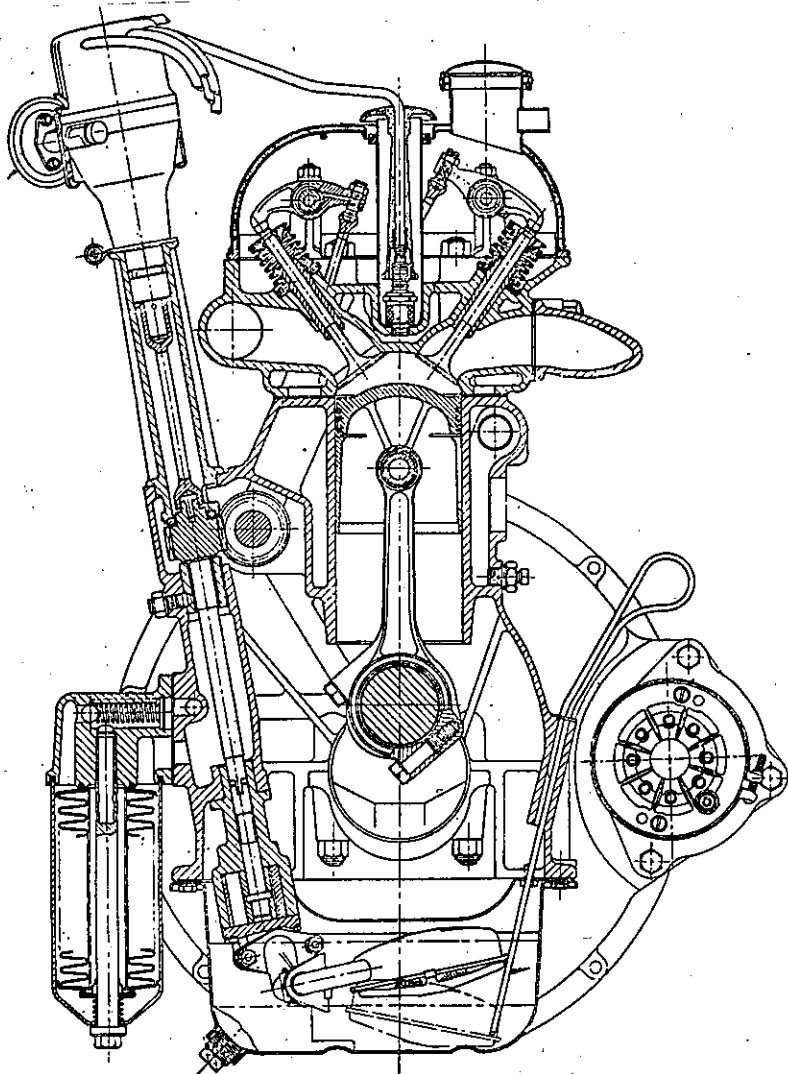


Sekil.19:
Deutz-„F8L614“-LKW-
Dizelmotoru



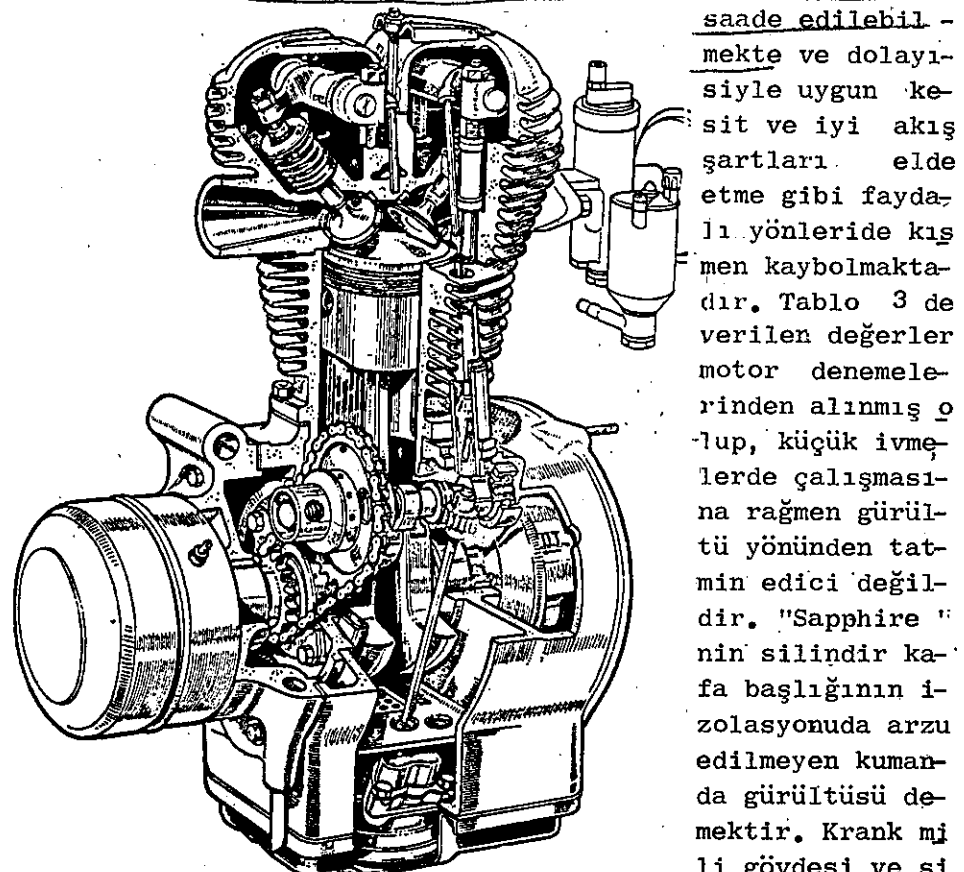
Şekil.20:
Buick-„V8“-PKW-Motoru

Şekil 21 de Armstrong-Siddeley- "Sapphire"- PKW-Motoru görülmektedir. Çift ruleli zincirle tahrik edilen eksantrik mili altında bulunmakta ve eğik duran itici, itme çubuğu ve külbütör üzerinden supapı hareket ettirmektedir. Bu uygunlama ilk defa Daimler-Benz tarafından yapıldı ve bugün çok sık görülmektedir. Mahzurlu tarafı soğutulması fena, izo-



Şekil.21: Armstrong-Siddeley- "Sapphire"- PKW-Motoru

lasyonu zor ve bujilere ulaşılmasının güç oluşudur. Eksantrik kamından supap kadar ki aktarma elemanları nisbeten ağır ve elastik olduğundan ancak küçük ivme değerlerine mü-



Şekil.22: BMW-250-cm³-Motosiklet motoru

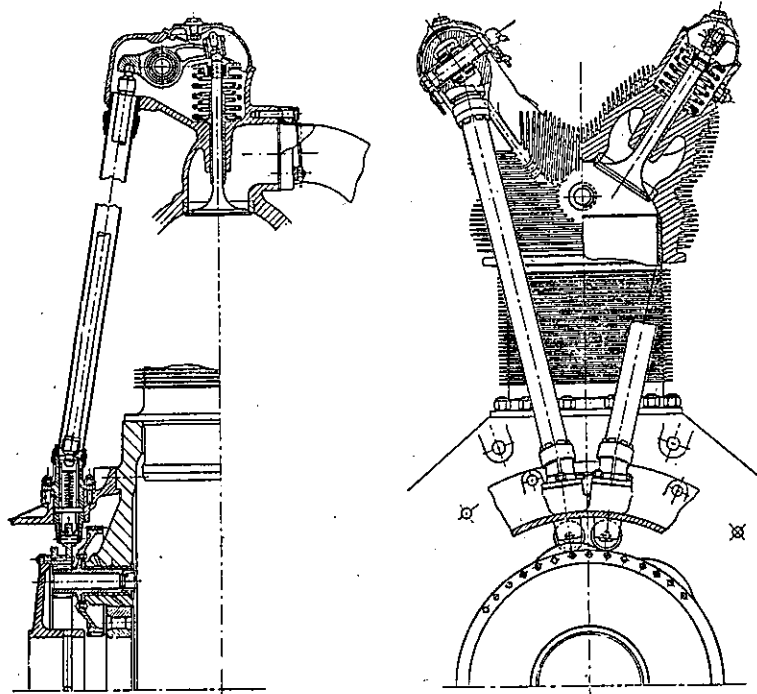
nişçe imal edildiğinden nisbeten ağır ve imalatı da pahalıdır.

Şekil 22 de BMW'nin "250 cm³" lük motosiklet motoru gösterilmiştir. Eksantrik mili krank miline göre parellel tarzda öngörülmüş olup, basit bir ruleli zincir vasıtasiyle tahrik edilmektedir.

Yine hareketin kam tarafından supap üzerine aktarılışı, itici, itme çubuğu ve külbütör vasıtasiyle sağlanmaktadır. Burada kullanılan motor tek silindirli olduğundan, motorun sol tarafında bulunan bujiye ulaşılması çok kolaydır. Silindir kafası hafif metaldendir, dolayısıyle her iki supap

yuva bileziğine sahiptir. Sayısız dört zamanlı motosiklet motorunun kumanda konstrüksiyonu benzeri şekildededir. Daha ziyade eksantrik mili enine öngörülmüştür ve kısa bir titresimli külbüütör üzerinden itme çubuğu hareket ettirir.

BMW-9-silindirli-yıldız şeklinde uçak motorunun supap kumandası Şekil 23 de görülmektedir. Kam tamburu 4 kam çiftine sahiptir. İticiler sahip oldukları ruleler ile kam'a temas ederler. Hafif metalden, çok soğutma kanatlı silindir kafası, supap yuva bilezikli olup, bu bilezikler, silindir kafa üzerine büzülme gerilimi altında bağlanmıştır.



Şekil.23: BMW-9-Silindirli-Uçak motoru

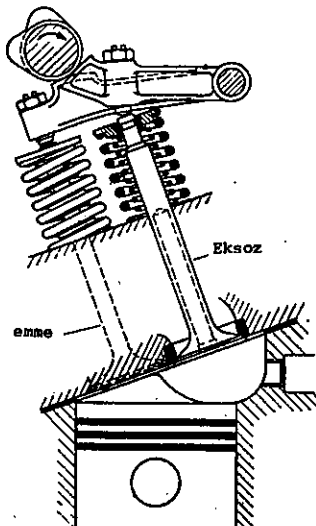
2.25 Üstten eksantrik milli motorlar

En az hareketli kütle ve çok sağlam aktarma elemanları üstten eksantrik milli uygulamada görülür. Eğer bu uygulamanın tahrik düzeni için emniyetli, fakat fazla pahalı olmayan çözümler bilinmiş olsa idi, muhakkak genellikle bu sistem tatbik edilirdi. Son zamanlarda üstten eksantrik milli uygulama, gittikçe artan motor devir adetleri nedeniyle da-

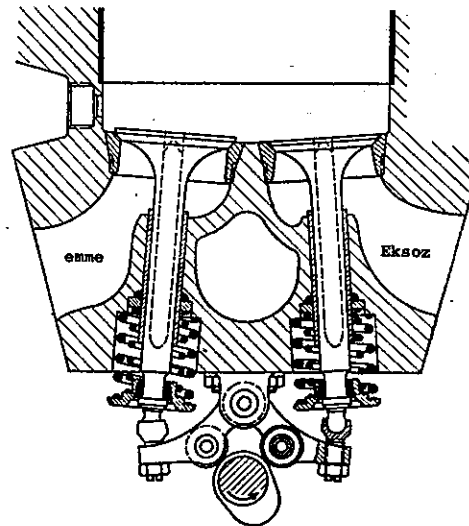
ha yaygınlaşmaktadır.

Tek eksantrik milli bir uygulama ve kam hareketinin süpap üzerine titresimli külbüütör üzerinden aktarılışı Şekil 24 de görülmektedir. Bu, Daimler-Benz "300"-PKW - Motorunun supap kumandasıdır. Silindire doğru açılan yüzey eğiktir. Yanma odası yandan silindir kurs hacmi üzerinden dışarı taşmaktadır. Supaplar parel olup, motor boyu eksenine, göre kaydırılmıştır. Böylece supaplar arası bağlantı duvarı iyi soğutabileceği gibi büyük kesitli supaplarda öngörülebilir. (b.Tablo 3). Gaz akış durumları da iyi olup, yanma odası uygun bir şekle sahiptir. Emme ve eksoz supapları eksantrik miline göre farklı bulunduklarından, iki çeşit titresimli külbüütör gereklidir. Külbüütörlerin kam'a temas eden yüzelerin orta noktaları yaklaşık olarak kamın ortasından geçen bir doğrultu üzerinde hareket ederler. Eksantrik mili özel gri piktendifdir; kam kısımları soğuk döküm kalibi yardımıyla beyaz pike katılaştırıldıgından çok serttir. Külbüütör çelikten olup, yatak yerleri yüzey sertleştirilmiş ve sert krom kaplanmıştır.(b.Sek 67). Hareketli kütleler küçük ve sağlam olduklarından, oldukça yüksek yan yüz ivme değerlerine müsaade edilebilir(b.Tablo 3). Bu konstrüksyon hacimce küçük olduğu gibi imalat masrafları da düşüktür.

Tek eksantrik milli ve titresimli külbüütörlü diğer bir uygulama tipi Şekil 25 de gösterilmiştir. Bu imalat tipi Daimler-Benz-uçak motorlarında öngörülmüştü. Aynı kamla, emme ve eksoz kumanda edilmekteydi. Külbüütör eğrisinin eksantrik miline göre yeri, emmenin eksoza göre meyil açısına bağlı olarak tesbit edilmiştir, supap itilmesi simetrik değildir çünkü külbüütör temas eğrisinin merkezinin hareketi, eksantrik kamının merkezinden geçmemektedir. Fakat sapma miktarı da o kadar fazla değildir. Emme ve eksoz için tek kısmın kullanılması, kumanda diyagramında sınırlama demektir, dolayısıyle kumanda zamanlarının seçiminde serbestlik yoktur. Her silindir 4 supapa sahiptir, hepsinin içi boş ve sodom doldurulmuştur(b.Kısim 2.331). Emme supaplarının soğutulmalarının gereği, mukavemet nedenlerinden değildir. Aksine temperaturun düşmesini sağlayarak taze gazın işi almasını azaltmak içindir.



Şekil.24: Daimler-Benz "300"-PKW-Motorunun supap kumandası

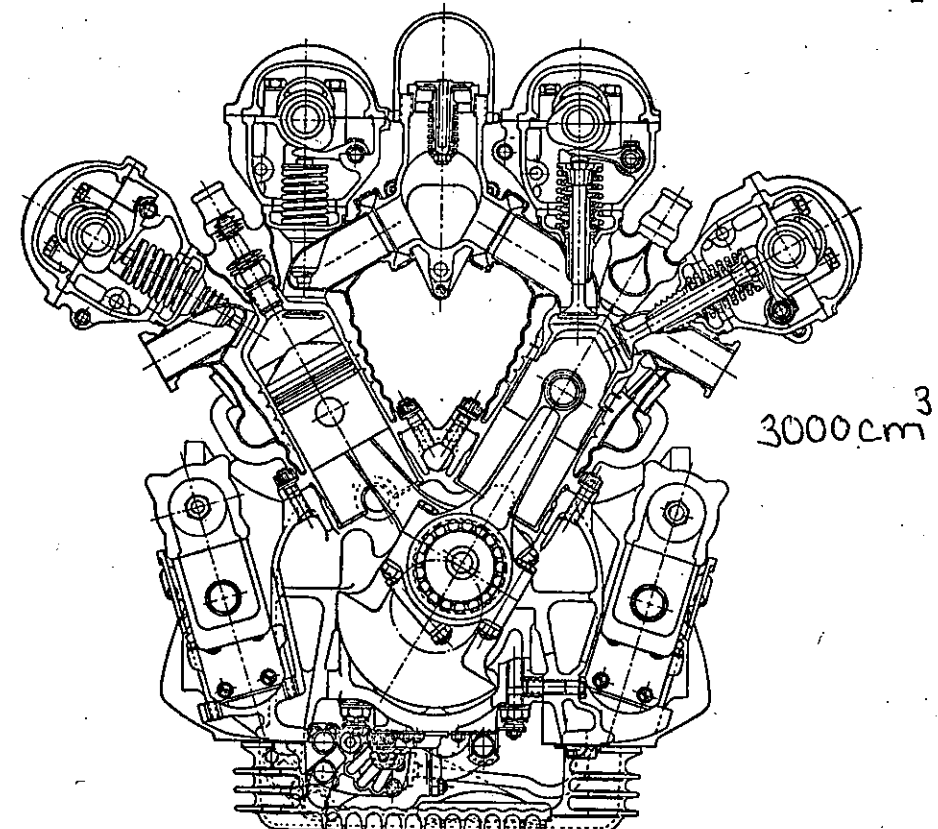


Şekil.25: Daimler-Benz "603"-Uçak motorunun supap kumandası

Hafif metalden silindir kafası içeresine supap yuvaları, büzülme gerilimi altında tesbit edilmiştir. Eksız supapının düzgün açılması için supap yuvası biraz içe kaydırılmıştır. Böylece supap ısı değerleri de oldukça düşürülmüş olur.

Her bir emme ve eksız için ayrı eksantrik mili uygulamasına örnek olarak Şekil 26 verilmiştir. Şekilde gösterilen kesit Daimler-Benz 3 litre-12-silindirli yarış araba motorunun kesitidir. Kam ve supap arasında kısa bir külbütor vardır. Onun taban kısmına yüksek zorlanmalara hakim olmak için Widia (elmas gibi)-plakaları konulmuştur. (Şekil üzerinde görülmemektedir). Boşluk ayar cıvatası öngörülmemiştir. Supap ucundaki kapak altına ihtiyaca göre daha kalın plaka konulabilir. Yarış araba motorlarında böyle bir boşluk ayarı düzeni uygulanabilir. Her silindirde 4 supap vardır. Silindir çelikten olup saç bir gömlek ile örtülmüştür. Sadece eksantrik mili hafif metaldendir. Bu konstrüksiyonda hareketli kütleler oldukça azdır ve çok sağlamdır: meydana gelen hızlanma değeri de oldukça yüksektir. (b. Tablo 3). 4 Eksantrik milinin çevrimi için ince düz dişiler kullanılmaktaydı. Yarış motorlarının imalatı oldukça masraflıdır. Fakat burada amaç, motorun yüksek güce sahip olmasıdır.

Tek eksantrik milli, birbirine göre meyilli supaplı ve ortadan mesnetli külbütre sahip Singer "SM 1500" motorunun kesiti Şekil 27 de verilmiştir. Burada da külbütor ovalının mer



Şekil.26: Daimler-Benz 3-Ltr.Yarış motoru

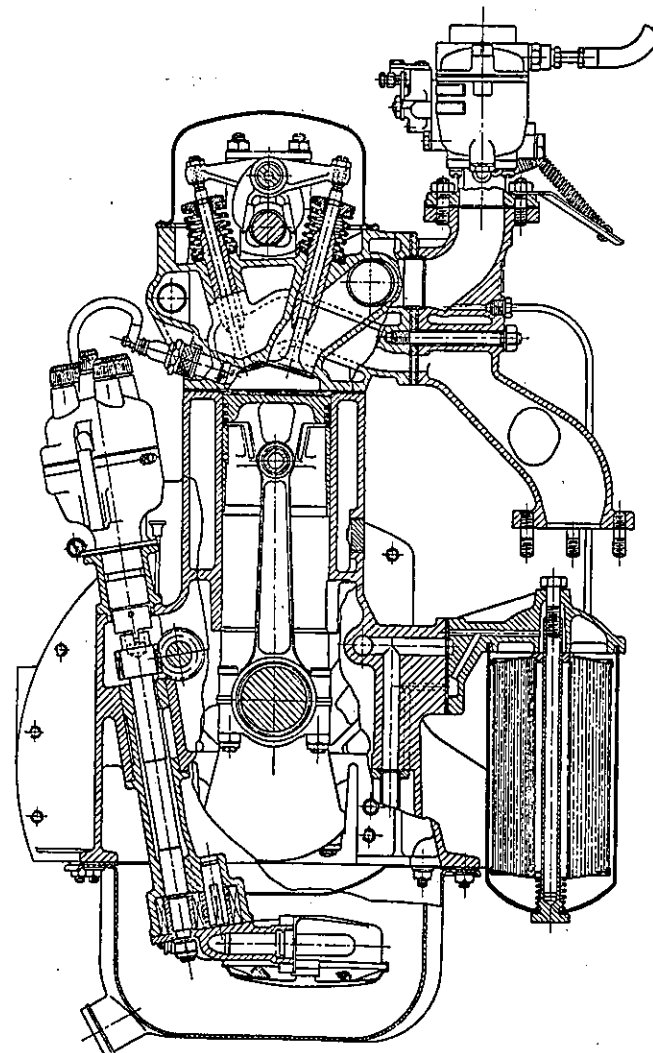
kezinin hareketi, eksantrik mili merkezinden geçen doğrultu işerinde değildir. Oval temas çapının büyümesi halinde kamın çıkış ve iniş yüzeylerindeki hız ivme kuvvetlerinde büyük farklılıklar meydana gelir. Ortadan mesnetli külbütor konstrüksiyonunun titresimli külbütre nazaran mahzuru külbütor dönme ekseni üzerinde çok yüksek kuvvetlerin meydana gelmesidir.

Jaguar "XK120"-PKW-Motoru iki eksantrik miline sahiptir. (b Şek.28). Silindir kafası içindeki kısa itici üzerinden kam həraketi aktarılır. Supap boşluk ayarı itici ve supap arasına konan bir plaka ile sağlanır. Hareketli kütleler titresimli külbütor sistemine nazaran biraz büyütür. Buna karşılık mukavemeti çok yüksektir. Silindir kafası hafif metaldendir.

Supap yuva bilezikleri öngörülmüştür. Yanma odası küre kesiti şeklindedir. Bujileri değiştirmek kolaydır. Bu motorun eksantrik mili tahrik sistemi 2 çift rule zincirli olup, bu düzen Şekil 76 da gösterilmiştir. Jaguar motorunun imalat masrafları oldukça fazladır, fakat erişilen güç değeri de beklenildiği gibi yüksektir.

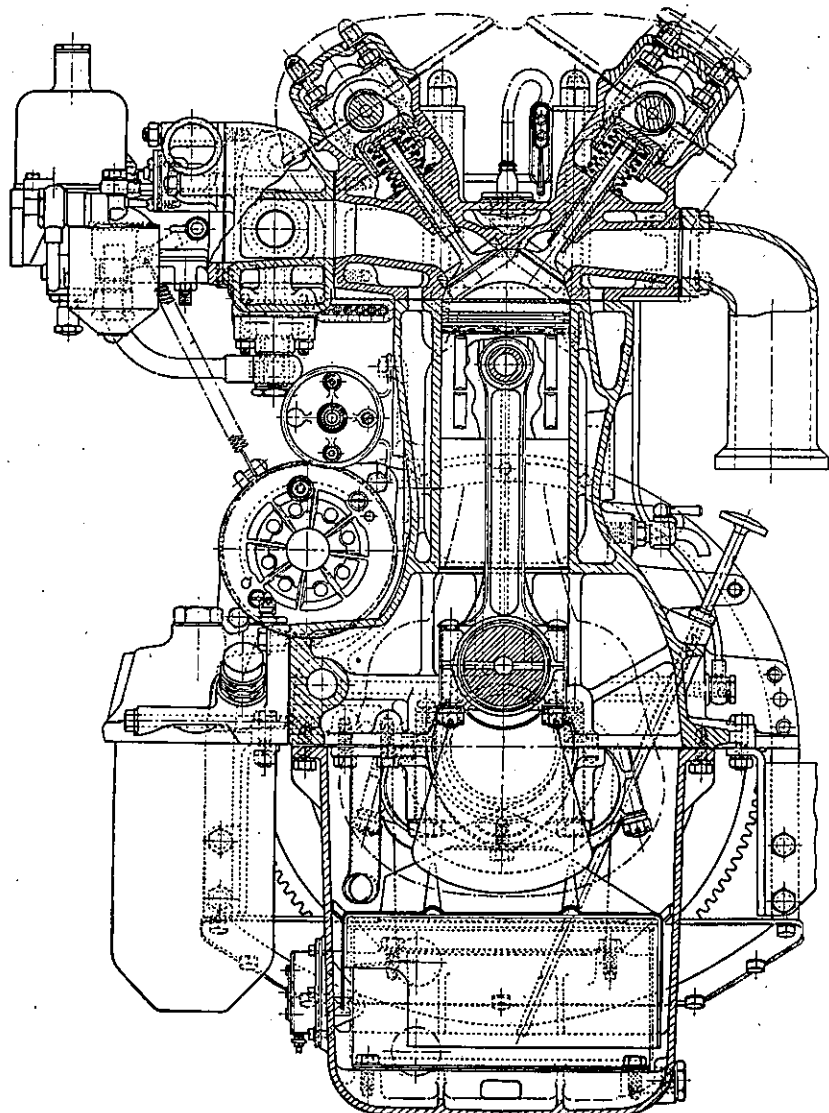
2.26 Otomatik boşluk ayarı

Supap kumandasının gürültüsünü azaltmak ve supap boşluğu bakımını ortadan kaldırmak için, bilhassa USA da imal edilen vasıta motorlarında otomatik boşluk ayar düzeni uygulanmaktadır. Bu düzen genellikle itici içerisinde öngö-



Şekil.27: Singer- "SMI500"- PKW-Motoru

rülmüştür. Bazende külbütor üzerinde uygulanmaktadır. Şek. 29 daki soldaki kesit bizzat motor yağının kullanıldığı normal uygulamayı ve sağdaki de kendisinin özel yağı bulunan uygulamayı göstermektedir. Bir yay vasıtasıyla piston ilerlerken, yağ piston altına emilir. Sistemin, basıncı altında yağın kaçması, bir bilya veya plaka, tarafından önlenmiş olur.

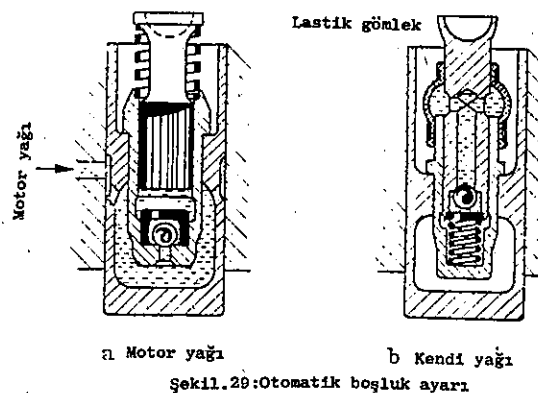


Şekil.28: Jaguar- "XK120"- PKW-Motoru

Sistemde min pistonu hassas tır. Çünkü meydana gelen yüksek basınç altında ölümsenecek mikarda yağ sızmaması gereklidir, diğer taraftan pistonun kölayca hareket edebilmesi şarttır. Çok itinalı bir sistemde bile, supap itilmesi sonunda yağ sızması meydana gelebilir. Bunu çok az oranda tutmak için ivme kuvvetleri yüksek değerde olmamalıdır. Yani

40 supap itilmesi, yumuşak olmalıdır. Bunun neticesi olarak bilhassa büyük motorlarda güç kayipları beklenebilir.

Otomatik boşluk ayar sisteminin elemanları ile, hareketli kütle sayısının ve elastikiyetin artması demektir. Çok dar toleranslarda yağ içinde bulunacak pislik, boşluk ayarının fonksiyonu için problem olduğundan, bu yüzden kendin



Şekil.29: Otomatik boşluk ayarı

den yağlı düzen tercih edilecektir.(b. Şekil 29b). Piston yanlarında kaybedilen yağ tekrar emilir, çünkü lastikten yağ gömleği yakın dışarı akmasına imkan vermez. Bu konstrüksiyonun diğer bir faydası, istenilen özelliklere

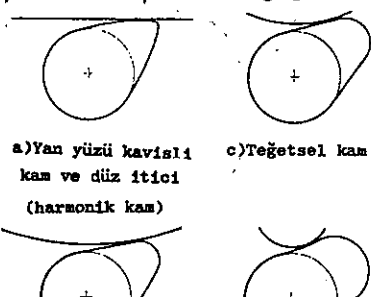
tamamen uyabilecek özel yağın da kullanılabilmesidir. Bu sistemin seri imalatta henüz kullanılmamasının nedeni, bazı güçlüklerin tamamen giderilmemiş olmasındandır.

2.3 KUMANDA ELEMANLARININ HESABI

2.31 Kamlar

Muhtelif kam şekilleri vardır. Bunlar genel olarak:

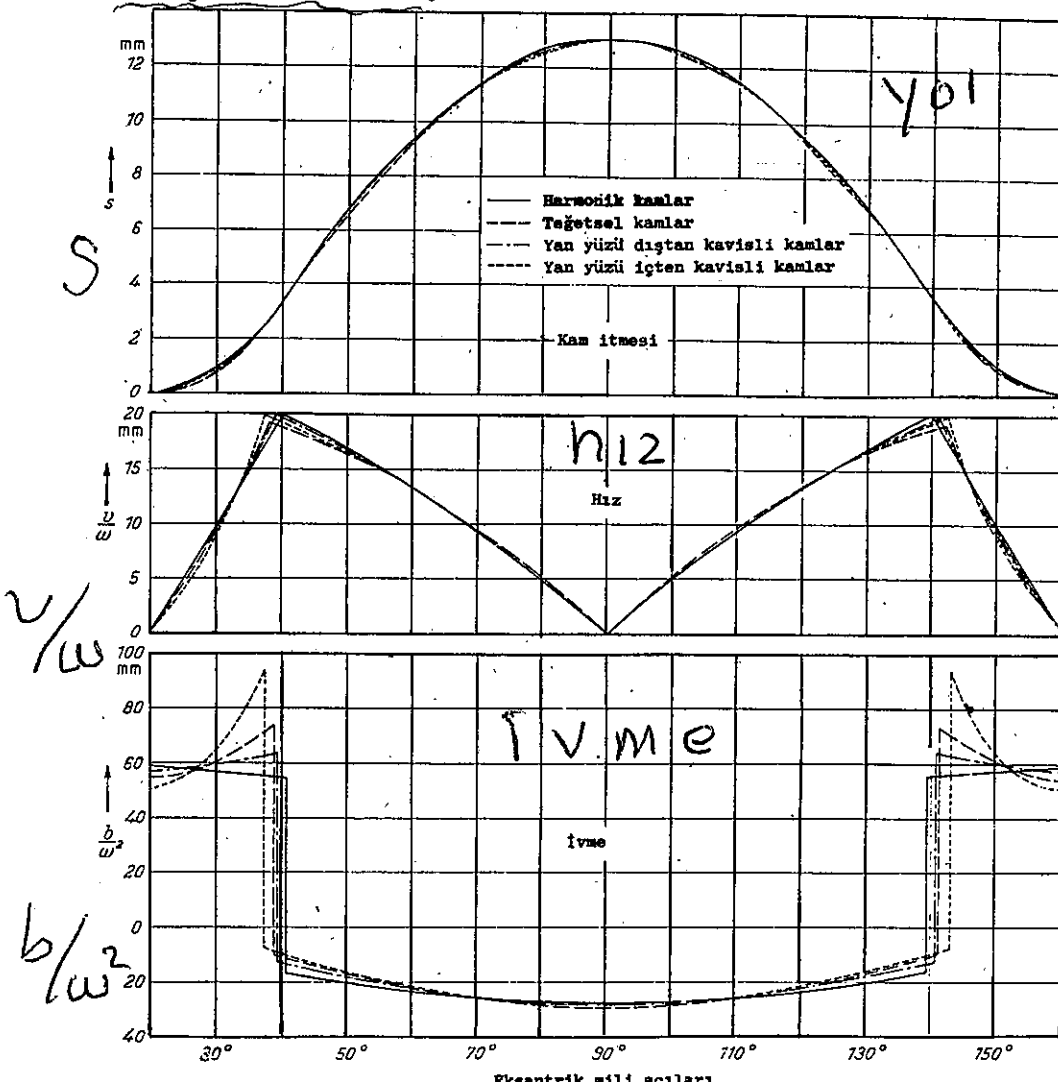
Daire yay parçalı kamlar(alın yüzü dış kavisli)"dışbükey kamlar, teğetsel kamlar, alın yüzü iç kavisli" içbükey "kamlar) ve yay yarıçapları devamlı olarak değişen kamlardır.



Şekil.30: Eğit itmeli kam şekilleri

Sınır değerleri hariç dikate alınmayacak derecede küçük sapmalarla kam itme değeri, yukarıda zikredilen her kam tipi ile sağlanabilir. Burada değişen tek tabi iticinin yarıçapıdır. Şekil 30 da gösterilen kam çeşitleri pratik olarak aynı itme diyagramını verirler.(b.Şek.31). Hız diyagramında da sapmalar küçük olup, ancak ivme(hızlanma)

egrilerinin gidisinde kam şekline bağlı olan bir değişiklik göze çarpar. Arıçak teğetsel-veya yan yüzü iç kavisli olan kamlarla yüksek ivme değerlerine erişebilir görüşü gerçekte hatalıdır.



Şekil.31: Şekil.30 a göre kamların itmesi(kaldırması), hızı ve ivmesi

Hangi kam şekli konstrüksiyonda tercih edilmelidir? Bu konu literatür listesinde (9). sırada verilen "kam şeklinin seçilişi" adlı eserde geniş olarak verilmiştir. Buna göre itici yüzeyinin yarıçapı mümkün olduğu kadar büyük se

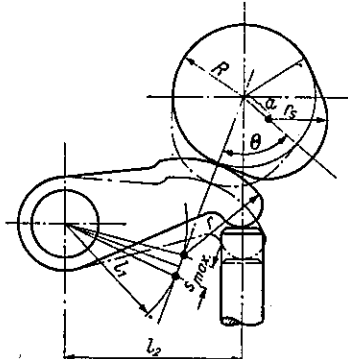
$$S = \gamma e^{\frac{1}{2}}$$

$$\sqrt{\omega} = v_{12}$$

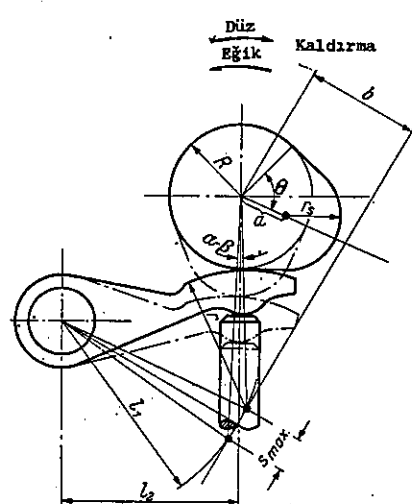
$$\frac{b}{w^2} = ivme$$

çilmelidir, çünkü böylece eksantrik milinin dönme momenti değeri küçülür ve itici yüzeyinin büyük yarıçaplı olması halinde temas bölgesindeki birim yüzeye isabet eden pres kuvveti küçülmüş olur. En uygun yüzeyi düz olan iticidir. Yani $r = \infty$ dur. İmalat zorlukları dikkate alınarak yan yüzü çukur ve teğetsel kamlardan sakınılmalıdır. Yan yüz şekli dış kavisli olanlar tercih edilmelidir. Kavis yarıçapı çok büyük olabilir.

İticinin yerine sadece titreşimli veya ortadan mesnetli külbüörün kullanılması halinde, -düz temas yüzeyli külbüör hariç-yaklaşık bir doğrulukla düz yüzeyli iticiler için uygulanan formüllerle hesaplar yapılabilir. Simetrik bir itme diyagramı simetrik kamlarla ve ancak külbüör kavisinin orta noktası, eksantrik mili merkezinden geçen bir doğru üzerinde hareket ederse elde edilir. (b.Şek.32). Şekil 33 de olduğu gibi bu şart mevcut değilse, (mesela çok uygulanan, külbüör kavisinin kam ana dairesi üzerindeki temas noktalarının hareketi kam ortasından geçen bir doğru üzerinde bulunması gibi)-simetrik olmayan bir diyagram meydana gelir. (b.Şek.34). Ya kumanda sisteminden iyi şekilde istifade edilmemiştir, (şekildeki taralı alan kaybedilmişdir) veya zorlanmalar kamın bir yüzü tarafından taşınamaya cağırdan, kırılmalar veya arzu edilmeyen gürültüler mey-



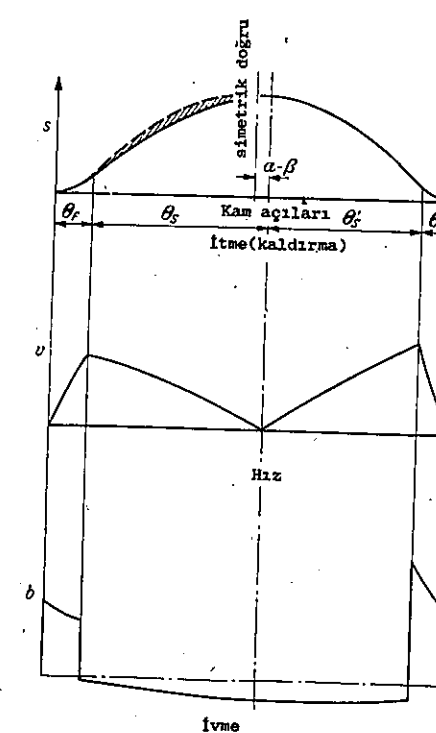
Şekil.32: Titreşim külbüörlü kam, simetrik kumanda diagramı



Şekil.33: Titreşim külbüörlü kam, simetrik olmayan kumanda diagramı

dana gelebilir. Mevcut konstrüksiyonun durumuna göre çok büyük ve mukavemet yönünden yeterli olmayan farklılıklar doğabilir.

Şekil 33 deki uygulamada olduğu gibi simetrik olmayan supap itme hali söylece hemen farkedilir ve en büyük kurs boyu ($\alpha-\beta$) değeri kadar (b.Şek.34 ve kısım 2.311 deki formüller) kaydırılarak erişilir.



Şekil.34: Şekil.33 e göre titreşim külbüörlü bir kamda itme, hız ve ivmeler!

- Kam tamburu kranc miliyle aynı yönde dönerse:

$$z_N = \frac{i-1}{2}, \quad n_M = \frac{n_K}{i-1}$$

$z_N = \frac{i+1}{2}, \quad n_N = \frac{n_K}{i+1}, \quad \text{dir.}$

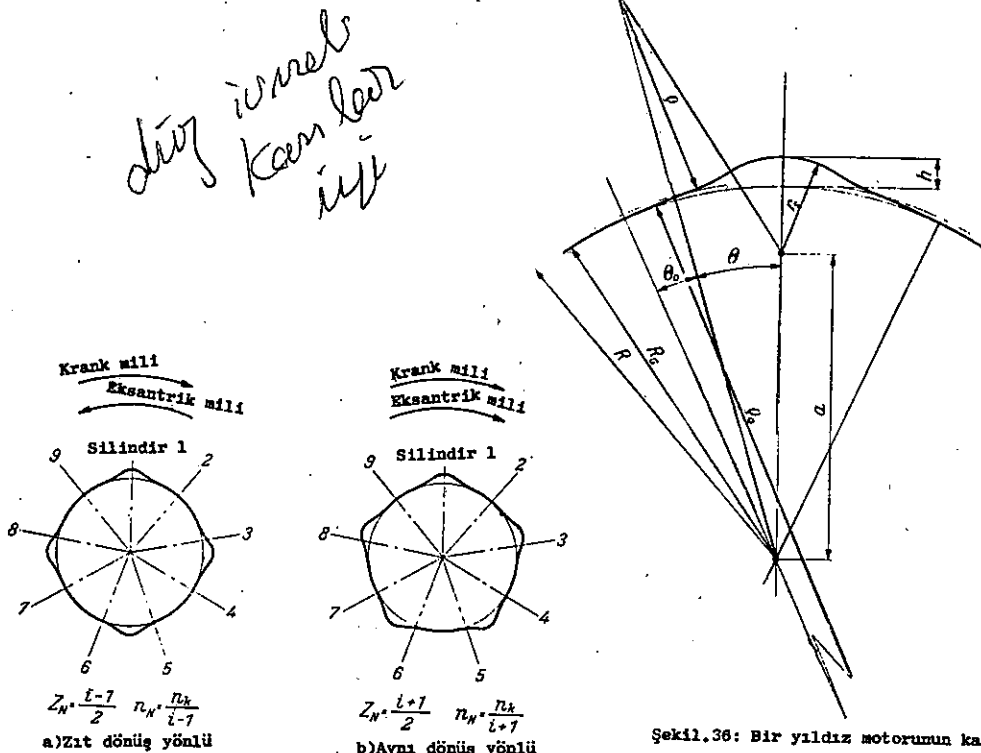
Formülde : i = Silindir adedi: n_N = Kam tamburu devir sayısı

$$n_K = \text{Krank mili devir sayısı.}$$

Burada kam için verilen formüller, diğer başka kamlarda uygulanan formüller gibidir. (b.Şek.36). Dikkat edilecek

44 bir husus, küçük devir adetlerinden dolayı açılma açı değerinin de küçük oluşudur. Burada içten kavisli kam'dan pek kaçınılmaz.

2.331 Daire yaylı kamlar: Bugün en çok kullanılan kam şekli daire yaylı kamlardır. Düz ivmeli kamların birçok faydalı yönleri varsa da, hesabının çok zor olmasından dolayı birinci plana geçemedi. Çok kolay bir hesaplama metodu

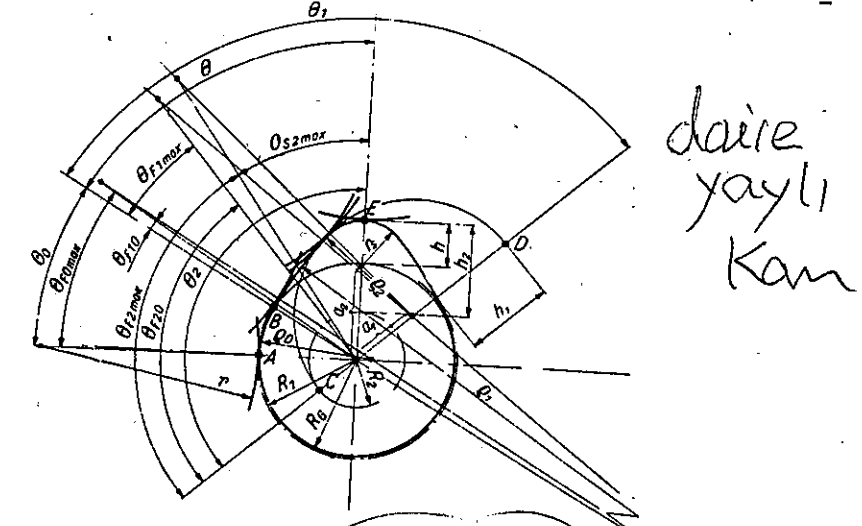


Şekil.35: 9-Silindirli bir yıldız motorunda kam şekli

2.312 kısmında gösterilmiştir. Buna rağmen gelecekte düz ivmeli kamlar, daire yaylı kamların yerini tamamen alabilir.

Her daire yaylı kam, birçok değişik yarıçaplı daire yaından teşekkür etmiş olabilir.(b.Şek.37). Her bir daire yayı parçası hem bir önceki kam kisminin uç kismı, hemde

⁴⁵ düşündür ana taban daireli kamın yan yüzü olarak görülebilir. Burada dikkat edilecek bir husus, daima başlangıç ve son açıların doğru alınmış olmalarıdır.Bunun kontrolü kolayca şöyle yapılır. Bir kam daire yayının sonu ile onu ta-



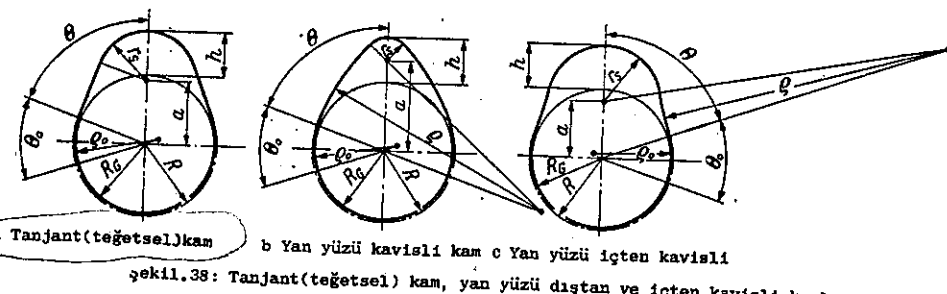
Şekil.37: Birleşik(katlı)Daire yaylı kamlar

kib eden diğer kam yayının itmesinin aynı değerde olması lazımdır. (b.Örnek 1, sayfa).

1. Teğetsel kam (b.Şek.38 a).

$$r_s = R - h_1 \frac{\cos \theta}{1 - \cos \theta} \quad (3)$$

$$\beta_0 = \frac{R \cos \theta_0 - R}{\cos \theta_0 - 1} \quad (4)$$



a Tanjant(teğetsel)kam
b Yan yüzü kavisli kam c Yan yüzü içten kavisli
Şekil.38: Tanjant(teğetsel) kam, yan yüzü dıştan ve içten kavisli kamlar

2. Yan yüzü dış kavisli kam (b.Şek.38 b)

$$r_s = \frac{R(\rho-R-h) - \frac{h^2}{2} - (\rho-R)(R+h)\cos\theta}{\rho-R-h - (\rho-R)\cos\theta} \quad (5)$$

$$\rho = \frac{a^2 + R^2 - r_s^2 - 2aR\cos\theta}{2(R - r_s - a\cos\theta)} \quad (6)$$

$$h = \rho - R + a \pm \sqrt{a^2 + (\rho - R)^2 + 2a(\rho - R)\cos\theta} \quad (7)$$

$$R = a\cos\theta + \rho \pm \sqrt{a^2\cos^2\theta + (\rho - r_s)^2 - a^2} \quad (8)$$

$$\rho_o = \frac{(\rho - R)^2 + R_G^2 - \rho^2 + 2(\rho - R)R_G\cos\theta_o}{2[R_G - \rho + (\rho - R)\cos\theta_o]} \quad (9)$$

3. Yan yüzü içten kavisli kam (b.Şek.38 c)

$$r_s = \frac{R(\rho+R+h) + \frac{h^2}{2} - (\rho+R)(R+h)\cos\theta}{\rho+R+h - (\rho+R)\cos\theta} \quad (10)$$

$$\rho = \frac{a^2 + R^2 - r_s^2 - 2aR\cos\theta}{2(r_s - R + a\cos\theta)} \quad (11)$$

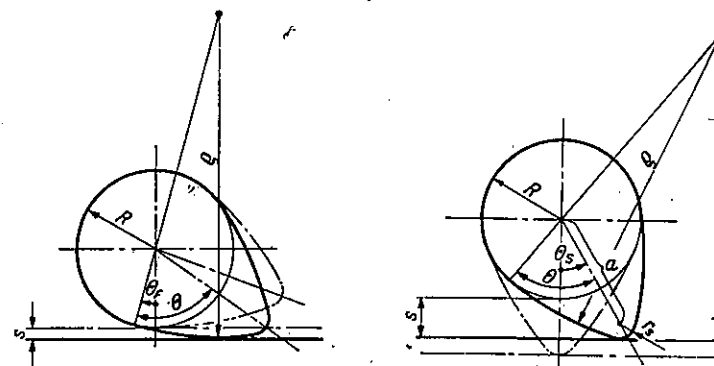
$$h = a - \rho - R \pm \sqrt{a^2 + (\rho + R)^2 - 2a(\rho + R)\cos\theta} \quad (12)$$

$$R = a\cos\theta - \rho \pm \sqrt{a^2\cos^2\theta + (\rho + r_s)^2 - a^2} \quad (13)$$

$$\rho_o = \frac{(\rho + R)^2 + R_G^2 - \rho^2 - 2(\rho + R)R_G\cos\theta_o}{2[R_G + \rho - (\rho + R)\cos\theta_o]} \quad (14)$$

Aşağıda kamın itme kursu, hız ve ivmeler için verilen formüller, kamın itici ile bağlantısından elde edilir. Kam dönüş noktaları için, iticinin temas yüzey yarıçapına bağlı olan açının değerine bilhassa dikkat edilmelidir. Mümkün olabilen tüm uygulama tipi incelemiştir. Mesela Şekil 33 e göre kumanda sisteminin yeniden hesabı veya özel hallerin hesabını mümkün kılan, iticilerde olduğu gibi. Dıştan kavisli itici yüzeyleri için, (yeri değiştirilmemiş iticiler içinde) verilen genel formüllerle kolayca hesaplaması yapılır. $b=0$ olduğundan $\alpha=\beta=0$ dır. Dönüş noktaları için daha basit formüller vardır. (b. Örnek 1, sayfa).

Hız ve ivme değerlerinin hesaplanması için genel olarak hesab cetvelinin hassasiyeti kافي gelir. Sadece düz satılı, titreşimli külbütörlerde hesabın tam hassasiyette yapılması lazımdır. ω değeri için eksantrik milinin açısal hızının değeri konulmalıdır.



Şekil.39: Harmonik kamlar

1. Kamın karşı itme yüzeyi düz.

a) Doğru hareketli itici (b.Şek.39)

Bu uygulama genel olarak "harmonik(uyuşmalı)kam" diye adlandırılır.

$$\sin\theta_{Fmax} = \frac{a \cdot \sin\theta}{\rho - r_s} \quad (15)$$

$$\theta_{Smax} = \theta - \theta_{Fmax}$$

Yan yüz:

İticinin itmesi : $s_F = (\rho - R)(1 - \cos \theta_F)$ (16)

Hız : $v_F = \omega(\rho - R)\sin \theta_F$ (17)

İvme : $b_F = \omega^2(\rho - R)\cos \theta_F$ (18)

Kam ucunda:

İticinin itmesi : $s_S = a \cos \theta_S + r_S - R = h - a(1 - \cos \theta_S)$ (19)

Hız : $v_S = \omega a \sin \theta_S$ (20)

İvme : $b_S = \omega^2 a \cos \theta_S$ (21)

b) Düz satılık titreşimli külbütor (b.Şekil 40)

$\theta_{Fmax} = \theta \pm \varphi_{max}$ üstteki işaret (+) düz itme tarafı çin
alttaki işaret (-) eğik " " "

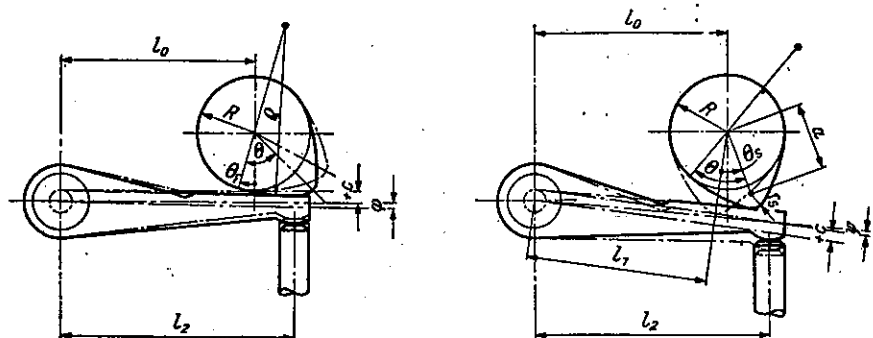
$$\cos a = \frac{(\rho - R)^2 + (\rho - r_S^2) - a^2}{2(\rho - R)(\rho - r_S)} \quad (22)$$

$$\cos \varphi_{max} = \frac{(R+c)[(\rho+c) - (\rho-R)\cos a] + l_0 \sqrt{l_0^2 + (R+c)^2 - [(\rho+c) - (\rho-R)\cos a]^2}}{(R+c)^2 + l_0^2} \quad (23)$$

$$\theta_{Smax} = \theta \pm (\varphi_{max} + \psi_{max}) - \theta_{Fmax}$$

$$\cos(\varphi_{max} + \psi_{max}) = \frac{(a+r_S+c)(R+c) + l_0 \cdot \sqrt{l_0^2 + (R+c)^2 - (a+r_S+c)^2}}{(R+c)^2 + l_0^2} \quad (23)$$

Titreşimli külbütorün yüzeyi dönme noktasının altında,
olursa c için ekski değer konulur.



Şekil 40: Yan yüzü kavisli ve külbütor yüzeyi düz kamlar

Kam yan yüzü:

Supap açılması(itmesi) : $s_F = l_2 \arccos x$ (24)

Supap hızı : $v_F = \omega l_2 (\rho - R) Y$ (25)

Supap ivmesi :

$$b_F = \omega^2 l_2 (\rho - R) \frac{(\rho - R) \left[2G \left(\frac{DG}{2F} \pm \frac{B}{F} + 2JY \right) - EXY^2 \right] + (\rho + c)B + [(R+c)B \pm l_0 A]H \mp FA}{JE} \quad (26)$$

$$A = \sin \theta_F$$

$$G = (R+c)A \mp l_0 B$$

$$B = \cos \theta_F$$

$$H = \frac{D}{F} - 2X$$

$$C = (R+c) + (\rho - R)B$$

$$J = \sqrt{1 - X^2}$$

$$D = l_0 \pm (\rho - R)A$$

$$X = \frac{(\rho+c)C + DF}{E}$$

$$E = C^2 + D^2$$

$$Y = \frac{(\rho+c)A + GH \mp BF}{JE}$$

$$F = \sqrt{E - (\rho+c)^2}$$

Kam ucu :

$$\text{Supap itilmesi : } s_S = s_{\max} - \ell_2 \text{arc cos} x \quad (27)$$

$$\text{Supap hızı : } s_{\max} = \ell_2 \text{arc cos} (\varphi_{\max} + \psi_{\max})$$

$$: v_S = \omega \ell_2 a y \quad (28)$$

Supap ivmesi :

$$b_S = -\omega^2 \ell_2 a \frac{a \left[2G \left(\frac{DG}{2F^3} + \frac{B}{F} + 2JY \right) - EXY^2 \right] - (r_S + c)B - [(a + r_S + c)B + l_1 A]H + AF}{JE} \quad (29)$$

$$A = \sin \theta_S$$

$$G = (a + r_S + c)A + l_1 B$$

$$B = \cos \theta_S$$

$$H = \frac{D}{F} - 2X$$

$$C = (a + r_S + c) - aB$$

$$J = \sqrt{1 - X^2}$$

$$D = l_1 \pm aA$$

$$X = \frac{(r_S + c)C + DF}{E}$$

$$E = C^2 + D^2$$

$$Y = \frac{(r_S + c)A + GH + BF}{JE}$$

$$F = \sqrt{E - (r_S + c)^2}$$

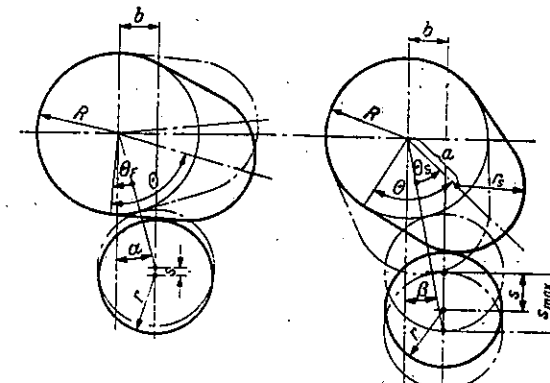
$$\ell_1 = \ell_0 - (a + r_S + c) \operatorname{tg}(\varphi_{\max} + \psi_{\max})$$

θ_F ve $\theta_S = 0$ için ivme değeri $\frac{\partial}{\partial \theta}$ olur. Bu eğrinin noktaları, başka bir tesbit etme mümkün olmadığından yaklaşım metodu ile yapılmalıdır.

2. Dıştan kavisli karşı yüzey

Ön işaret: (üst)düz itme tarafı için
(alt)meyilli itme tarafı için

a) Teğetsel kamalar (b.Şek.41)



Şekil.41: Teğetsel kamalar

$$\sin(\theta_{F\max} \mp \alpha) = \frac{a \sin \theta}{\sqrt{(R+r)^2 + a^2 \sin^2 \theta - b^2 \mp b(R+r)}} \quad (R+r)^2 + a^2 \sin^2 \theta \quad (30)$$

$$\theta_{S\max} = \theta + (\alpha - \beta) - \theta_{F\max}$$

$$\sin \alpha = \frac{b}{R+r},$$

$$\sin \beta = \frac{b}{a+r+r_S}$$

$$b = 0 \text{ için } : \operatorname{tg} \theta_{F\max} = \frac{a \cdot \sin \theta}{R+r}$$

$$\theta_{S\max} = \theta - \theta_{F\max}$$

Kam yan yüzü:

$$\text{İticinin kalkması (yükselemesi) : } S_F = (R+r) \frac{B}{C} \quad (31)$$

$$\text{Hız : } v_F = \omega (R+r) \frac{A+BD}{C} \quad (32)$$

$$\text{İvme : } b_F = \omega^2 (R+r) \frac{1+2D(A+BD)}{C} \quad (33)$$

$$A = \sin \theta_F$$

$$B = 1 - \cos \theta_F$$

$$C = \cos(\theta_F \mp \alpha)$$

$$D = \operatorname{tg}(\theta_F \mp \alpha)$$

Kam ucu:

$$\text{İticinin kalkması} : s_S = D + aB - (R+r)\cos\alpha \quad (34)$$

$$s_{\max} = (a+r+r_S)\cos\beta - (R+r)\cos\alpha$$

$$\text{Hız} : v_S = \omega a \left(A + \frac{BC}{D} \right) \quad (35)$$

$$\text{İvme} : b_S = -\omega^2 a \left[B + \frac{a(r+r_S)^2 B^2}{D^3} - \frac{AC}{D} \right] \quad (36)$$

$$A = \sin(\theta_S \pm \beta)$$

$$B = \cos(\theta_S \pm \beta)$$

$$C = aA \mp b$$

$$D = \sqrt{(r+r_S)^2 - C^2}$$

b) Yan yüzü dıştan kavisli kam (b.Şek.42)

$$\begin{aligned} \sin(\theta - \theta_{F\max} \pm \alpha) &= \\ &= \frac{(r+r_S)\sin\beta \sqrt{a^2 + 2a(r+r_S)\cos\beta + (r+r_S)^2 - b^2 \pm b[a + (r+r_S)\cos\beta]}}{a^2 + 2a(r+r_S)\cos\beta + (r+r_S)^2} \quad (37) \end{aligned}$$

$$\cos\beta = \frac{a^2 + (\rho - r_S)^2 - (\rho - R)^2}{2a(\rho - r_S)}$$

$$\sin\alpha = \frac{b}{R+r}$$

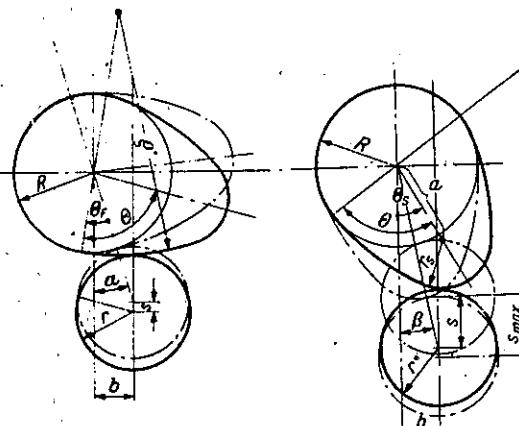
$$\sin\beta = \frac{b}{a+r+r_S}$$

$$\theta_{S\max} = \theta \pm (\alpha - \beta) - \theta_{F\max}$$

$b=0$ için

$$\operatorname{ctg}\theta_{S\max} = \frac{a(\rho+r)}{\cos\theta + (\rho-R)(r_S+r)}$$

$$\theta_{F\max} = \theta - \theta_{S\max}$$



Şekil.42: Yan yüzü dıştan kavisli kamlar

Yan yüz:

$$\text{İticinin kalkması: } s_F = D - (\rho - R)B - (R+r)\cos\alpha \quad (38)$$

$$\text{Hız} : v_F = \omega(\rho - R) \left(A - \frac{CB}{D} \right) \quad (39)$$

$$\text{İvme} : b_F = \omega^2(\rho - R) \left[B - \frac{(\rho - R)(\rho + r)^2 B^2}{D^3} + \frac{AC}{D} \right] \quad (40)$$

$$A = \sin(\theta_F \pm \alpha)$$

$$B = \cos(\theta_F \pm \alpha)$$

$$C = \frac{(\rho - R)A \mp b}{D}$$

$$D = \sqrt{(\rho + r)^2 - C^2}$$

Kam ucu:

Burada da teğetsel kamlarda uygulanan formüller aynen geçerlidir.

c) Yan yüzü içten kavisli kamlar (b.Şek.43)

$$\sin(\theta - \theta_{F\max} \pm \alpha) =$$

$$\frac{(r+r_S)\sin\alpha \sqrt{a^2 - 2a(r+r_S)\cos\alpha + (r+r_S)^2 - b^2 \pm b[a - (r+r_S)\cos\alpha]}}{a^2 - 2a(r+r_S)\cos\alpha + (r+r_S)^2} \quad (41)$$

$$\cos\alpha = \frac{a^2 + (\rho + r_S)^2 - (\rho + R)^2}{2a(\rho + r_S)}$$

$$\sin\alpha = \frac{b}{R+r}$$

$$\sin\beta = \frac{b}{a+r+r_S}$$

$$\theta_{S\max} = \theta \pm (\alpha - \beta) - \theta_{F\max}$$

$$b = 0 \text{ için} : \operatorname{ctg}\theta_{S\max} = \frac{a(\rho - r)}{\cos\theta + (\rho - R)(r_S + r)}$$

$$\theta_{F\max} = \theta - \theta_{S\max}$$

Kam yan yüzü :

$$\text{İticinin kalkması} : s_F = (\rho + R)B - D - (R+r)\cos\alpha \quad (42)$$

$$\text{Hız} : v_F = \omega(\rho + R) \left(\frac{CB}{D} - A \right) \quad (43)$$

$$\text{İvme} : b_F = \omega^2(\rho + R) \left[\frac{(\rho + R)(\rho - r)^2 B^2}{D^3} - \frac{AC}{D} - B \right] \quad (44)$$

$$A = \sin(\theta_F - \alpha)$$

$$B = \cos(\theta_F - \alpha)$$

$$C = (\rho + R) A \pm b$$

$$D = \sqrt{(\rho - r)^2 C^2}$$

Kam ucu:

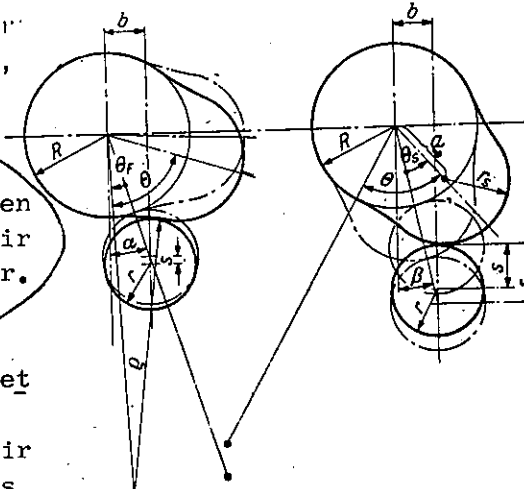
Burada da teğetsel kamlar için uygulanan formüller, aynen geçerlidir.

Örnek 1:

Formüllerin uygulanması en iyi şekilde hesaplanan bir misalle izah edilmiş olur.

Soru:

Ön kam kısmına sahip simetrik bir kam, yan yüz ile uç arasında serbest bir parça itici, kaydırılmamış durumda olup, verilen değer Şekil.43: Yan yüzü içten kavisli (çubuklu) kamlar (b.Şek.37).



$$R_G = 16, \quad R_1 = 16, 28, \quad \theta = 60, 5^\circ,$$

$$\theta_O = 30^\circ, \quad r = 62, 5;$$

$n_N = 2500$ d/dak lık eksantrik mili devir sayısında:

$$b_{F1max} < 3000 \text{m/s}^2,$$

$$b_{Smax} < 1300 \text{m/s}^2 \text{ olmalıdır.}$$

Hesabı :

İU me

Formül (40) a göre $\theta_{F1} = 0$ için:

$$b_{F10} = \omega^2 (\rho_1 - R_1) \left[1 - \frac{\rho_1 - R_1}{\rho_1 + r} \right]$$

b_{F1max} değerinin b_{F10} a nazaran biraz büyük olacağı tıpkı edildiği, fakat 3000m/s^2 dan daha küçük olması gereklidir, değeri takiben 95 olur. Hesabın daha basit olması için $\rho_1 = 96, 28$ seçildiğinde, $(\rho_1 - R_1) = 8$, $b_{F10} = 2720 \text{m/s}^2$ olur.

(9) numaralı formüle göre ön kam yarıçapı ρ_0 in değeri:

$$\rho_0 = \frac{80^2 + 16^2 - 96, 28^2 + 2 \cdot 80 \cdot 16 \cdot \cos 30^\circ}{2(16 - 96, 28 + 80 \cdot \cos 30^\circ)} = 18, 0403 \text{ dir.}$$

Formül (36) ya göre $\theta_S = 0$ için

$$b_{So} = \omega^2 a_2 \left(1 + \frac{a_2}{r + r_S} \right)$$

Çizim yoluyla $b_{Smax} = b_{So} = 1300 \text{m/s}^2$ şartı, $h=7$, $r_S \approx 7, 5$, $a_2 \approx 15, 5$ değerleri için yaklaşık olarak yerine getirilmiş olunur.

Soru şekline göre yan yüz ile uç arasında bir serbest bölge olacaktır. Bunun için $b \approx 0$ olmalıdır, yani geçiş yarıçapı o şekilde seçilmelidir ki,

$$\theta_{F20} < 90^\circ < \theta_{F2max} \text{ olmalıdır.}$$

Çizim yaparak bu şart $\theta_1 = 109^\circ$, $(R_1 + h_1) = 30, 5$, $h_1 = 14, 22$ için takiben yerine getirilmiş olunur.

ρ_2 , BD kamının uç yarıçapı olarak (5) formülünden hesaplanır.

$$\rho_2 = \frac{16, 28(96, 28 - 16, 28 - 14, 22)^{14, 22}}{96, 28 - 16, 28 - 14, 22 - 80 \cdot \cos 109^\circ} =$$

$$= 19, 2123$$

böylece:

$$\rho_2 = 19, 21$$

$$a_1 = R_1 + h_1 - \rho_2 = \rho_2 - R_2 = 30, 5 - 19, 2123 = 11, 2877$$

$$R_2 = \rho_2 - a_1 = 7, 9246$$

Şimdi ise CE kamındaki r_S değeri, formül (5) den hesaplanır.

$$h_2 = 23 - 7, 9246 = 15, 0754$$

$$\theta_2 = 180^\circ - 109^\circ + 60, 5^\circ = 131, 5^\circ$$

$$r_s = \frac{7,9246(19,2123-7,9246-15,0754) - \frac{15,0754^2}{2} - 11,2877 \cdot 23 \cos 131,5^\circ}{11,2877 \cdot 23 \cos 131,5^\circ}$$

$$19,2123-7,9246-15,0754-11,2877 \cdot \cos 131,5^\circ$$

$$\sqrt{S} = 7,6862$$

Kam şekli tesbit edildikten sonra dönüm noktalarının hesabına geçilir. Formül. (37) e göre, uç yarıçapı ρ_1 olan ön kam kısmı için:

$$\operatorname{ctg} \theta_{\text{Somax}} = \frac{\cos 210^\circ + \frac{80(18,0403+62,5)}{(18,0403-16)(96,28+62,5)}}{\sin 210^\circ}$$

$$\theta_{\text{Somax}} = 180^\circ - 1^\circ 30' 20'',$$

$$\theta_{\text{Fomax}} = 31^\circ 30' 20''.$$

ρ_2 uç yarıçaplı yan yüz için:

$$\operatorname{ctg} \theta_{\text{Slmax}} = \frac{\cos 109^\circ + \frac{11,2877(96,28+62,5)}{80(19,2123+62,5)}}{\sin 109^\circ}$$

$$\theta_{\text{Slmax}} = 93^\circ 6' 40'',$$

$$\theta_{\text{Flmax}} = 15^\circ 53' 20''$$

r_s uç yarıçaplı geçiş parçası için :

$$\theta_2 = 180^\circ - 109^\circ + 60,5^\circ = 131,5^\circ,$$

$$\operatorname{ctg} \theta_{\text{S2max}} = \frac{\cos 131,5^\circ + \frac{15,3138(19,2123+62,5)}{(19,2123-7,9246)(7,6862+62,5)}}{\sin 131,5^\circ}$$

$$\theta_{\text{S2max}} = 39^\circ 14' 36'',$$

$$\theta_{\text{F2max}} = 92^\circ 15' 24''$$

Böylece çalışma sahaları:

Ön kam kısmı: $\theta_{\text{Foo}} = 0$ dan $\theta_{\text{Fomax}} = 31^\circ 31' 20''$ e kadar

Yan yüz : $\theta_{\text{Fl0}} = 1^\circ 30' 20''$ den $\theta_{\text{Flmax}} = 15^\circ 53' 20''$ e kadar

İvmesiz bölge: $\theta_{\text{F20}} = 86^\circ 53' 20''$ den $\theta_{\text{F2max}} = 92^\circ 15' 24''$ e kadar

Üç kısım: $\theta_{\text{S2max}} = 39^\circ 14' 36''$ dan $\theta_{\text{S20}} = 0$ a kadar.

(38) ve (39) formüllerine göre s yi hesaplamak için, en iyisi Şekil 44 de verilen örneğe göre bir tablo yapılır. Kontrolu sağlamak için kısaltılmış ifadelerin değerleri burada hesaplanmıştır. $(R+r)$ için tüm kam boyunca (R_g+r) konulduğunda, taban ana daire üzerindeki kurs boyu elde edilmiş olur. Kam üzerinde açının dağılışı o şekilde seçilir ki, 90° de en büyük kurs boyu elde edilmiş olur.

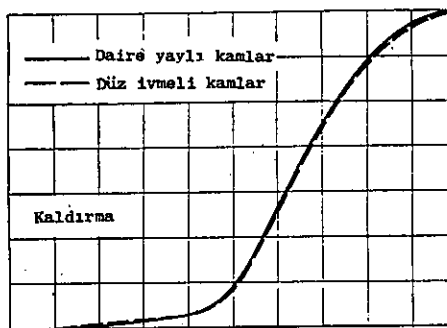
	$\theta_{F,S}$	$\lg \frac{(e-R)}{\lg aB}$	$\frac{(e-R)}{aB}$	$\lg C$	$\lg C^2$	C^2	D^2	$\lg D^2$	$\lg D$	D	s
$359^\circ 30'$	0
$31^\circ 0' 20''$	$\begin{cases} 31^\circ 30' 20'' \\ 1^\circ 30' 20'' \end{cases}$	1,90294	79,972	0,32261	0,64522	4,4179	25206,59	4,401514	2,200757	153,766	0,204
$45^\circ 23' 20''$	$\begin{cases} 15^\circ 53' 20'' \\ 96^\circ 53' 20'' \end{cases}$
$50^\circ 45' 24''$	$\begin{cases} 92^\circ 15' 24'' \\ 38^\circ 14' 36'' \end{cases}$
90°	0°

Şekil.44: itme (kaldırma) S nin hesap Orneği

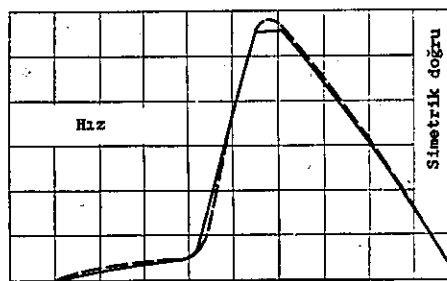
v ve b nin yerlerine v/ω ve b/ω^2 değerlerinin hesaplanması tavsiye edilir. Böylece devir sayısına bağlı kalınmaz. Hesabi değerin hassasiyeti burada çok önemli olmadığından, Şekil 45 de gösterilen örneğe göre bir tablo yeterlidir. Her dönüm noktaları arasında daima bir değer, eğrinin gidisinin çizilmesi için kافي gelir.

Şekil 46 da sürekli eğriler Örnek 1 e göre hesaplanan daire yaylı kamın s, v/ω ve b/ω^2 değerlerinin kam açılarına göre dağılışını göstermektedir.

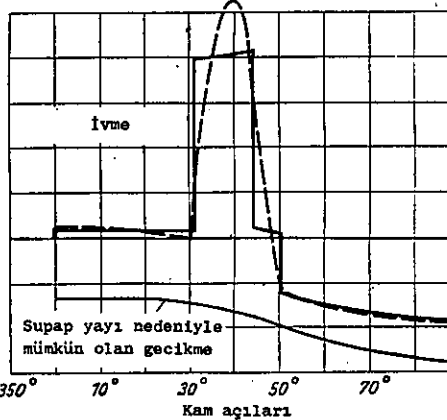
	$\theta_{F,S}$	A	B	C	D	v/w	b/w^2
350° 30'	0						
.	.						
31° 0' 20''	{ 31° 30' 20'' 1° 30' 20''	0,0263	0,9997	2.102	158,766	1,04	39,7
.	.						
45° 23' 20''	{ 15° 53' 20'' 90° 53' 20''						
.	.						
50° 45' 24''	{ 92° 15' 24'' 39° 14' 36''						
.	.						
90°	0°						



Şekil 45:

 $\frac{v}{w}$ ve $\frac{b}{w^2}$ nin hesap numunesi(Örnek 1)

Şekil 46:

4 Örnek 1 ve 2 nin kamları için $\frac{v}{w}$ ve $\frac{b}{w^2}$ eğrileri

İvme eğrisi içindeki her bir değişme sıçrama demektir. Bundan dolayı supap kumandasında, hesaplanan ivme kuvvetlerine nazaran oldukça büyük elastik değişimeler meydana gelir. Bu tesir sadece motor içinde değil, elastik değişimelerin etkisi burada daha fazla olduğundan eksantrik miliinin kayma yerlerinde aşınmalar olur. Yapılan hatalı bir diyagram eğrilerin gidişinde düzgün süzülük demektir. Bunun nedeni olarak kam itme diyagramı dağılmış ve ivme değeri de yükselmiş o

lur. Dolayısıyla supap kumandasındaki titreşime menfi etki etmiş olur.

Düz ivmeli kamlar farklı şekilde öngörlenebilirler. (Literatur 12-18) Fakat hesaplama metodları ya çok karmaşık veya kamlar arzu edilen ivme eğrisiyle kafi derecede çakışmazlar.

Aşağıda konu olan düz ivmeli kamlarda itme sinüs eğrisi ve 4. dereceden bir polinomdan teşekkür eder(b.Şek.47). Bu kam çok kolay hesaplanabilir ve öngörülen bütün şartlara daha kolay uyar. Pratik olması yönünden daha çok tutunmuştur. Birkaç örnek yapıldıktan sonra harmonik kamlar hariç daire yaylı kamlara nazaran bunun hesabı daha az zaman alır.

Şekil 47 de gösterildiği gibi, kalkma (itme) su eğrilerinden meydana gelmektedir.

Ön kam : Sinüs eğrisi $1/4$ periyod

Ana kam: 1. Kısım

Eğik sinüs eğrisi $1/2$ periyod

2. Kısım:

Eğik sinüs eğrisi $1/4$ periyod

3. Kısım:

4. Dereceden polinom

Bunlar için şu formüller geçerlidir.

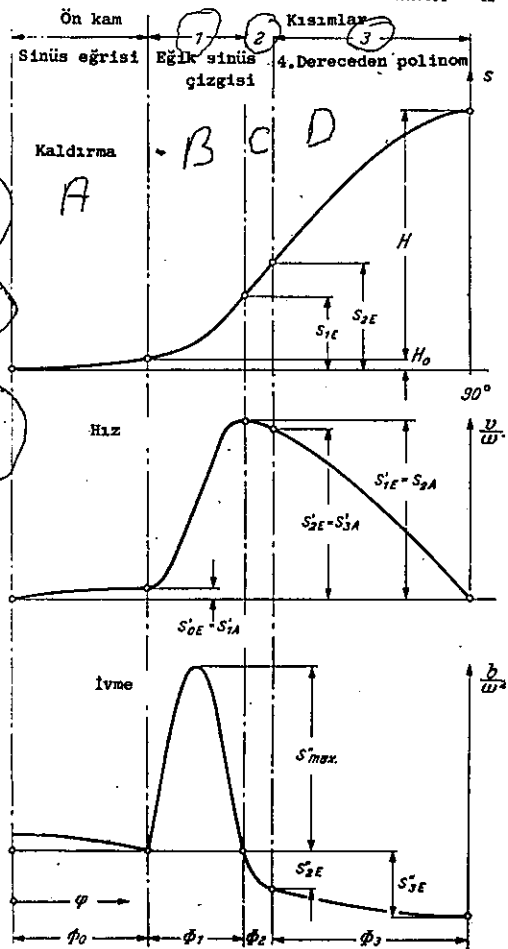
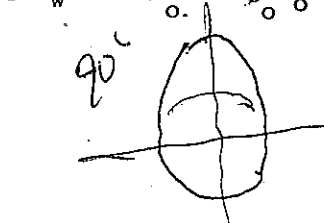
Ön kam:

Kaldırma:

$$s_0 = H_0 \left(1 - \cos \frac{\pi}{2\theta_0} \cdot \phi_0\right) \quad (45)$$

Hız:

$$s'_0 = \frac{v_0}{w} = H_0 \frac{\pi}{2\theta_0} \sin \frac{\pi}{2\theta_0} \phi_0 \quad (46)$$



Şekil 47: Düz ivmeli kamlarda kaldırma, hız ve ivmeler

↑ Önbilis

60. İvme:

$$s''_o = \frac{b_o}{\omega^2} = H_o \left(\frac{\pi}{2\theta}\right)^2 \cos \frac{\pi}{2\theta} \varphi_o \quad (47)$$

Ana kam:

Kısım 1.

Kaldırma : $s_1 = H_o + c_{11}\theta_1 - c_{12} \sin \frac{\pi}{2\theta_1} \cdot \varphi_1 \quad (48)$

Hız : $s'_1 = \frac{v_1}{\omega} = c_{11} - c_{12} \frac{\pi}{\theta_1} \cos \frac{\pi}{2\theta_1} \varphi_1 \quad (49)$

İvme : $s''_1 = \frac{b_1}{\omega^2} = c_{12} \left(\frac{\pi}{\theta_1}\right)^2 \sin \frac{\pi}{2\theta_1} \cdot \varphi_1 \quad (50)$

Kısım 2

Kaldırma : $s_2 = S_{1E} + c_{21}\theta_2 + c_{22} \sin \frac{\pi}{2\theta_2} \cdot \varphi_2 \quad (51)$

Hız : $s'_2 = \frac{v_2}{\omega} = c_{21} + c_{22} \frac{\pi}{2\theta_2} \cos \frac{\pi}{2\theta_2} \varphi_2 \quad (52)$

İvme : $s''_2 = \frac{b_2}{\omega^2} = c_{22} \left(\frac{\pi}{2\theta_2}\right)^2 \sin \frac{\pi}{2\theta_2} \cdot \varphi_2 \quad (53)$

Kısım 3

Kaldırma : $s_3 = S_{2E} + c_{31}(\theta_3 - \varphi_3)^4 - c_{32}(\theta_3 - \varphi_3)^2 + c_{33} \quad (54)$

Hız : $s'_3 = \frac{v_3}{\omega} = -4c_{31}(\theta_3 - \varphi_3)^3 + 2c_{32}(\theta_3 - \varphi_3) \quad (55)$

İvme : $s''_3 = \frac{b_3}{\omega^2} = 12c_{31}(\theta_3 - \varphi_3)^2 - 2c_{32} \quad (56)$

θ_{1-3} ve φ_{1-3} açıları Şekil 47 den çıkarılmıştır.

H_o ön kam yüksekliği,

$$S_{1E} = H_o + c_{11}\theta_1,$$

$$S_{2E} = S_{1E} + c_{21}\theta_2 + c_{22}, \quad H + H_o = S_{2E} + c_{33}.$$

61

c sabite değeri altındaki ilk rakam ilgili kısmını ve ikinci rakamda aynı kısımdaki diğer sabitelere göre farkı gösterir; A başlangıç ve E de son değerlerdir. Sabiteler, geçiş yerlerinde kursun, eğimin ve eğriliğin aynı olması gerektiği şartından hesap edilmişlerdir.

(45) den (56) ya kadarki formüllerden şu bağıntılar yazılır:

$$c_{11}\theta_1 + c_{21}\theta_2 + c_{22} + c_{33} = H$$

$$c_{31}\theta_3^4 - c_{32}\theta_3^2 + c_{33} = 0$$

$$c_{11} - c_{12} \frac{\pi}{\theta_1} = S'_{oE}$$

$$c_{11} + c_{12} \frac{\pi}{\theta_1} - c_{21} - c_{22} \frac{\pi}{\theta_1} = 0$$

$$c_{21} + 4c_{31}\theta_3^2 - 2c_{32}\theta_3 = 0$$

$$c_{22} \left(\frac{\pi}{2\theta_2}\right)^2 + 12c_{31}\theta_3^2 - 2c_{32} = 0$$

Bu bağıntılardan her bir sabite ayrı ayrı hesaplanır.

$$c_{11} = \frac{K_1 \cdot S'_{oE} + K_2 H}{2K_1 + K_2 \theta_1}$$

S'_{oE} ön kam sonundaki en büyük hız olup, ön kam için gerekli olan şartlardan elde edilir. (b. Örnek 2)

$$c_{12} = (c_{11} - S'_{oE}) \frac{\theta_1}{\pi} \quad c_{32} = \frac{2c_{11} - S'_{oE}}{K_2}$$

$$c_{21} = c_{32} k_3 \quad c_{22} = c_{32} k_1$$

$$c_{31} = c_{32} \frac{1-z}{6\theta_3^2} \quad c_{33} = c_{32} k_2$$

Yukarıdaki formüllerde kısaltılmış olarak verilen K_1 , K_2 , K_3 , ve z değerleri şunları ifade etmektedir.

$$k_1 = 8z \left(\frac{\varnothing}{\pi} \right)^2, \quad k_2 = \frac{5+z}{6} \varnothing_3^2, \quad k_3 = \frac{4+2z}{3} \varnothing_3, \quad K_1 = k_1 + k_2 + k_3 \cdot \varnothing_2,$$

$$K_2 = k_3 + 4z \cdot \frac{\varnothing_2}{\pi}, \quad z = \frac{S''_2 E}{S''_3 E} < 1 \quad (\text{b.Şek.47})$$

Uygun bir hız gecikmesi elde etmek, yani yay kuvvetinin dağılışında iyi bir uyuşma temin etmek için, $\frac{\varnothing_2}{\varnothing_3} = 0,1-0,15$, ve $z \approx 5/8$ değerlerinin seçilmesi tavsiye edilir.

Kam yan yüzü imalat tekniği yönünden kavisli olması gereğinden (hem içten kavisli ve hemde teğetsel kamlardan imkan nisbetinde kaçınılmazdır) - düz ivmeli kamın eğrisinin yeniden hesaplanması gereklidir. En az eğrilik takriben 1 kısımın ortasında bulunur, dıştan kavisli iticiler için eğriliğin yarıçapı şu formülle hesaplanır.

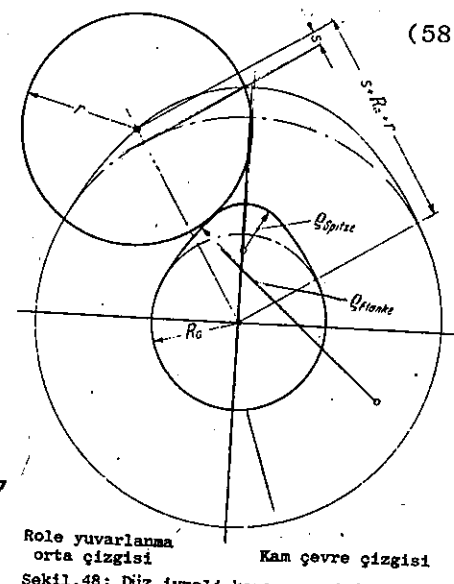
$$\beta = \frac{\left[(R_G + r + H_o + c_{11} \cdot \frac{\varnothing_1}{2} - c_{12})^2 + c_{11}^2 \right]^{3/2}}{(R_G + r + H_o + c_{11} \cdot \frac{\varnothing_1}{2} - c_{12})^2 + 2c_{11}^2 - (R_G + r + H_o + c_{11} \cdot \frac{\varnothing_1}{2} - c_{12})c_{12}(\frac{\pi}{\varnothing_1})^2} - r \quad (58)$$

Düz satılık itici için β de değeri:

$$\beta = R_G + H_o + c_{11} \cdot \frac{\varnothing_1}{2} - c_{12} + c_{12} \left(\frac{\pi}{\varnothing_1} \right)^2 \quad (59)$$

R_G = Eksantrik mili ana daire yarıçapı (b.Şek.48)

r = Kam kavis (eğrilik) yarıçapı



Role yuvarlanması
orta çizgisi
Kam çevre çizgisi
Şekil.48: Düz ivmeli kamın çevresi

Kamın en küçük kavis yarıçapı kamın uç noktasında meydana gelir. En büyük yüzeysel sıkışma kamın uç noktasında teşirli olduğundan, en küçük kavis yarıçapı da hesaplanmalıdır.

Temas yüzeyi eğri olan itici için eğrilik yarıçapı:

$$\beta = \frac{(R_G + r + H_o + H)^2}{R_G + r + H_o + H + 2c_{32}} - r, \quad (60)$$

Düz satılık itici için:

$$\beta = R_G + H_o + H - 2c_{32}. \quad (61)$$

Kamın ucunda ve yan yüzünün ortasındaki yarıçap değerleri ile kam şekli, (Eksantrik mili iş taslağının ölçülmesi için ihtiyaç duyulur) yeterli hassasiyetle çizilebilir. (b.Şek.48).

Kam hesabının kolaylaştırılması için Tablo 1 de β değerinin kuvvetleri verilmiştir. Bir hesap makinesi mevcut ise hesaplar daha kolayca yapılabilir.

Örnek 2: Düz ivmeli kamlarda hesabın gidisini daha anlaşılır hale getirmek için, aşağıda bir hesap örneği verilmiştir.

(Bak Tablo 1)

Soru: Örnek 1 de hesap edilen daire yaylı kamın, düz ivmeli kam olarak yeniden hesaplanması istenmektedir.

Table 1: Diz ivmeli kamın hesabı için
φ'un kuvvetleri

φ	φ^2	φ^3	φ^4
0°30'	0,008 727		
1°	0,017 453	0,000 305	0,000 005
1°30'	0,026 180		0,000 000 093
2°	0,034 906	0,001 218	0,000 042
2°30'	0,043 633		0,000 001 5
3°	0,052 360	0,002 742	0,000 143
3°30'	0,061 086		0,000 007
4°	0,069 813	0,004 874	0,000 340
4°30'	0,078 540		0,000 023
5°	0,087 266	0,007 615	0,000 664
5°30'	0,095 993		0,000 058
6°	0,104 720	0,010 966	0,001 148
6°30'	0,113 446		0,000 120
7°	0,122 173	0,014 926	0,001 823
7°30'	0,130 900		0,000 223
8°	0,139 626	0,019 495	0,002 722
8°30'	0,148 353		0,000 380
9°	0,157 079	0,024 674	0,003 876
9°30'	0,165 806		0,000 609
10°	0,174 533	0,030 462	0,005 317
10°30'	0,183 259		0,000 928
11°	0,191 986	0,036 859	0,007 076
11°30'	0,200 713		0,001 358
12°	0,209 439	0,043 865	0,009 187
12°30'	0,218 166		0,001 924
13°	0,226 893	0,051 480	0,011 681
13°30'	0,235 619		0,002 650
14°	0,244 346	0,059 705	0,014 589
14°30'	0,253 073		0,003 565
15°	0,261 799	0,068 539	0,017 943
15°30'	0,270 526		0,004 697
16°	0,279 253	0,077 982	0,021 777
16°30'	0,287 979		0,006 081
17°	0,296 706	0,088 034	0,026 120
17°30'	0,305 433		0,007 750
18°	0,314 159	0,098 696	0,031 006
18°30'	0,322 886		0,009 741
19°	0,331 612	0,109 966	0,036 466
19°30'	0,340 339		0,012 092
20°	0,349 066	0,121 847	0,042 533
20°30'	0,357 792		0,014 847
21°	0,366 519	0,134 336	0,049 237
21°30'	0,375 246		0,018 046
22°	0,383 972	0,147 434	0,056 610
22°30'	0,392 699		0,021 737
23°	0,401 426	0,161 143	0,064 687
23°30'	0,410 152		0,025 967
24°	0,418 879	0,175 460	0,073 497
24°30'	0,427 606		0,030 786
25°	0,436 332	0,190 386	0,083 071
26°	0,453 786	0,205 922	0,093 444
27°	0,471 239	0,222 066	0,104 646
28°	0,488 692	0,238 820	0,116 710
29°	0,506 145	0,256 183	0,129 666
30°	0,523 599	0,274 156	0,143 548
31°	0,541 052	0,292 737	0,158 386
32°	0,558 505	0,311 928	0,174 213
33°	0,575 959	0,331 729	0,191 062
34°	0,593 412	0,352 138	0,208 963
			0,124 001

Table 1(devamı)

	φ	φ^2	φ^3	φ^4
35°		0,610 865	0,373 156	0,227 948
36°		0,628 318	0,394 783	0,248 049
37°		0,645 771	0,417 020	0,269 300
38°		0,663 225	0,439 867	0,291 731
39°		0,680 678	0,463 322	0,315 373
40°		0,698 132	0,487 388	0,340 261
41°		0,715 585	0,512 062	0,366 424
42°		0,733 038	0,537 345	0,393 894
43°		0,750 491	0,563 237	0,422 704
44°		0,767 945	0,589 739	0,452 887
45°		0,785 398	0,616 850	0,484 473
46°		0,802 851	0,644 570	0,517 494
47°		0,820 305	0,672 900	0,551 984
48°		0,837 758	0,701 838	0,587 970
49°		0,855 211	0,731 386	0,625 489
50°		0,872 665	0,761 544	0,664 573

hesabı:

$$S_{OE} = 0,9 \text{ (Şekil 7 ve 46 ya göre seçilmişdir)}, \theta_o = 30^\circ$$

$$H_o = S_{OE} \frac{2\theta_o}{\pi} = 0,3 \quad H = 6,7$$

$\theta_1 + \theta_2 + \theta_3 = 60^\circ$, Daire yaylı kama nazaran daha kıska, fakat daha yüksek ön kamin duromu dikkate alınmıştır.

$\theta_1 = 18^\circ = 0,314159$, Daire yaylı kamin ivme diyagramından alınmıştır.

$$\theta_2 = 40^\circ = 0,069813 \approx 0,1 \theta_3$$

$$\theta_3 = 38^\circ = 0,663225,$$

$$\frac{\pi}{2\theta_o} = 3,0, \quad \frac{\pi}{\theta_1} = 10, \quad \frac{\pi}{2\theta_2} = 22,5, \quad z = \frac{5}{8} \text{ (Genellikle kabul edilen değer)}$$

$$k_1 = \frac{5}{8} \cdot \frac{1}{45^2} = 0,002469, \quad k_2 = \frac{5}{6} \cdot 0,663225^2 = 0,41237$$

$$k_3 = \frac{4+2 \cdot \frac{5}{8}}{3} \cdot 0,663225 = 1,1606,$$

$$K_1 = 0,002469 + 0,41237 + 1,1606 \cdot 0,069813 = 0,49587,$$

$$K_2 = 1,1606 + 4 \cdot \frac{5}{8 \cdot 45} = 1,2162,$$

$$c_{11} = \frac{0,49587 \cdot 0,9 + 1,2162 \cdot 6,7}{3 \cdot 0,49587 + 1,2162 \cdot 0,314159} = 6,256$$

$$c_{12} = (6,256 - 0,9) \frac{1}{10} = 0,5356,$$

$$c_{21} = 9,548 \cdot 1,1606 = 11,081,$$

$$c_{31} = 9,548 \cdot \frac{1-5/8}{6 \cdot 0,663225} = 1,3566,$$

$$c_{32} = \frac{2 \cdot 6,256 \cdot 0,9}{1,2162} = 9,548,$$

$$c_{22} = 9,548 \cdot 0,002469 = 0,023574, \quad c_{33} = 9,548 \cdot 0,41237 = 3,9373,$$

$$s_{1E} = 0,3 + 6,256 \cdot 0,314159 = 2,2654,$$

$$s_{2E} = 2,2654 + 11,081 \cdot 0,069813 + 0,023574 = 3,0627$$

$$H + H_0 = 3,0627 + 3,9373 = 7,0.$$

Sabitelerin kontrolü için formül(57) ye göre sınır şartları kontrolden geçirilir.

$$1,3566 \cdot 0,663225^4 - 9,548 \cdot 0,663225^2 + 3,9373 = 0$$

$$6,256 - 0,5356 \cdot 10 = 0,9,$$

$$6,256 + 0,5356 \cdot 10 - 11,081 - 0,023574 \cdot 22,5 = 0,$$

$$11,081 + 4 \cdot 1,3566 \cdot 0,663225^3 - 2 \cdot 9,548 \cdot 0,663225 = 0,$$

$$0,023574 \cdot 22,5^2 + 12 \cdot 1,3566 \cdot 0,663225^2 - 2 \cdot 9,548 = 0.$$

Böylece (45) den (56) ya kadarki formüller, itme(kaldırma), hız ve ivmelere ait ilgili değerleri verirler:

Ön kam:

$$\text{İtme} : S_0 = 0,3(1 - \cos 3\phi_0),$$

$$\text{Hız} : \frac{v_0}{\omega} = 0,9 \cdot \sin 3\phi_0,$$

$$\text{İvme} : \frac{b_0}{\omega^2} = 2,7 \cdot \cos 3\phi_0.$$

Ana kam:

Kısim 1.

$$\text{İtme} : S_1 = 0,3 + 6,256 \cdot \phi_1 - 0,5356 \cdot \sin 10\phi_1,$$

$$\text{Hız} : \frac{v_1}{\omega} = 6,256 - 5,356 \cdot \cos 10\phi_1,$$

$$\text{İvme} : \frac{b_1}{\omega^2} = 53,56 \cdot \sin 10\phi_1$$

Kısim 2.

$$\text{İtme} : S_2 = 2,2654 + 11,081 \cdot \phi_2 + 0,023574 \cdot \sin 22,5\phi_2,$$

$$\text{Hız} : \frac{v_2}{\omega} = 11,081 + 0,5304 \cdot \cos 22,5\phi_2,$$

$$\text{İvme} : \frac{b_2}{\omega^2} = -11,934 \cdot \sin 22,5\phi_2.$$

Kısim 3.

$$\text{İtme} : S_3 = 7,0 + 1,3566(38^\circ - \phi_3)^4 - 9,548(38^\circ - \phi_3)^2,$$

$$\text{Hız} : \frac{v_3}{\omega} = -5,4264(38^\circ - \phi_3)^3 + 19,096(38^\circ - \phi_3),$$

$$\text{İvme} : \frac{b_3}{\omega^2} = 16,2792(38^\circ - \phi_3)^2 - 19,096.$$

Kam yan yüzündeki en büyük eğrilik yarıçapı, formül(58) den hesaplanır. (Bunun için hesap cetvelinin hassasiyeti yeterlidir).

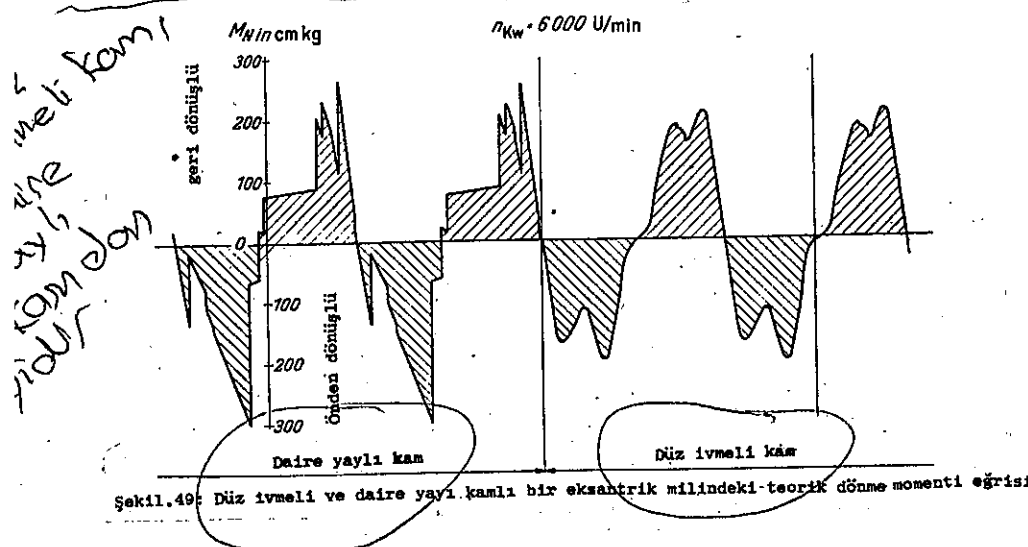
$$\rho_{R\max} = \frac{\left[\left(10+62,5+0,3+0,250 \cdot \frac{3,14159}{2} - 0,5350 \right)^2 + 6,250^2 \right]^{1/2}}{\left(78,8+0,250 \cdot \frac{3,14159}{2} - 0,5350 \right)^2 + 2 \cdot 6,250^2 - \left(78,8+0,250 \cdot \frac{3,14159}{2} - 0,5350 \right) 0,5350 \cdot 10^2} - 62,5 = 159,3$$

Formül (60) a göre kam ucundaki en küçük eğrilik yarıçapı:

$$\rho_{R\min} = \frac{(11+62,5+0,3+6,7)^2}{16+62,5+0,3+6,7+2 \cdot 9,548} - 62,5 = 7,3$$

Şekil 46 da düz ivmeli bir kamın s , v/ω ve b/ω^2 eğriliği kesikli çizgilerle gösterilmiştir. Şekilde kam itmesinin hemen hemen aynı olduğu görülmektedir; hız eğrisi biraz sapma gösterir. Bu eğride artık köşeler yoktur. Buna karşılık ivme eğrisi başka bir karaktere sahiptir, tüm sıçramalar kaybolmuştur.

Daire yaylı bir kamla mukayesesi olmayan yeni bir kamın dizayn edilmesi gerekirse bu takdirde \emptyset ve $(\emptyset_2+\emptyset_3)$ açıları yaklaşık olarak, en büyük ivmenin en büyük gecikmeye olan oranı gibi, ters oranda seçilir. Düz ivmeli kamda en büyük ivme, sıçramanın olmamasından dolayı daire yaylı kama göre biraz daha yüksek olabilir.



Şekil.49: Düz ivmeli ve daire yaylı kamı bir eksantrik milindeki teorik dönme momenti eğrisi.

Seçilen H değerleri ile c_{11} , c_{12} ve c_{32} sabiteleri hesaplanır. Bu değerlerle

$$\varphi_1 = \frac{\emptyset_1}{2} \quad \text{ve} \quad \varphi_3 = \emptyset_3 \quad \text{için (50) ve (56)}$$

formüllerine göre:

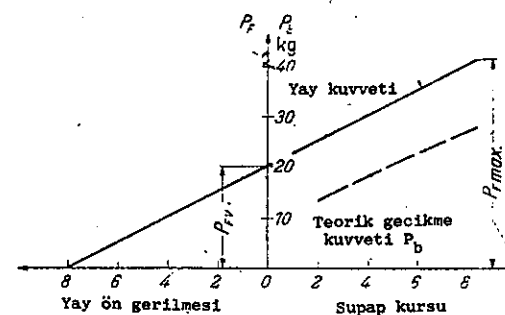
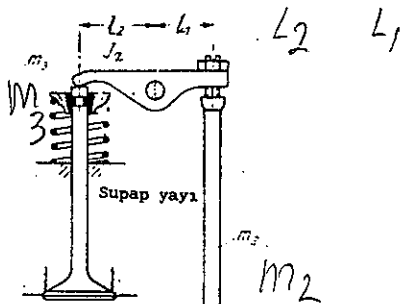
$$b_{1\max} = \omega^2 \cdot c_{12} \left(\frac{\pi}{\varphi_1} \right)^2 \quad \text{ve} \quad b_{3\max} = 2\omega^2 c_{32} \quad \text{elde edilir.}$$

H değeri hesaplandıktan sonra, hesaplar yeniden yukarıdaki gibi tekrar edilir.

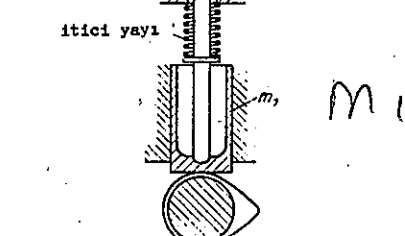
Kam üzerindeki kuvvetlere ait kuvvet kolu değerleri ile eksantrik mili üzerindeki teorik dönme momeni hesaplanır. Burada kumanda elemanlarının hiçbir boşluğa sahip olmadıkları kabul edilmiştir. Şekil 49 da Krank mili devri 6000 d/dak olan ve gaz kuvvetlerinin tesiri dikkate alınmamış, 6 silindirli eksantrik milinin dönme momenti eğrisinin gidişi görülmektedir. Açıkça da görüldüğü gibi, daire yaylı kam düz ivmeli kama nazaran daha gürültülü çalışma yapar ve maksimum değerlere ulaşır. Ayrıca düz ivmeli kamda keskin uçlar da yoktur.

2.32 Supap yayı

Supap yayının vazifesi, hareketsiz süre esnasında supap üzerinde tutmak sonra kam yan yüzü tarafından hareketli durumuna getirilen supapı tekrar yavaşlatmak, böylece en büyük kam kurşunda hızı sıfır yapmaktadır. Bunu takiben o supapi, yuvası istikametinde kam yan yüzü tarafından tutulup yavaş



Şekil.50: Yay diyagramı



Şekil.51: Hareketli kütleyelerin hesabı

Bunu için, saptığı için
kapak yayı ek dirence iye
olmalıdır 10/30-50

latincaya kadar hızlandırır. Supap yayı tarafından meydana gelen P_F kuvvetinin, yavaşlatma kuvveti olan $P_b = m_v \cdot b_{Sv}$ den daha büyük olması lazımdır. Burada m_v supap üzerine tatlık edilmiş kuvvet, ve b_{Sv} de kam ucu alanı üzerindeki supap ivme değeridir. P_b değeri ivme diyagramından hesaplanır ve hesap için supap kursu üzerine aktarılır. (b.Şek.50). Ve bu diyagram üzerine yay karakteristiği, doğru çizgi olarak aktarılır. Belirli bir yayın diyagramı, yay kuvveti supap kütlesine bölünüp ve krank mili dönme açısı üzerine tatlık edilerek de ivme diyagramı içerisinde çizilebilir. (b.Şek.46)

Kısim 2.112 de de izah edildiği gibi, gerçek supap açılması hesaplanan değere göre sapar. Bunun için supap yayı kafi derecede rezerveye sahip olmalıdır. Bu rezervenin dercesi ne miktarda lazımdır. hususiyeti meydana gelen ivmeler, mevcut elastikiyete ve mümkün olan devir adetlerine bağlıdır. Mevcut şartlara bağlı olarak, %30-50 nisbetinde olması tavsiye edilir. Kam hareketi bir şevrim oranı ile supap üzerine aktarılırsa, supap veya kam üzerine aktarılmış kütle değerleri şöyle olur. (b.Şek.51)

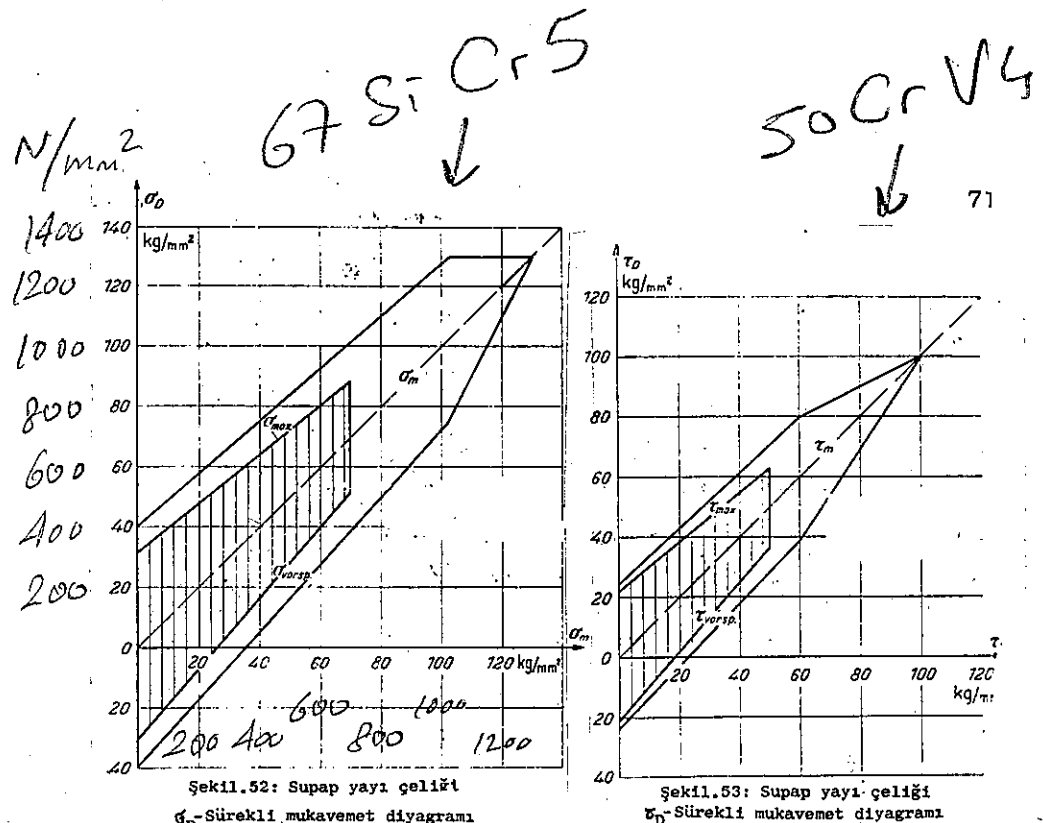
$$\text{Supap için: } m_v = m_3 + \frac{(l_1)^2}{l_2^2} (m_2 + m_1) + \frac{J_a}{l_2^2}, \quad (62)$$

$$\text{Kam } " : m_N = m_1 + m_2 + \frac{(l_2)^2}{l_1^2} m_3 + \frac{J_a}{l_1^2}. \quad (63)$$

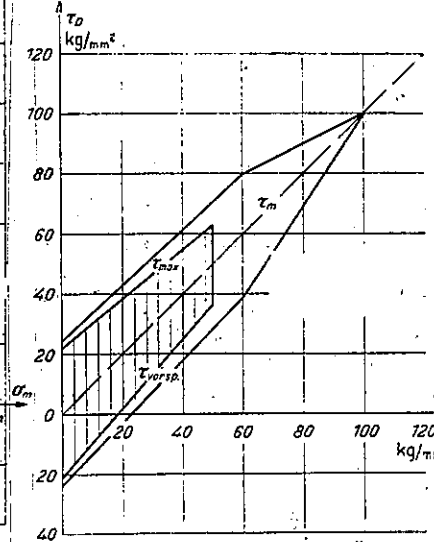
J_a , külbütorün aksiyal atalet momentidir. Genel olarak mukavemet moment hesabının çok zaman alıcı olmasından dolayı vazgeçilir ve kol uçlarında hareket eden ağırlıklar hesap edilir.

Tüm supap yay kuvvetinin tatlığının genellikle mümkün olmaması veya zor oluşu nedeniyle her bir aktarma elemanları yanına yayarlar öngörelebilir. (Mesela iticiler veya külbütor yanına). Ongörülen yayarların tesbiti, yay tarafından, yavaşlatılan veya hızlandırılan kütelere göre yapılır.

En çok kullanılan supap yayarları yuvarlak kesitli silindirik spiral yayarlardır. (b.Şek.54). Çünkü bu yayarlar az hacim kaplar ve imalatlarında ucuzdur. Motosiklet motorlarında, bilhassa yarış arabalarında daha ziyade çift sırmılı yay kullanılır. (b.Şek.55). Bu yayarlar çok az hareket-



Şekil.52: Supap yayı gelişti
 σ_0 -Sürekli mukavemet diyagramı



Şekil.53: Supap yayı gelişti
 τ_0 -Sürekli mukavemet diyagramı

li kütleler ve kısa supaplar gerektirir. Fakat spiral yaylara nazaran daha çok hacim işgal ederler. Bazen yay kuvveti bir torsyon cubuğu yardımıyla de temin edilir. (b.Şek 57). Bu çözüm şekli imalat yönünden pahalı olmakla beraber montaj ve soğutma vs. yönünden faydalıdır.

Supap yayının hesabında, değişken zorlanmaların çok yüksek olmasına gereken dikkat gösterilmelidir. Yani yay çok sert olmamalı, kafi derecede bir ön gerilim değeri ongörelmelidir. Ön gerilim değeri çok büyük olursa yayın kapladığı hacim büyür, ağırlık artar ve lüzumsuz olarak kendi titreşim sayısını azaltır.

Emniyetli zorlanmalar için, malzeme sürekli mukavemet eğrisi saptanır. Bu arada titreşimler nedeniyle zorlama kuvvetlerinin oldukça artabileceği hususu gözönünde bulundurulmalıdır. (b.Şek.2.322). Şekil 53 ve 54, yüksek değerli, yaşda sertleştirilmiş yay çelikleri için (özel çelikler I DIN 2076 ya göre) σ_0 ve τ_0 -sürekli mukavemet diyagramlarını göstermektedir.

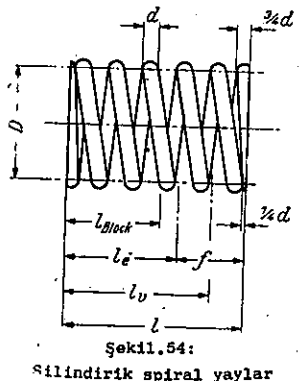
Hava soğutmalı motorlarda, bilhassa eksez supapı yayarları için zorlanma sınır noktasına yaklaşılmamalıdır. Çünkü, yüksek ısı nedeniyle supap yayı kuvvetinde bir azalma meydana gelmemelidir.

Sürekli mukavemet gücünün artırılması için supap yay çeliği taşlanmış ve mukavemeti artırılmıştır. Her yay başlangıçta daha fazla direnç gösterdiği için, imalatçı firmalarca sevk edilmeden önce çalışma anında meydana gelecek güçlerin üzerinde takiben 30 defa zorlanmaya tabi tutulur. Eğer resim üzerinde başka bir şey yazılmamışsa spiral yayar genellikle sonuna kadar sıkıştırılırlar. Bu deneme de yay öyle bir mukavemet göstermelidir ki, sıkıştırma basıncı altında kalıcı bir şekilde değişikliği meydana gelmemeli dir.

2.321 Titreşim dikkate alınmaksızın yayların hesabı

Yay hesapları için aşağıdaki formüller uygulanır.

1. Silindirik spiral yayarlar.(b.Şekil 54 ve Örnek 1)



$$P_F = \frac{\pi \cdot r \cdot d^3}{8 \times D}, \quad \tilde{l} = \frac{8 \cdot P_F \cdot D \times x}{\pi d^3} \quad (64)$$

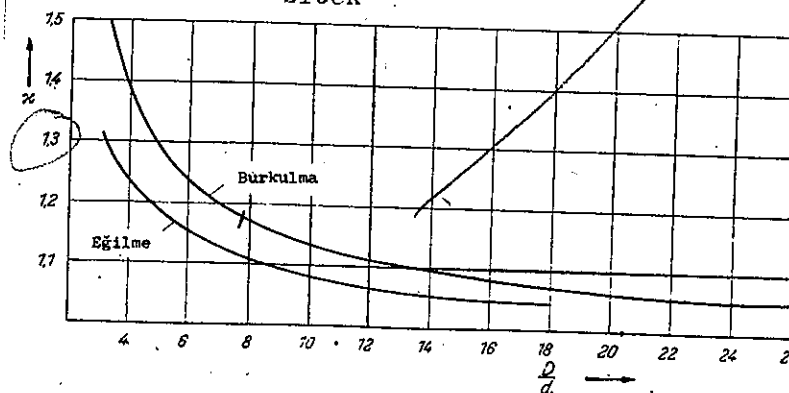
$$f = \frac{8 \cdot D^3 \cdot P_F}{\pi \cdot d^4 \cdot G} \cdot i, \quad (65)$$

$$n_e = \frac{30 \cdot d}{\pi \cdot i \cdot D^2} \cdot \sqrt{\frac{G}{2\rho}} \quad (\text{Hussmann'a göre}) \quad (66)$$

Yay çeliği için:

$$n_e = 2,17 \frac{d}{i \cdot D^2} \cdot 10^7 \quad [\text{dak}^{-1}] \quad (\text{d ve } D \text{ mm cinsinden}) \quad (67)$$

$$l_{block} = (i+2)d. \quad (67)$$



Şekil 55: D/d oranına bağlı x değerleri

Formüldeki harflerin anlamları:

P_F = Yay kuvveti,

\tilde{l} = (burulma) zorlanması

d = Yay tel çapı

x = Katsayı.(yayın iç çapı içindeki zorlanmanın etkisi ni dikkate alır).(b.Şek.55).

D = Ortalama yay sarılım çapı

f = Tüm yaylanma

G = Kayma modulu,(yay çeliği için $G=8300 \text{ kg/mm}^2$)

i = Tesirli sarım sayısı, son sarımların tek taraflı şekil değişimini dengellemek için bu değer imkan dahilinde kesirli seçilir.

l = Ön gerilimli yay uzunluğu

l_e = Son gerilimdeki yay uzunluğu

l_{block} = Tam basınçtaki yay boyu. Burada her yay ucunda bir sarım bırakılmıştır. Bunun başlangıcı, yay boyu ek senine göre dik olarak $1/4 d$ nisbetinde taşlanmış tır.

n_e = Yayın kendi titreşim sayısı

$\rho = \frac{\chi}{g}$ = Yoğunluk

χ = Yay malzemesinin ağırlığı

$g = 981 \text{ cm/S}^2$.

Eğer yay az derecede konik ise, hesaplar ortalamaya çap j le yapılabilir.

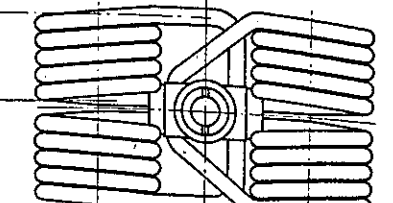
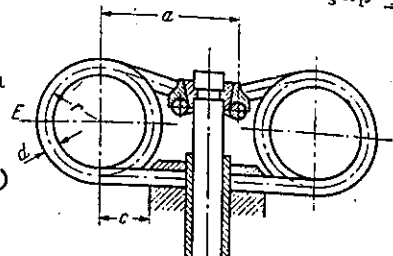
2. Çift sarımlı yayarlar(Hussmann'a göre, Şek.56 ve Örnek 2)

$$P_F = \frac{\pi \cdot d^3}{8(a+r)x} G, \quad \phi = \frac{8 \cdot P_F \cdot (a+r)x}{\pi d^3}, \quad (68)$$

$$f = \frac{P_F}{E \cdot J} \left[r \cdot \pi \cdot i \cdot a^2 + \frac{a^2}{3} - \frac{1}{6} (a-c)^3 \right] \quad (69)$$

Formüldeki harflerin anlamları

P_F = Toplam yay kuvveti



Şekil 56: Çift sarımlı yay

ϕ = Eğilme gerilmesi, ϕ_{max} , E bölgesinde meydana gelir.

d = Yay tel çapı

r = Ortalama sarım yarıçapı

x = Katsayı. (Tel bükülme tesiri) b.Şek. 55.

f = Kuvvet tesir noktasındaki eğilme

E = Elastikiyet (esneme) modulu. (Yay çeliği için.

$$E=2,2 \cdot 10^4 \text{ kg/mm}^2,$$

$$J = \frac{\pi d^4}{64} = \text{Atalet momenti}$$

i = Yay yarısının sarım sayısı

a, c, e = Mesafeler (b.Şek.56)

c ve e mümkün olduğu kadar küçük olmalıdır. Böylece eğilme ve Torsiyon momentleri de küçük tutulmuş olur.

Çift sarımlı yayların kendi titreşim sayıları hakkında, pek tecrübe bilgileri yoktur. Bu titreşim sayısı yüksek olabilir.

3. Torsiyon çubuğu (b.Şek.57)

$$P_F = \frac{\pi d^3}{16R} \tau, \quad \tau = \frac{16R}{\pi d^3} P_F, \quad (70)$$

$$f \approx \frac{32LR^2}{\pi G d^4} \cdot P_F. \quad (71)$$

Formüldeki ifadelerin anlamları:

P_F = R yarıçaplı kuvvet

τ = Burulma zorlanması

f = R yarıçaplı hareket; düz hareketli supapın, kolin kavisli hareketine göre sapması küçük olduğundan dikkate alınmaz.

G = Kayma modulu, (yay çeliği için $G=8300 \text{ kg/mm}^2$)

L = Torsiyon çubuğunun tesirli boyu.

En büyük gerilimlerin meydana geldiği bağlantı yerlerine gereken itinanın gösterilmesi lazımdır. Torsiyon çubuğuının kendi titreşim sayısı oldukça yüksektir.

Örnek 1:

Üstten eksantrik milli su soğutmalı 4 zamânlı bir taşıt motorunun supap yayının silindirik spiral yay olarak hesabı istenmektedir.

Verilenler:

Krank mili devri $n_{max} = 5500 \text{ d/dak.}$

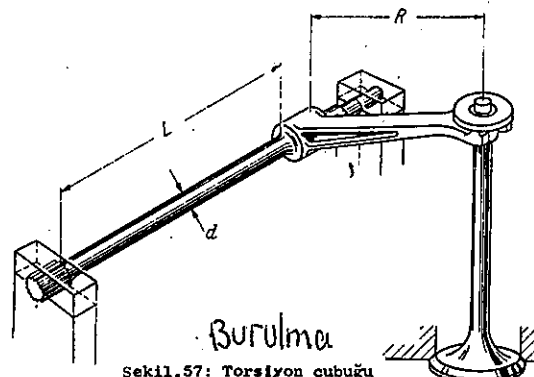
Azami supap kurs boyu = 9,4 mm,

Hareketli kütleler = 300 g,

Kam tepesindeki yavaşlama $b_{Smax} = 1900 \text{ m/s}^2$

En büyük yay çapı = 37 mm.

Üstten eksantrik milli motorda yay rezervi, aktarma elemalarını takriben 30 kadar sertleştirir.



Şekil.57: Torsiyon çubuğu

$$D=37-1,5=32,5 \text{ mm}, \quad D/d=7,23;$$

$$P_{max} \geq 1,3 \cdot \frac{0,3 \cdot 1900}{9,81} \approx 76 \text{ kg}$$

Bu yay kuvveti, mevcut hacim şartlarında bir yay tarafından sağlanabileceğinden, iki yay öngörülmüştür. Tel çapı 4,5 mm. olarak seçilen dış yay için ortalamayaçap değeri:

Böylece Şekil 55 e göre $x=1,19$ dır.

$\tau_{max}=58 \text{ kg/mm}^2$ lik burulma zorlanması, formül(64)e göre:

$$P_{amax} = \frac{\pi \cdot 58 \cdot 4,5^3}{8 \cdot 1,19 \cdot 32,5} = 53,6 \text{ kg.}$$

$P_{amax}=54 \text{ kg.}$ için $\tau_{max}=58,4 \text{ kg/mm}^2$ olur. İçteki yayın, yeterli hareket sahası dikkate alınarak, en büyük çap olarak takriben 24mm. seçilebilir. $d=3 \text{ mm}$ için $D=21 \text{ mm.}$ ve $x=1,2$ olur. Formül (64) e göre:

$$P_{imax} = \frac{\pi \cdot 58 \cdot 33}{8 \cdot 1 \cdot 2.21} = 24,4 \text{ kg.}$$

$P_{imax}=24 \text{ kg}$ için, $\tau_{max}=57,1 \text{ kg/mm}^2$ dir.

$$P_{amax} + P_{imax} = 78 \text{ kg.}$$

Dıştaki yay için formül (65) e göre yaylanması:

$$f_a = \frac{8 \cdot 32,5^3 \cdot 54}{4,5^4 \cdot 8300} i = (4,36 \cdot i) \text{ mm. dir.}$$

İçteki yay için:

$$f_i = \frac{8 \cdot 21^3 \cdot 24}{4 \cdot 8300} i = 2,65 \cdot i \text{ mm. dir.}$$

Şekil 53 e göre, $\tau_{max}=58,4 \text{ kg/mm}^2$ için $\tau_{vorsp} \geq 30 \text{ kg/mm}^2$ seçilir. 4,5 sarımlı dıştaki yay için $f=19,6 \text{ mm}$ ve $\tau_{vorsp} = 30,4 \text{ kg/mm}^2$ dir, yanı $\tau_w=28 \text{ kg/mm}^2$.

7,5 sarımlı içteki yay için $f=19,9 \text{ mm}$, $\tau_{vorsp}=30,1 \text{ kg/mm}^2$ ve $\tau_w=27 \text{ kg/mm}^2$ dir.

Formül (66) ya göre dıştaki yayın kendi titreşim sayısı

$$n_e = 2,17 \cdot \frac{4,5 \cdot 10^7}{4,5 \cdot 32,5^2} = 20500 \frac{1}{\text{dak}}, \text{ ve}$$

İçteki yayın:

$$n_e = 2,17 \cdot \frac{3 \cdot 10^7}{7,5 \cdot 21^2} = 19700 \frac{1}{\text{dak}} \text{ dir.}$$

Tam sıkışmadaki yay boyu: (Formül (67) ye göre

Dıştaki yay için: $\ell_{block} = (4,5+2) \cdot 4,5 = 29,25 \text{ mm.}$

İçteki yay için: $\ell_{block} = (7,5+2) \cdot 3 = 28,5 \text{ mm.}$

Buna göre içteki yay için tam supap kursunda en azından 32,5 mm lik yay boyu öngörmelidir. Buna göre sarımlar arasındaki mesafe takriben 0,5 mm. dir. Dıştaki yay yuva içindeki hareketinden dolayı içtekinden biraz uzundur. Bir mahzur teşkil etmeden sonuna kadar yaylanması kontrol edilmiştir. Montaj anında yay fazla zorlanamaz, çünkü içteki yay bir sınırlama yapar.

Örnek 2.

Aynı motor için silindirik spiral yay yerine çift sarımlı yayın öngörülmesi ve hesaplanması istenmektedir. Supapın kısaltılması ve hareketli yay parçalarının azalması, ile ileri ve geri hareket eden kütleler ağırlığı 240g.a düşer.

Yayın çizimi yapılarak $d \approx 5 \text{ mm}$ için uygun olarak

$$r=16 \text{ mm}, c=14 \text{ mm}, a=41 \text{ mm. değerleri elde edilir.}$$

$$P_{max} = 76 \cdot \frac{240}{300} \approx 60 \text{ kg.}$$

$d=5 \text{ mm. için } \frac{D}{d}=6,4$ olur ve Şek.55 e göre $x=1,145$ dir. Formül (68) den:

$$\phi_{max} = \frac{8 \cdot 60(41+16) \cdot 1,145}{\pi \cdot 5^3} = 79,8 \text{ kg/mm}^2 \text{ bulunur.}$$

Formül (69) a göre:

$$f = \frac{60,64}{2 \cdot 2,2 \cdot 10^4 \cdot \pi \cdot 5^4} \cdot \left[16 \cdot \pi \cdot 41^2 + \frac{41^3}{3} - \frac{1}{6} (41-14)^3 \right] =$$

$$= 3,76 \cdot i + 0,878 \quad \text{ve} \quad i=4,5 \text{ için: } f=17,78 \text{ mm. dir.}$$

Böylece $\phi_{vorsp}=37,6 \text{ kg/mm}^2$, $\phi_M=58,7 \text{ kg/mm}^2$ ve $\phi_W=42,2 \text{ kg/mm}^2$

olur. Bu gerilim değerleri emniyetli sınırlar için bulunmaktadır.

2.322 Titreşim zorlamasının hesabı

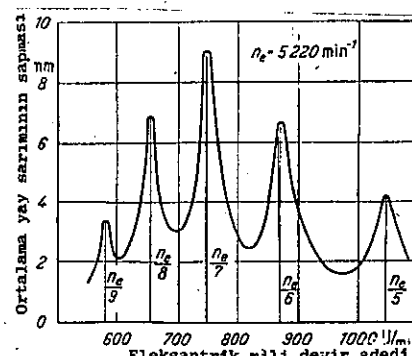
Supap yayı titreşim yapan bir sistem olduğundan, supap

hareketi ile meydana gelen değişken zorlama nedeniyle, titreşim zorlaması daha da artabilir. Hussmann tarafından hesaplanan bir rezonans eğrisi Şek.58 de görülmektedir. Burada rezonans sahasında, ortadaki yay sarımının titreşim sapmaları verilmiştir. Titreşim dikkate alınmadan meydana gelecek burulma zorlaması τ'_{\max} ve τ'_{ω} ve rezonans durumunda ilave τ'_R değerleri Şekil 59 da gösterilmiştir. Böylece gerçek en büyük zorlanma:

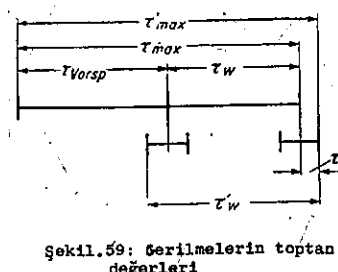
$$\tau'_{\max} = \tau'_{\max} + \tau'_R \text{ dir.}$$

ve gerçek değişken zorlanmanın değeri:

$$\tau'_{\omega} = \tau'_{\omega} + 2\tau'_R \text{ dir.}$$



Şekil.58: Silindirik spiral bir yayın rezonans eğrisi (HUSSMANN'a göre)



Şekil.59: Gerilmelerin toptan değerleri

Hussmann'a göre $\frac{\tau'_{\omega}}{\tau'_{\omega}}$ oranı şu formülden hesaplanır.

$$\frac{\tau'_{\omega}}{\tau'_{\omega}} = \lambda \cdot \frac{c_M}{s_{\max}} \cdot \frac{\pi \cdot n_e}{30 \cdot b} \text{ dir.} \quad (72)$$

Formüldeki harflerin anlamları:

λ = Titreşimin derecesi = 1, 2, 3, ...,

n_e = Harmonik sıra sayısı,

c_M = Azami ikaz değerleri, (b.Şekil 60).

s_{\max} = Maksimal supap kursu,

n_e = Yay titreşim sayısı,

b = Susturma(titreşimi kesme)değeri, b değeri Şek.60 dan okunur. Bu eğri Hussmann'ın ölçütiği yayların ortalaması değerini vermektedir.

c_M - değerlerini elde etmek için, supap açılmasının harmonik analizinin yapılması gereklidir. Bunun için supap hareketi(açılması)duruma göre 17. veya 35. harmoniye kadar analiz etme durumuna bağlı olarak 36 ve 72 kısma bölünür ve

kurs değerleri şema üzerine konulur. Böylece a_M ve b_M -değerleri ile, $c_M = \sqrt{a_M^2 + b_M^2}$

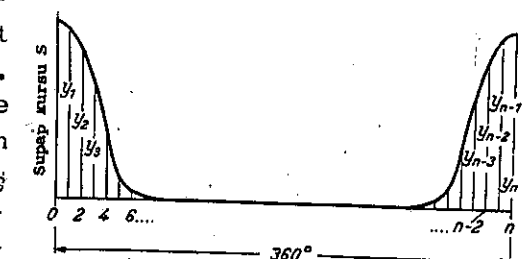
bağıntısından aranılan c_M değerleri elde edilir. Supap hareket diyagramı Şek.61 e göre çizildiğinde b_M değerleri sıfır ve $c_M = a_M$ olur.

Supap yayının rezonans haline geldiği eksantrik mili devri n_N :

$$n_N = \frac{n_e}{\lambda} \cdot \lambda \text{ dir.}$$

$\frac{\tau'_{\omega}}{\tau'_{\omega}}$ oranını hesaplamak için, rezonans devir sayılarına ait c_M - değerleri formül (72) içine konulur.

Titreşim hesabında, gerçek supap hareketinin hesaplanan değerle aynı çizgide olduğu varsayılmıştır. Fakat gerçekte böyle değildir. BROSIŃSKY 47 denemelerinde titreşim ikazında, supapın kalkma ve oturmadaki vuruşlarının oldukça etkili olduğunu tesbit etmiştir. Yine supap boşluğu da titreşim durumuna tesir eder. Bu nedenlerle yay titreşimle



Şekil.61: Harmonik analiz için kam itmesinin taksimı

rinin yeniden hesabı nadiren uygulanır. Pratikte genellikle işletme devir sayısı üzerinde stroboskop ile supap yayını gözetlenir. Güçlü sapmalar görüldüğünde, yayın kendi titreşim sayısı değiştirilir, gerektiğinde birkaç yay öngörülerek taksim edilmiş olur.

2.33 SUPAP, SUPAP HAREKET YATAĞI, ve SUPAP YUVASI

Bilhassa eksoz supapı termik, mekanik ve kimyasal yönden çok zorlanan bir motor elemanı olmasına rağmen kusursuz olarak uzun süre çalışması hayret vericidir. Emme supapı 300 ile 500°C ve eksoz supapı da 600 ile 800°C arasında ısı derecesine ulaşırlar. Tamamen supap boşluğununa mani olunmadığından supapın yuvasına oturması anında devamlı darbeler meydana gelir. Vuruntuya karşı mukavemetini artırmak için yakıt içine konan kimyasal maddelerden(mesela, kurşun-tetra etil)kimyasal yönden supap üzerine etki eder. Böylece sıcak korozyon meydana gelir, ve çizikler ve oyuklar ortaya çıkar. Dolayısıyle malzemenin mukavemetide azalmış olur.

Supap büyük yüzeyi ile yanma odasından ısıyı alır ve bu nü supap şaftı ve supap yuvası üzerinden tekrar aktarır. Eğer supap yuvası yanma neticesinde herhangi bir gaz kaçırması yapıyorsa, çok çabuk yüksek ısı meydana gelir ve supap yanar. Supap yuvasının iyi bir şekilde soğutulmasına supap şaftı tarafından ısının iletilmesinin uygun oluşuna, ve supap hareket yatağı malzemesinin iyi ısı geçirgen malzemeden seçilmiş olmasına ve bunun da iyi soğutulmasına konstrktör bilhassa dikkat etmelidir.

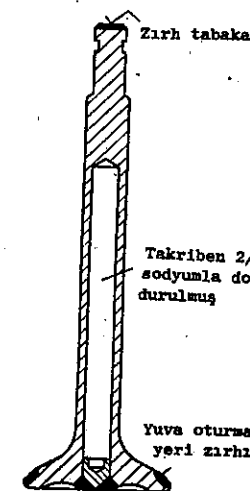
2.331 Supap:

Supapın malzemesi ısuya karşı çok dayanıklı olmalı ve pul meydana getirmemelidir. Supaplar için özel çelikler geliştirilmiştir. (Tablo 2). Yüksek güçlü motorlarda eksoz supapın yuva kısmı genellikle özel dayanıklı malzemelerle pekleştirilir.(b.Şek.62). Bu malzeme takriben %60 Ni ve %15Cr. ihtiva eder,(önceleri Stelit diye adlandırılmıştı). Yuvasına bağlantısı kaynakla yapılmıştır, fakat farklı ısı genleşme değerlerinden dolayı güçlükler meydana gelebilir. Yüksek ısuya mukavim supap malzemesi $19 \cdot 10^{-6}$ ($1/{}^{\circ}\text{C}$)a kadar

erişebilir. Buna karşılık supap yuva zırh malzemesi $12 \div 13 \cdot 10^{-6}$ [$1/{}^{\circ}\text{C}$] a erişebilir. 81

Tablo 2: Supap malzemeleri

DIN 17006 ya göre ifade edilisi	kimyasal bileşimi % olarak	Tavlanmış			Sertleş- tirilmiş saftın daki Rockwell sertliği HRC	Kullanma sahası
		Çekme mukavemeti σ_B kg/mm ²	Akma genliği σ_s kg/mm ²	Kopma genliği δ_e %		
41 Cr4	C 0,38-0,44 Cr 0,9-1,2 Si 0,15-0,35 Mn 0,5-0,8 P und S je >0,035	90-105	>70	>10	47-55	Emme supapları
X 45 SiCr4	C 0,4-0,5 Cr 2,5-2,8 Si 3,8-4,2 Mn 0,3-0,6	90-105	>70	>14	47-55	Yüksek ısı dayanıklı ve kabuksuz Orta dereceli Zorlanmalı eksoz supapları
X 45 CrSi9	C 0,4-0,5 Cr 8,5-9,5 Si 2,8-3,3 Mn 0,3-0,6	90-105	>70	>14	47-55	Hoch beanspruchte Auslaßventile
X 45 CrNiW189	C 0,4-0,5 Cr 17-19 Si 2-3 Ni 8-10 Mn 0,8-1,5 W 0,8-1,2	80-100	>40	>25	Sertleş- tirilemez	En yüksek ısuya dayanıklı ve kabuk yapmaz En yüksek zorlanmalı eksoz supapları



Şekil.62: Yuva oturma yeri
zırhannis ve içten soğutmalı
supap

Uçak motorlarında, bu zırhlamanın hâlinde tüm supap tabağı Cr-veya Cr-Ni-ala simla kaplanır. Böylece gizgi teşekkülü, dolayısıyle fazla ısı çekmesi ve çatlama tehlikesi azaltılmış olur.

Supap tabağının şafta doğru ısı akışını daha uygun hale getirmek için, eksoz supapında içi boş şaft veya tabağın içi metalik sodyum ile doldurulur.(b.Şek.62) Sodyum buharlaşır ve ısını supap tabaklarından uzaklaştırır. Zeyns(5)in yaptığı ölçülere göre böylece şaftın soğutulması yeterlidir. Tabak kısmı için imalat zorluğu olduğu gibi tesiride aynı derece de etkili değildir. Optimum dolgu miktarı takriben boş hacmin beşte ikisidir. Seri bir imalatta, sodyum doldurulması ön-

görülebilecek en küçük şaft çapı takriben 12mm. dir. Buna göre iç delik çapı ise 8mm. olarak yapılabilir. Şaftının dolgu maddesiyle doldurulması ile en yüksek supap ı̇sısı derecesinin düşmesi 100°C a kadar yaklaşır. Emme supapında metalik sodyum ile doldurulması, sadece mukavemetin artacağı için değil, içeri akan taze gazların ı̇sinmasını azaltması yönünden de faydalı olabilir.

Supapta meydana gelen kusurlar supapın yataktaki hareketinin zorlaşmasına şebe olur. Yağ, supap yatağının supap tabağına doğru olan kısmında kok haline gelir ve böylece supap hareket edemiyerek durur. Buna meydan vermemek için, supap yatağı, onde bulunmamalıdır ve böylece dışardan da ısı alabilmelidir. Ayrıca farklı şekillerde de supap tabağına doğru hareket yatağı hafif konik olarak genişletilmiştir. Supap şaftının sert kromla kaplanması çok iyi neticeler vermiştir. Sert kromla kaplı tabaka üzerine kok yapmış yağ iyi tutunamamaktadır.

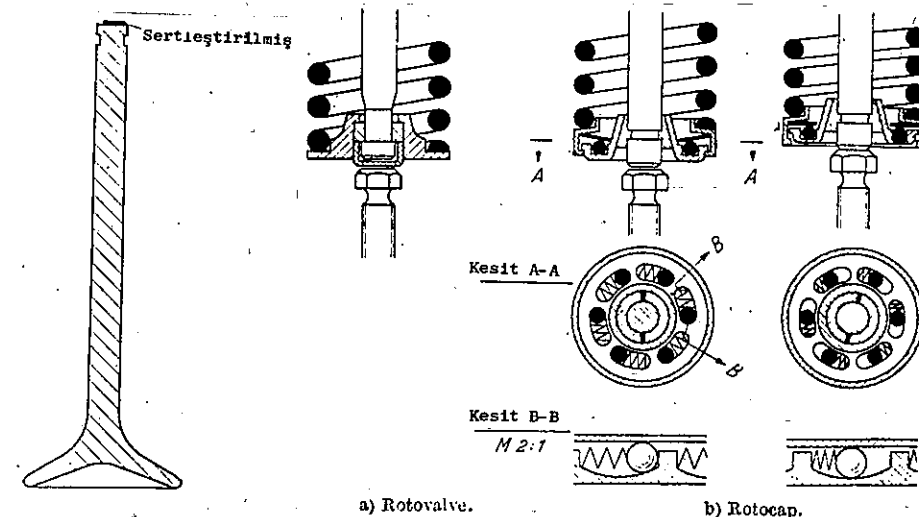
Bilhassa emme supapının supap tabağı çok defa lale şeklinde şekillendirilmiştir. (b.Şek.63). Böylece supap hafif ve elastiktir. Fakat burada meydana gelen büyük sıvı量inden ısı çekişti daha büyük olacağından, çukur kısmın çok derin olmamasına ve dolayısıyla sathın artmamasına dikkat edilmelidir.

Şaftın sonunda bir sertleştirme gereklidir, çünkü hareket aktarma vuruşu buradan olmaktadır. Her supap malzemesi gerekliliği vermediginden, supap malzemesi bazen bu sertlik nedeniyle tesir altında kalır. Bu yüzden supap malzemesi seçimine dikkat edilmelidir. (b.Tablo 2). Zırhlı supaplarda sert malzeme bağlantı kaynakla yapılır. (b.Ş.62)

Yay tabağının tesbiti için şaft üzerinde genellikle iki yarımla kama kullanılır. Bu kamalar ya şaftın kanalı içinden tutunurlar veya konik olarak tutunurlar. Bazen bir tarafı açık halkalarda kullanılır. Supapın bu kama yeri nedeniyle mukavemeti azaltılmış olmasına rağmen bu yerde hemen hemen hiç kırılma olmamaktadır. Yüksek ı̇sından dolayı meydana gelen mukavemet azalmasının ortaya koyduğu en zayıf yer supap tabağının şafta geçiş noktasıdır.

Supapa bir dönme imkanı vermek ve böylece bilhassa tabak kısmın çok ı̇sinmiş yerlerinin yer değiştirmesini sağlaması, Amerikan supap döndürme aparatı endüstrisi tarafından

dan geliştirilmiştir. (b.Şek.64). Şek. 64 a daki uygulamada uygulamada: Rotovalve tarafından yükte önce küçük baş-



Şekil.63: Lale şeklinde supap

a) Rotovalve.

Şekil.64: Supap döndürme tertibatı

b) Rotocap.

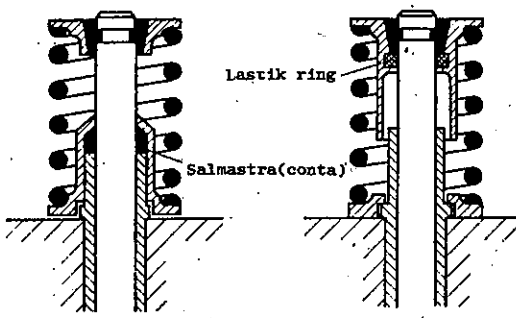
lik hareket eder ve o, supap'a göre küçük bir boşluğu sahiptir. Küçük başlık, tutucu eleman(kamalar veya tek taraflı açık halkalar) üzerinden yay tabağını kaldırır ve supap kısa bir süre için serbesttir. Supap yayı müsterek sıkıştırmada serbest olan uçta bir dönme hareketi yaptığından, supapta böylece dönmeye başlar. Bu hareket zoraki değil yavaş yavaş olmaktadır. Aktarma elemanlarının yerlerini değiştirmeleri gürültüye sebebiyet verdiğinden bu husus bir mahzur olarak değerlendirilir.

Zoraki döndürme hareketi Şekil 64b de görülen Rotocap uygulamasında meydana gelir. Burada yay tabağı içérisine özel bir döndürme mekanizması öngörülmüştür. Bir halka yay ve çevrede yerleştirilen spiral yaylar, eğik bir hat üzerinde kayan bilyalar üzerinden üst yay tabağını kaldırır. Yük altında halka ve spiral yaylar birlikte basılır ve alt yay tabağı supapla beraber dönmeye başlar, çünkü bilyalar, eğik hat boyunca hareket etmektedirler.

Amerikan teknik dergilerinde supap döndürmenin faydası çok önemli olarak nitelendirilmişsede, bunun ispatını gelecekteki uygulamar gösterecektir.

2.332 Supap hareket yatağı

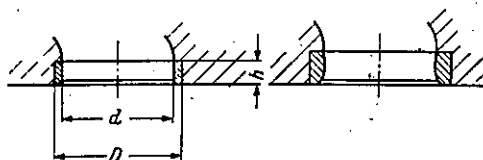
Orta derecede yüklü motorlarda supap yatağı malzemesi, gri pikten ve yüksek güçlü motorlarda ısı geçirme katsayıısı yüksek olan malzemeden, mesela Kuprodur veya daha iyisi Thermohedul'dan imal edilir. Daha önce izah edildiği gibi, eksoz supapı hareket yatağı, dışarıdan daha fazla ısı çekmesine meydan vermemek için eksoz kanalının içine girecek şekilde durmamalıdır. Diğer taraftan da supap tabagına göre oldukça uzakta bulunmalıdır. Bu şekilde supap ısı derecesi azaltılmış olur. Eksoz kanalının belirli bir ölçüde daralması beklenbilir. Supap yatağı, gövde içinde ısını tekrar iletmek, gövde içerisinde soğutma sıvısını iyi bir şekilde



Şekil.65: Supapın contalanması

supap yatağı yakınına getirmek için sabit bir yere sahip olmalıdır. Uçak motorlarında soğutma sıvısı silindir kafasındaki delikleri bu bölgelere açmak suretiyle supap yatağı yanına kadar getirilmiştir. Supap hareket yatağının gaz kaçırılmazlığı pek tabi hatasız olmalıdır.

Araç motorlarında yatak içerisinde supap şaftının boşluğu: emme supaplari için takriben $0,03 \pm 0,05$ mm., eksoz supaplari için takriben $0,05 \pm 0,07$ mm. olmalıdır. Boşluğun da büyük olması halinde yağ sarfiyatı yüksek, röllanti çal-



a)Pik gövde için özel
dökümünden supap yuvası b)Hafif metal gövde için özel
bronzdan supap yuvası

Şekil.66: Supap yuva bilezikleri

ışması kötü ve gürültü lüdür. Supap yatağının, ısı genleşme değeri, gödenin ısı genleşme değerinden farklı ise bu hususta nazarı dikkate alınmalıdır.

Supap hareket yatağı supap sahasını (hacmini) emme ve eksoz kanallarına karşı, hem yağ sarfiyatı, hem yağ kalıntısı yönünden ve hemde kokuya meydan vermemesi için conta vazifesini görmelidir. Eğer supap gevresi çok yağ iktiva ediyor-

sa, vazifesini yerine getirmemiş demektir. Bu durumda contalama tesirinden istifade edilir. (b.Şek.65).

2.333 Supap yuvası

Supap yuvasının mukavemetini yükseltmek, yani ömrünü uzatmak için, pik gövdelerde, benzin motorlarının eksoz supaplarında genellikle aşınmaya karşı mukavemeti yüksek özel pikten supap yuva bilezikleri kullanılır. (b.Şek.66a). Supap yuva bileziklerinin et kalınlıkları en azından $0,8 \pm 0,1$ d olmalıdır ve takriben $0,003$ D lik fazlalıkla yuvasına preslenmiştir. Örtmenin yüksek olması mahzurludur, çünkü yuva bileziği akma sınırı üzerinde şekil değiştirmiş olacağından, yuvasına sıkıca oturmamış olur. O halde örtme fazlalığı elastikiyet alanı içinde bulunmalıdır. Montajda, yuva bilezikleri, yerine kolayca girmesi için genellikle fazlaca soğutulur. Bileziklerin yükseklikleri imkan nisbetinde takriben $0,25$ d olmalıdır. Çünkü yüksekliğin küçük olması halinde ısı iletmesi uygun olmamıştır. Dizel motorlarında, eksoz ısısı nisbeten daha az olduğundan genel olarak supap yuvası bileziği bulunmayabilir. Sadece tamirat ta ona ihtiyaç duyulur.

Eğer supap yuvasının bulunduğu gövde hafif metalden ise bu takdirde yuva bileziği muhakkak konulmalıdır. Malzemesi de o şekilde seçilirki, ısı genleşme değeri bakımından hafif metalinkine çok yakın bulunur. Özel bronz supap yuvaları iyi netice vermiştir. Piyasada kolayca bulunur. Bilezikler et kalınlıkları yönündenince seçilemezler. En azından $0,1$ d olması tavsiye edilir. (b.Şek.66b). Daha büyük kalınlıklarında çap fazlalığı gri pik gövdeli bileziklere nazarın biraz daha büyük seçilebilir. Böylece çaplarda ve bilhassa hava soğutmalı motorlarda bilezikler çok defa büzülme gerilimi altında bağlanır. (b.Şek.25),

Supap yuvasının contalama yüzeylerinin genişliği çok büyük olmamalıdır. Dar yüzeyler daha iyi contalama yapar. Yeni durumda takriben $1,5$ mm. olabilir. Çalışmakla ve sonrasında yapılan yuva, çok kısa sonra daha geniş hale gelir.

2.34 EKSANTRİK MİLİ VE AKTARMA ELEMANLARI

Eksantrik mili ve aktarma elemanları üzerine, aşağıdaki şu kuvvetler tesir eder:

1. Darbe(itme) kuvveti: $S_N = v_N \sqrt{m_N c_N}$ (b. Kısım 2.111) (73)

: v_N = Boşluğun geçilmesinden sonra kam üzerindeki hız.

: m_N = Kam üzerine aktarılmış hareketli küteler.

$$\therefore m_N = m_1 + m_2 + \left(\frac{\ell_2}{\ell_1}\right)^2 m_3 + \frac{J_a}{\ell_1^2} \quad (\text{b. Formül (63)})$$

Kısım 2.32)

: c_N = Kumanda sisteminin yay sabitesi, (kamda ölçülen).

Önceden itme kuvveti tesbit edilemez, çünkü kumanda sisteminin elastikiyeti belli değildir ve dolayısıyla de hesaplanamaz. Bu yüzden genellikle sadece diğer kuvvetlerle hesap yapılır. Eğer darbe bir ön kam tarafından yapılsrsa, darbe kuvveti hızlanma ile kam yan yüzü üzerinde meydana gelen kuvvetlerle çakışmaz. Dolayısıyla darbe kuvveti nazarı dikkate alınmayabilir.

2. İvme kuvvetleri:

$$B_N = m_N \cdot b_N, \quad (74)$$

b_N = Kamdaki ivme (ivme diyagramından alınır)

3. Yay kuvveti:

Yay kuvveti P_F yay diyagramından elde edilir. (b. Kısım 2.32)

Kam üzerindeki kam kuvveti:

$$P_{FN} = \frac{\ell_2}{\ell_1} \cdot P_F \quad \text{dir.} \quad (75)$$

4. Gaz kuvveti:

Gaz kuvveti G , sadece eksoz supapı için ve açılma başlangıcında dikkate alınabilir ve değeri:

$$G = \frac{\pi \cdot D^2}{4} p_A, \quad \text{dir.}$$

Kamdaki Gaz kuvveti: $G_N = \frac{\ell_2}{\ell_1} \cdot G, \quad (76)$

D_V = En büyük supap çapı

p_A = Açılma başında silindir içindeki basıncı, (kumanda zamanlarına göre bu değer 4 ile 8 arasında değişir).

Her bir imalat elemanın zorlanma yükleri bilinen mukavemet hesap formüllerine göre yapılır. İncelenen yere bağlı olarak o yerde tesir eden kütle ve kuvvetlerin değerleri formüle konularak değerler bulunur. Burada bilhassa kamalar ve iticiler, roleler ve itme temas eğri yüzeylerinin yüzeysel birim pres değerleri önem taşır. Temas yerindeki kayma gerilmesi HERTZ tarafından çıkarılan aşağıdaki formüle göre hesaplanır:

$$T = 0,125 \sqrt{\frac{P \cdot E_1 \cdot E_2 \left(\frac{1}{r_1} + \frac{1}{r_2} \right)}{(E_1 + E_2) b}} \quad \text{dir.} \quad (77)$$

Burada:

P = İncelenen yerdeki tesir eden kuvvetlerin toplamı,

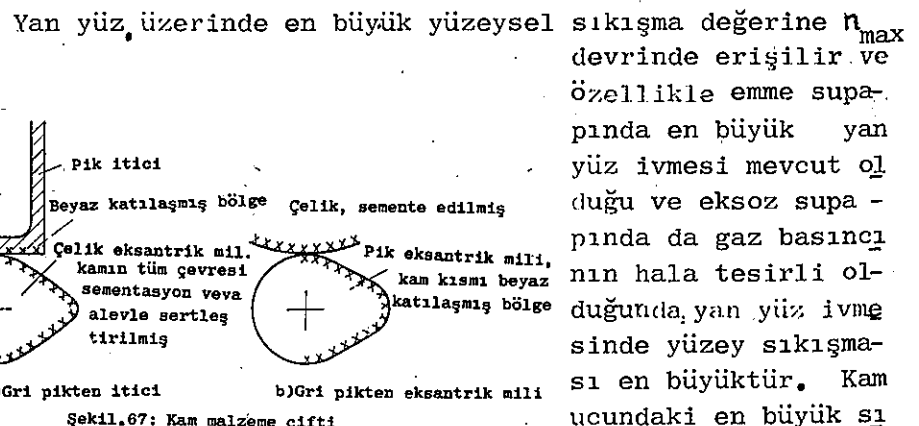
E_1 = Kam malzemesinin esneme(elastikiyet)modulu,

E_2 = Karşı eleman malzemesinin esneme modulu,

b = Taşıyıcı genişlik,

r_1 = İncelenen yerdeki kamın eğrilik yarıçapı,

r_2 = Karşı elemanın eğrilik yarıçapı.



kışma tesiri de röllantide çalışırken en büyük kurs boyunda meydana gelirler.

İticinin veya külbüörün gerekli eğrilik uzunluğu en uygun olarak çizim yaparak ve en uzak kam temas noktaları aranarak tesbit edilir. Doğru hareketli iticilerde bu noktalar yan yüzden, uç kışma geçişin hemen önünde veya yakınındadır.

Yüklü durumda parçalar büyük bir hızla birbiri üzerinde kayma yaptıklarından müsterek kayma hareketi uygun düşen malzemelerin seçilmesi gereklidir. Malzeme çifti olarak sertleştirilmiş çelik beyaz katılıtırılmış pık bilhassa uygun düşer. Direk iticinin öngörülmesi halinde, itici pikten imal edilir. Çelik malzemeden eksantrik mili ise alevle veya semente ile sertleştirilmiştir. (b.Şek.67a). Eğer bir külbüörün çelikten olması ve eksantrik mili ile direk irritibatının bulunması istenirse, eksantrik mili pikten imal edilebilir. (b.Şek.67b). Döküm esnasında çabuk soğutmayı temin için belirli ölçülerde kokillerin konulmasıyla sert bölge dar olarak sınırlanmış ve sertleştirme derinliği kontrol altına alınmış olur. Kolların hareketli yüzeylerinin sert kromla kaplanması olması hareket özelliklerinin daha iyi hale getirilmesinde iyi bir etken olur. Yarış arabaları motorlarında olduğu gibi burada yüksek zorlanmalar mevzu bahis olduğundan, külbüör içine çok sert plakalar koyalabilir. Yüzeyleri sertleştirilmiş çelik eksantrik milerin hareket özellikleri çok iyidir.

Yağlamanın hatasız olmasına büyük itina göstermek gereklidir. Kafı miktarda yağlama yağı mevcut olmadığından, eksantrik milinin yatak yerlerine yağ, ya eksantrik milinin içi boş kanalı içerisinde veya külbüör üzerinden temas yüzeylerine püskürtülmüş olur.

Kam üzerinde tesir eden kuvvetler ve kuvvet kolları devamlı değiştiğinden, eksantrik milinin dönme momenti de çok değişir. Aktarma elemanlarının yarıçapları ne kadar değişirse, daire yaylı kamlarda, dönme momentleri de o kadar küçük olur. Düz ivmeli kamlar burada da avantajlıdır. (b. Şek.49). Çünkü harekette sıçramalar kaybolur ve maksimum değerler küçülür.

Eksantrik milinin yatakları, elektron bilezikleri veya direkt olarak taşıyıcı elemanın hafif metali içindedir. Tit-

reşimli külbüör yatağının yağlanması için püskürtme yoluyla yağlama kafi gelirken, ortadan mesnetli külbüörün yatağının, genellikle basınçlı yağ ile yağlanması gereklidir.

Tablo 3. Kullanılan supap kumanda değerleri

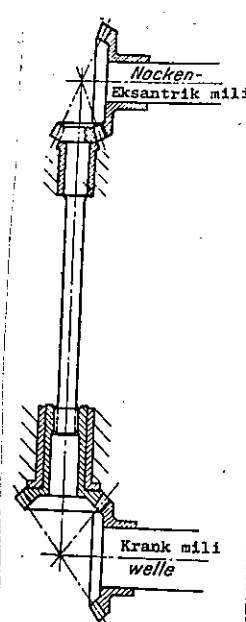
	Altta supaplar Sekil 16 daki gibi	İtme grubuklu eğik üstten supaplar (Şek. 21 deki gibi)	Titregim kilbüör törlü üstten eksant rik mili (Şek.24 gibi)	4 supaplı ve üstten eksantrik mili ya rig motoru (Şek.26 daki gibi)
İç supap çapı mm	E A 31 29	E A 44 36	E A 44 36	E A 24 24
Açı 0	E A 60,3° 60,3°	E A 66° 66°	E A 62,5° 60,5°	E A 71,5° 63,5°
Max. Supap kursu mm	E A 8,3 8,3	E A 7,6 7,4	E A 9,0 7,8	E A 7,4 6,4
Supap üzerine aktarılmış g	E A 250 250	E A 350 480	E A 280 280	E A 170 170
Max. Eksantrik mili devir adedi d/dak		E A 2100 2500	E A 2500	E A 4500
Yan yüzdeki Max. ivme m/s²	E A 3800 3800	E A 1700 2200	E A 3200 3200	E A 15000 17000
Kam ucundaki Max. Yavaşlama m/s²	E A 1000 1000	E A 1300 1100	E A 1700 1400	E A 3700 3700
Kam yan yüzeyinde Max. Yüzeysel presleme kg/cm²	E A 550 600	E A 1200 1000	E A 1200 1100	E A 1500 1700
Kam içindeki Yüzeysel presleme kg/cm²	E A 1700 1700	E A 1700 1700	E A 1800 1600	E A 1800 1800
Supap yayı ön gerilimi kg	E A 17 17	E A 41 41	E A 40 40	E A 31 31
Max. Yay kuvveti kg	E A 38 38	E A 66 66	E A 77 71	E A 92 84
Supap kumandasının Yay sabitesi kg/mm	E A 5000 5000	E A 250 300	E A 1000 2500	E A 2000 1400

2.4 EKSANTRİK MİLİ ÇEVİRİM DÜZENİ

Eksantrik mili çevirim düzeni supap kumanda tipini tayin eder, günümüz çevirim düzeni, motorun işletme emniyeti, gürültüsü ve maliyetine kuvvetle etki eder.

2.41 Alın dişli tahrik düzeni

Altta eksantrik milli motorlarda eğik alın dişlileri kullanılır. Eğer motorun gürültüsüz çalışmasına çok önem



verilirse, eksantrik mili dişlisi presli malzemeden (Novotex, Resitex, vs.) imal edilir. Bu çevrim düzeni ancak çok sınırlı gücün aktarılmasına imkan verir.. ve eksantrik milinin dönme momentinin çok değişken olması nedeniyle çok kısa işletme sürelerine erişilir.

Yarış arabalarında eksantrik milinin çevrimi kısa mesafeden dolayı çoğu zaman ince çelik dişli üzerinden sağlanır. Krank milin üstte bulunan eksantrik miline olan mesafenin büyük oluşu birçok ara dişlisi gerektirir. Gürültü oldukça fazla olmasına rağmen burada pek önemli degildir.

2.42 Konik, sonsuz dişli ve spiral dişli çevrim düzeni

Şekil.68: Konik çevrim düzene
Üstte bulunan eksantrik mili düşey bir mil farafından döndürülür. Bu düşey mil, hem krank mili ve hemde eksantrik mili tarafında birer konik dişli, sonsuz dişli veya spiral dişli çifti ne sahiptir. (b. Şek.68). Bu çözüm şekli çok pahalıdır. Konik dişli tahrik şekli sadece yarış motoru ve uçağın motorlarında uygulama sahası bulur. Gürültünün çok az olması arzu edildiği takdirde, diş arası boşluklarının çok hassas olması ve bu ayar içinde yetişmiş personel gereklidir. Sonsuz dişli ve spiral dişlilerinin randımanı iyi degildir, ve aşınmada çok fazla olduğundan bugün artık hiç kullanılmamaktadır.

2.43 Zincirli çevrim düzeni

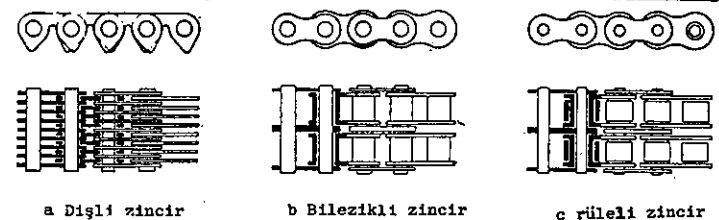
Eksantrik mili çevriminin zincirle sağlanması gittikçe yaygınlaşmaktadır. Böylece büyük mil aralıklarının bağlanması çok basit olarak sağlandığı gibi, birçok mil de bir zincir tarafından da tahrik edilebilir. Zincir germe dönemin kullanılması halinde, mil eksen mesafelerinin tolerans değerleri mühim degildir. Zincir germe tertibatının öngörülmesi bithassa, miller değişik gövdeler içinde bulunurlar ve gövdeler birbirine esneme yapabilecek şekilde bağlanımlarsa önem taşır. Üstten eksantrik milli seri imalat

ottomobil motorlarında sadece zincirli tahrik düzeneinin kullanılması gerektiği söylenebilir. Zincir sistemi hemen hemen gürültüsüz olarak çok büyük güçleri aktarabilir ve kullanılma ömründe presle imal edilen dişlilere nazaran birkaç misli daha fazladır. Zincir gerilimi daima uygun değerde tutulduğu ve zincir titreşimlerine meydan verilmemiği anı ancak bu öneri doğrudur.

2.431 Zincir tipleri

Eksantrik mili çevrim düzene için dişli zincirler, bilezikli zincirler ve ruleli zincirler kullanılmaktadır. (b. Şek.69). Dişli zincirler eksantrik mili alta bulunan Amerikan motorlarında sıkça kullanılmaktadır. Fakat daha hafif ve daha ucuz olan ruleli zincirler gittikçe onların yerlerini almaktadırlar. Bilezikli zincirler ruleli zincirlere nazaran daha büyük kopma mukavemetine sahiptirler, çünkü mil uçları ve bilezikler daha kuvvetli olabilirler. Fakat ruleli zincirlerin ruleleri, zincir dişlileri üzerinde daha gürültüsüz hareket ettikleri için, bunlar genellikle daha tercih edilmektedir.

Sadece motosiklet motorlarında basit ruleli zincirler kullanılmaktadır. (b. Şek.22). Araba motorlarında ise daha ziyade 3/8" Duplex ruleli zincirler öngörmüştür. Zincir dişlisiinin diş adedi 20'nin altında olmamalıdır, çünkü zincirin hareketi düzgün olmaz ve gürültü meydana getirebilir.



Şekil.69: Zincir tipleri

Zincir dişlileri malzemesi olarak akla sertleştirilmeli çelik veya pik demir gelir. Bazı özel hallerde, hatta hafif metalden dişliler kullanılmaktadır. DIN 73233'e göre normalleştirilen diş profili iyi ve sessiz hareket eder. Bu dişliler darbeli veya yuvarlanma metodıyla imal edilirler. Genel olarak gövde içinde bulunan püskürtme yağı, yağlamak için yeterlidir. Buna ilave olarak zincirin zincir dişlisi

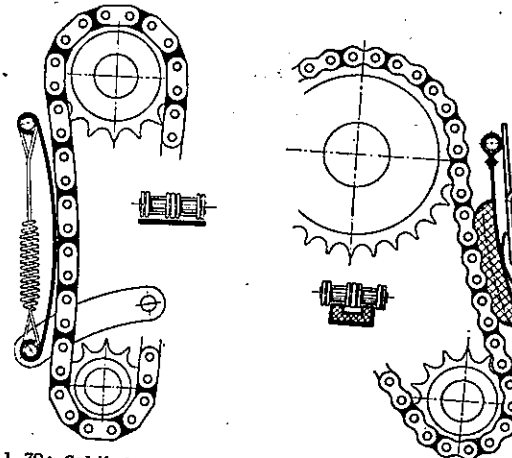
üzerinde hareket ettiği yerlere küçük deliklerden yağ püskürtülebilir. Dıştan yağlamadan hiçbir etkisi yoktur. Çünkü yağ santrifuj kuvvetlerin tesiri ile etrafa dağılırlar.

2.432 Zincir gerilimi

Sadece kısa zincir çevrim düzenlerinde fiazi yönünden zincir germe düzeni kullanılmaz. Fakat burada da belirli bir çalışma süresinden sonra öngörülen değerden daha fazla gürültülü çalışmaya başlama tehlikesi vardır. Zincirler ilk zamanlarda büyük bir aşınma ve sonraları sadece yavaş yavaş uzama gösterdikleri için, biraz alıstırılmış zincirler kullanılır.

Gövde bloku imalatında delik eksenlerinin birbirine olan mesafelerinin tolerans sapmalarını dengeye getirmek için zincirler, çok az değişen farklı taksimatlarda imal edilirler ve eksen mesafelerinin sapma değerine uygun olarak seçimleri yapılır.

Eğer zincir germe düzeni kullanılmışsa, uzun bir işletme süresinden sonra da zincir çevrim düzeni gürültüsüz çalışır. Kısa zincirler daha ekonomiktir, çünkü imalatı ucuz olduğu gibi, çok değişik zincir yedeği bulundurma gereğide pek yoktur. Şekil 70 de zincir yüzeyine yay kuvveti ile bastırılan çelik band görülmektedir. Bunun bir ucu sabit, diğer ucu titreşimli olarak yataklanmış ve bir yay vasıtıyla gerilmiştir. Zincir eklemlerinin çelik bandı aşınmadırmaması için, eklemler (kuşaklar) kenar kısımlarından düz ve taşlanmıştır. Çelik band yerine sertleştirilmiş çelik kızak da kullanılabilir. Fakat bu çözüm yolu pahalı ve sistem ağırdır. Şekil 71 de görülen (Daimler-Benz) zincir germe düzeni çok tutunmuştur. Burada gerdİRME dişli çelik band üzerine, yağıdan etkilenmeyen vulkanize lastik profili kullanılmıştır. Ruleler, lastik üzerinde döndükleri için sadece ru-

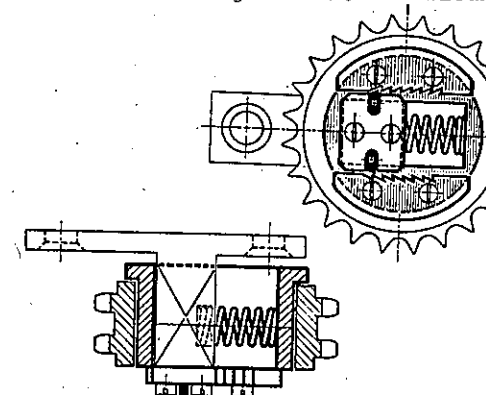


Şekil.70: Çelik band basıncılı
zincir gericisi Şekil.71: Lastik profil
basıncılı zincir gericisi

lelerin temas edebileceği ve aşınmanın çok az olmasını sağlayacak şekilde lastik profiller kullanılmıştır.

Uzun zincirlerde zincir gerilimi için genellikle yüksüz zincir kolonu içinde bir gerdİRME dişlişi kullanılır. Bu dişli imkan dahilinde, iyi bir zincir dişli sarım açısı meydana getirmesi için uygun bir şekilde yerleştirilmeli dir. GerdİRME dişlisinin ayarı elle yapılır. Fakat bu ayarın yetişmiş elemanlarca yapılması gereklidir. GerdİRME dişlisinin bir yay vasıtasiyle gerdİRİLMESİ mümkündür. Ama bu oldukça yüksek yay kuvvetleri gerektirir. Aksi takdirde zincir titreşimleri daha yüksek değerlere ulaşır. Zincir gerilmesinin fazla oluşu, çalışmada zincirin ses çıkarmasına sebep olur. Bunun neticesi olarak da zincir bileziği ile pim arasında, yağ film teşekkülü mümkün olamaz.

Zinciri az bir yay kuvveti ile geren otomatik zincir gericisi, İngiliz Zincir Firması Renold tarafından geliştirilmiştir. (b.Şek.72). GerdİRME dişlişi kaydırılabilen bir



Şekil.72: Renold-zincir gericisi

tır. Dışarıdan bir kol vasıtasiyle kilitleme tekrar ortadan kalkar. Bu zincir germe tertibatının mahzuru, bir defa paslandıktan sonra tekrar kendiliğinden eski haline gelmemesidir. Eğer zincir, motorun belirli bir işletme durumunda, mesela motor boşta iken gevşek ise, gerdİRİCİ devreye girdiğinde değişen işletme şartlarında çok gergin duruma gelebilir.

Bu mahzurlar Daimler-Benz'in yaptığı hidrolik germe tertibatında giderilmiştir. Burada gerdİRME dişlisinin geri gidişine(belirli esneme sınırları hariç) hidrolik yolla mani olunmuştur.(b.Şek.77).

2.433 Titresimin azaltılması

Eksantrik mili ve krank milinin düzgün olmayan hareketleri ile zincirin serbest bağlantısında titresimler meydana gelir. Tahrik eden zincir dişlisinin son dişinden tarike edilen dişlinin ilk dişine kadar her zincir parçası ayrı bir frekansa sahiptir. Mil eksen mesafesinin büyük olmasında titresim amplitudları (açılımları) da büyük olur. Dolayısıyla gürültüye ve aşınmaya sebebiyet verir, bu da milerin birbirine olan uygunluğunu bozar.

Şekil 73 de zincirin ana ve üst titresim şekli görülmektedir. Titreşebilen zincir parçalarının n_e =kendi titresim sayıları su formüle göre hesaplanır.

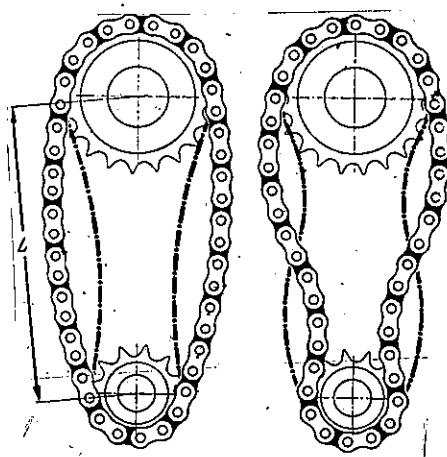
$$n_e = \frac{15,7}{L} \sqrt{\frac{P}{G}} \quad [s^{-1}] \quad (78)$$

L = cm cinsinden serbest zincir boyu

P = kg " zincir gerilimi

G' = Bir cm zincir boyunun ağırlığı.

Formülden de görüldüğü gibi, zincir gerilimi ve ağırlık sadece kök değeri ile tesir etmektedir. Zincirin çalışır kenses çıkarmasına meydan vermemek için zincir gerilimi gelişigüzel yükseltilemez. Devir sayısının artmasıyle gerilim değeri de kendilinden artar, çünkü merkez kaç kuvveti zinciri, zincir dişlerinden dışarı çıkartmaya çalışır. Bu nedenle yüksek devirlerde titresim pek gözükmez, fakat titresimler daha ziyade orta devirlerde meydana gelir. Merkez kaç kuvvetleri ve G ağırlığını küçük tutmak için, küçük ölçülerde zincirleri kullanmak ve büyük ölçülerden kaçınmak tavsiye edilir. Dişli zincirlerin ağırlıklarının fazla oluşu bir mahzur teşkil eder.



Şekil.73: Zincirin titresim şekilleri

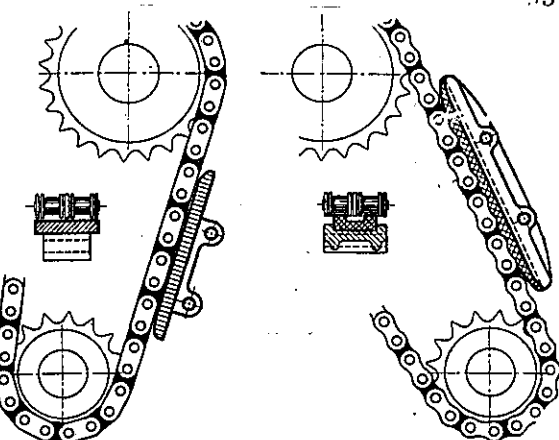
Zincir titresimlerini ataltmak için kısa zincirlerde Kısım 2.432 de izah edilen zincir germe düzenini uygulamak yeterlidir. Uzun zincir tiplerinde zincirden kısa mesafeler içinde bulunan kızaklar kullanılır. Onlar zincir titresim amplitudlarını azaltırlar ve titresim boyuna yayarlar (b.Şek.74). Sekilde sağda görülen vulkanize lastik profilli temas eden soldaki uygulamaya nazaran daha uygundur. Vulkanizeli lastik profilli uygulama şekli Daimler-Benz-Motorlarında başarıyla kullanılmaktadır. Böylece uzun bir çalışma süresinden sonra bile aşınma hemen görülmemiştir.

Denemeler, zincir kızaklarının çok kısa olmamaları gerektiğini ortaya koymuştur, çünkü arada kalan zincir parçaları kendi frekansları ile titremeye başlarlar.

2.434 Konstrüksiyon uygulamaları

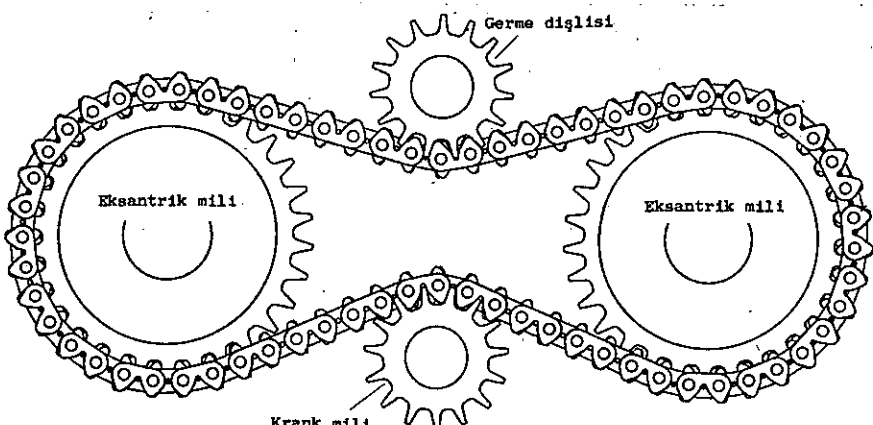
Birçok zincir tahrik sistemlerinden, özellik arzeden bazıları gösterildi ve izahları yapıldı.

Şekil 75 de, Lancia "Appia"-PKW-Motorunun dişli zincir çevriminin şeması görülmektedir. Bu motor, krank miline çok yakın bulunan iki eksantrik miline sahiptir. Eksantrik milerinin krank miline çok yakın olmaları nedeniyle ruleli zincir için gerekli diş adedi uygulanmayabilir ve dolayısıyle krank milî dişlisi için zincir sarılım açısı kafi derece olmayıabilir. Bunun için içe ve dışa doğru dişlere sahip, dişli zincir seçilmiştir. Eksantrik milî dişlileri için iyi sarılım açısı elde etmek için çok az iç dişler öngörülüştür. Büyük dişliler küçüklere nazaran daha incedir. Zincir gerilimi için, bir yay vasıtasiyle veya motor yağ basıncı ile bastırılan germe dişlisi vardır.

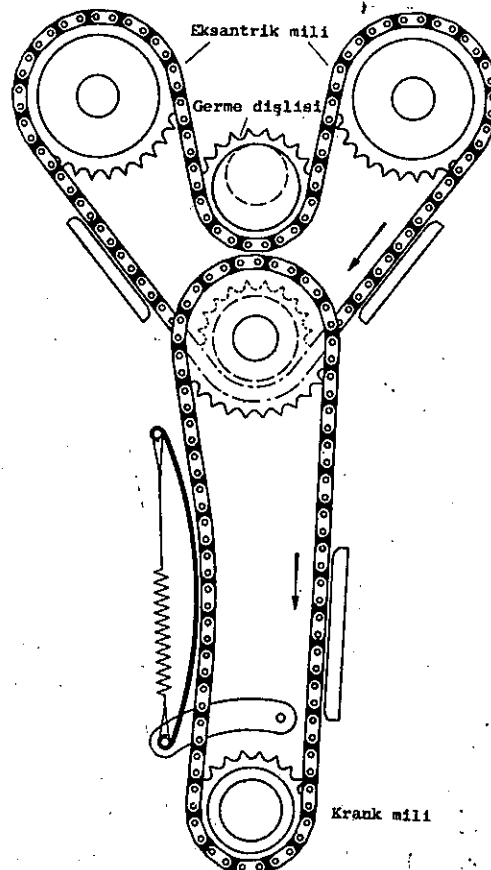


Şekil.74: Titresim susturucu

96 Şekil 76 da Jaguar-"XK120"-PKW-Motorunun ruleli zincir gevrim düzeni gösterilmiştir. Bu motor üstten iki eksantrik miline sahiptir. Burada iki zincir öngörülümüştür. Alt-



Şekil.75: Lancia-"Appia"-PKW-Motorunun zincir gevrim düzeni (Şematik)



Şekil.76: Jaguar-XK 120-PKW-Motorunun zincir gevrim düzeni

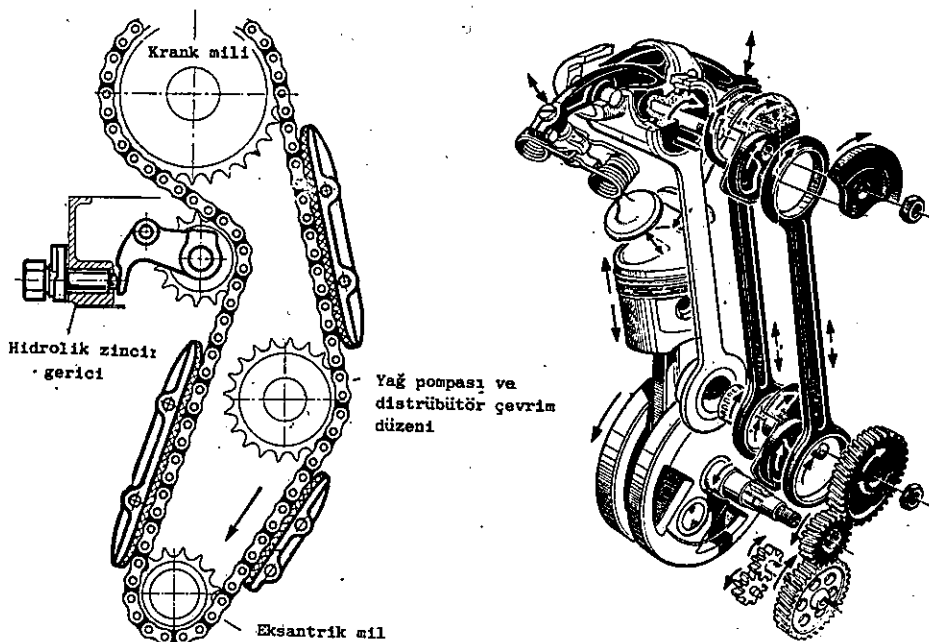
taki zincir bir çelik band ve üstteki bir Reynolds germe düzeni ile gerilmişlerdir. Titreşim yapabilen her zincir elemanları yanında küçük mesafelerde plastik kızaklar bulunur ve zincirde titreşimler meydana geldiği zaman, zincir eklemeleme teması ederek hareket ederler.

Şekil 77 de gösterilen Daimler-Benz "220"-PKW-Motorunun zincir gevrim düzeni çok basittir. Uzun bir zincir, yağ pompası ve distribütör ara gevrimi üzerinden üstte bulunan eksantrik milini tahrik eder. Zincir gerilimi, hidrolik germe

düzeni ile sağlanmıştır. Titreşimini azaltmak için üzerine lastik profil vulkanize edilmiş iki uzun ve bir kısa kızak öngörülümüştür. Germe dişisinin titreşim yönü, zincirin kayma kızagina olan mesafesi pratik olarak değizmeyecek şekilde bulunur.

2.44 İtme kolu hareket düzeni

NSU-"Max"-Motosiklet motorunda kullanılan üstte bulunan eksantrik milini itme kolu yardımıyla çeviren uygulama, Şek. 78 de gösterilmiştir. Krant milinden gevrim oranı 1:2 olan eğik alın dişliler üzerinden, ara mil çevrilir. Bu ara mil üzerinde birbirine göre 90° kaydırılmış iki Eksenter bulunmaktadır. İki itme çubuğu onun hareketini eksantrik mili üzerindeki aynı eksenter üzerine aktarırlar. Hareketli kütleler döner kütle olarak, karşı ağırlıkla tamamen dengeleştirilmiştir. Burada ağırlıklar aynı zamanda bir volan külesi gibi eksantrik milinin değişken dönme momentinin den-



Şekil.77: Daimler-Benz 220-PKW-Motorunun zincir gevrim düzeni (Şematik)

Şekil. 78: MSU-"Max"-Motosiklet motoru itme, çubuklu gevrim düzeni

98 geleşmesine de tesir ederler. İtici kol kurs boyu takriben 26 mm. dir.

İtici kollar ve silindirlerin ısı genleşmeleri farklı olduklarından-(Silindir kafası ve krank mili gövdesi hafif metalden)-sıkışmağara meydan vermemek için eksantrik mili çevreme sisteminde bir dengeleme öngörülmelidir.

NSU-Motorlarında genleşme farkları; külbütörlerle beraber eksantrik mili gövdesi, eksantrik mili eksenine göre e nine dönmesini temin edecek şekilde bağlamak ve sabit itme kolu yardımıyle krank mili gövdesi ile irtibat sağlamak suretiyle azaltılmaya çalışılır. İtme kolunun eksantrik mili gövdesi dönme eksenine mesafesi, dıştaki itme koluna olan mesafeden takriben 4 misli daha fazla olduğundan, genleşme farkı sadece dönme eksenindekinin dörtte biridir. Böylece eksantrik mili krank miline daima parel olmalıdır. Çünkü itme çubukları çok ince olduklarından, bu eğik vaziyeti taşıyabilirler. Dörtte bire indirgenmiş uzunluk farkı ile eğiklik, yatak boşlukları tarafından karşılanmalıdır.

Kinematik yönden tam bir denge eşitliğine; krank mili gövdesindeki ara mili, sabit olarak değil, krank mili eksenin ile dönme eksenin çakışan bir titreşim koluna yataklanmak suretiyle erişilir. Eksantrik mili, silindir kafası içinde sıkı bir şekilde yataklanmış olmalıdır. İçteki itme kolu titreşim elemanın yerini tayin eder. Meydana gelen genleşme farkından kumanda zamanlarında da çok az değişme olur; çünkü dişliler birbirini biraz döndürürler. Titreşim kolunun maliyeti, dönerli eksantrik mili yataklanmasından, daha yüksek olamaz. Bilhassa sıra silindirli motorlarda bu çözüm yolu tavsiye edilir, çünkü dengeleştirmeye silindir kafası içinde öngörülemez.

İtme kolu tahrik düzeninin faydalı yönü, daha sağlamdır ve alın veya konik dişli tahrik sistemlerine nazaran daha ucuzdur ve aynı zamanda daha gürültüsüz çalışır.

3. ŞİBERLİ-KUMANDA

3.1 Genel Açıklamalar

Şiberli kumandanın supaplı kumandaya nazaran birçok faydalı yönleri vardır. Motorların imaliyle beraber, bu çalışma sistemini uygulamak için deneme çalışmaları devamlı olarak sürdürülmektedir. Az miktarda şiber kumandalı mo-

99 torlar seri olarak imal edilmiştir. Bunların hemen hepsi düzgün hareket etmeyen bilezikli şiberlerdir, basit piston segmanları ile contalanabilirler. Bugünkü tecrübelerle döner şiberleri kusursuz olarak contalamak mümkündür.

Düzungün ve düzgün olmayan hareketli şiberlerin arasındaki fark ayırt edilmelidir. Düzgün şekilde hareket eden şiberlere "Döner Şiberler" denir. Ayrıca şiberin yanma odasını kapamış olması veya yanma odasının haricinde taze veya eksoz gaz kanallarına kumanda edeceği hususu önem taşır. (b.Şek.84). Burada genel olarak basit geçme kafi gelirken, yanma odasında en küçük sızıntı, kısa bir zaman içerisinde büyük zararlara sebebiyet verebilir. Isınmış gaz sızma yapan yerden çok büyük bir hızla kaçarken burada o kadar ısı bırakır ki, kaynakla yanmış gibi çok çabuk bir delik meydana getirir. Genellikle kaçak yeri motor gücü yönünden tanıtıcı bir etki yapmaz. Yanma odasını sadece geçme ile kapatan bir şiber, ısı genleşmeleri nedeniyle işletme yönünden emniyetli değildir, çünkü sızdırmazlık her işletme durumunda kusursuz değildir. Çok sayıdaki şiber kumandaların dan birçoğu tatmin edici sızdırmazlığa sahip olamamış ve çoğu bu yüzden daha başlangıçta uygulama bulamamıştır.

Şiber kumandasının diğer, fakat basit bir sorunuda yağlamadır. Yağın fazla olması yağı kömür artıkları bırakabileceğinden ekonomik bakımından mahzurludur. Yağ akışı o şekilde olmalıdır ki, sadece yağlama ve sızdırmazlığı temin etmek için gerekli olan yağ miktarı sevk edilmeli ve fazla yağ miktarından kaçınılmalıdır.

3.1.1 Contalama (Sızdırmazlık)

WANKEL tarafından, hareketli ve yüksek basınçlı gaz basıncına maruz makina elemanlarının sızdırmazlığı konusunda geniş araştırmalar yapılmıştır. Bu denemeler neticesinde elde edilen önemli bilgiler söylece özetlenebilir:

1. Yağ olmaksızın, duran ve hareketli yüzeyler arasında sızdırmazlık temini mümkün değildir. Basınç değeri çok yüksek olmamalıdır. Hareket için gerekli çevrim kuvvetleri emniyetli sınırı aşabilir.

2. İki yüzey arasında yağ bulunursa, çok küçük tahrik güçlerinde hatasız bir sızdırmazlık, contalanan hücrede

basınç değişse de mümkündür. Statik basınç altında yağ filmi, durumunu sabit tutamaz. Değişken basınç altında yağ zerreciklerinin birbirine sürtünmesi gerekli mukavemeti temin ederken, sabit basınç altında zerreçikler birbirine karşı kayarlar ve yağ filmi itilmiş olur.

3. Yüzeylerin birbiri üzerine baskısı, genellikle conta lanan oda içerisindeki basınç tarafından kumanda edilir.

4. Sızdırmazlık için ince segmanlar(contalar) çok uygundur, çünkü onların ısı genleşmeleri çok azdır ve kolay anlaşılır.

Darbeli yerler için gerekli itinanın gösterilmesi gerer ve dárbe yerinin üzeri kapatılmalıdır.

DVL nin de çalışmaları da şu önemli neticeleri ortaya çıkarmıştır.

5. Conta elemanlarının şiber üzerine mekanik yolla itilmesine genellikle gerek yoktur. Eğer conta elemanları montajda şibere dayandırılırlarsa, yağ filmi sayesinde bir birine o şekilde bağlanırlar ki, artık ayrılamazlar.

6. Conta elemanlarının boşlukları, oldukça büyük olmalıdır. Böylece şiberin hareketini iyi bir şekilde takip edebilmesi mümkün olsun.

7. Yuvarlak conta elemanlarının faydalı yönü işletme durumunda donebilmeleridir. Böylece lebleme tesiri yaparlar ve şiber yüzünü temizlerler. Meydana gelen yağ artığı kömür, meydana geliş anında kazınmış olur.

3.12 Yağlama

DVL(Alman hava taşıtları araştırma kurumu)nin araştırma larına göre şiber kumandası için gerekli yağlama miktarı oldukça azdır. Uçak motorlarında azami 1g/PSh gerekmektedir. Sevk edilen yağ, kaybolur ve motor yağ sistemine tekrar dönmez, Şiber kumandası motorun diğer yerlerine karşı sızdırmaz olmalıdır, aksi takdirde gaz kelebeğinin kapalı olması halinde alçak basınç nedeniyle silindir içerisindeinden

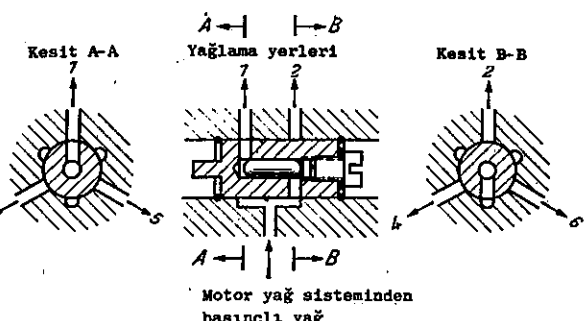
yağ emilir. Sevk edilen yağ miktarı motor devrine uygun olmalıdır. Böylece şiber gövdesi içindeki çok değişen temperatur ve basınçlardan mümkün olduğu kadar etkilenmemelidir.

Memeler ve dağıtım delikleri, uygun küçük ölçülerde seçilmedikleri takdirde kullanılamazlar.

Şekil 79 da görülen ve motor yağ sistemine irtibatlı olan dağıtma tertibatı çok kullanılmaktadır. Döner mil içerisinde, serbest hareketli iğneli yatak iğneleri bulunur. Yağlama sisteminin yağ basıncı, mil içerisinde bulunan enine deliklerin duruş vaziyetine göre iğneyi sola veya sağa doğru iter. Böylece iğne önünde bulunan yağlama yağı ilgili yağlama yerine basılmış olur. Aynı zamanda iğnenin diğer tarafında bulunan emme odası ikinci kurs için dolar. Saçde iki değil, birçok yağlama yerleri-(mesela Şekil 79 da görüldüğü gibi 6 yer)-öngörülebilir. Her yağlama yeri aynı miktarda yağ alır. İğnenin kursu onda bir milimetrenin ancak bir kaçıdır. Kurs boyu, boy ayar civatasının altına ilaveler konarak tesbit edilir.

Bu dağıtma tertibatı hemen hemen basınç ve ısiya karşı hassas değildir. Takriben 0,3 at. lık gazla basıncı tam emme gücüne erişmek için kafidir. Pislikler nedeniyle iğne nin durup kalması daha hiç görülmemiştir. Çünkü yağlama yağı içinden girip çıkmaktadır. Altı yağlama yeri bulunan, dakikada 30000 kurs adedi demek olan 5000 devir/dakika da dağıtma tertibatı hala hatasız emis yapmaktadır. İğne hareketi takip edemediği an düzensizlikler baş göstermektedir.

Şiberdeki yağ çıkış yeri çok önemlidir. Onun yeri, yağlamadan en iyi faydalananmaya erişmek ve yağ kömür artıkları nın kumanda kanalı içinde kalmasına meydan vermemek için hemen emme ağızının arkasında bulunmalıdır. İmkan dahilinde yağ o şekilde sevk edilirki, merkez kaç kuvveti tesiri ile yağ şiber yüzeyi üzerine dağılır.



Şekil.79: 6 Yağlama yeri için yağ dağıtma tertibatı

3.2 İMALAT TIPLERİ, KUMANDA KESİTLERİNİN TESBİTİ ve UYGU - LANAN KONSTRÜKSİYONLARIN AÇIKLANMASI

Şiber kumandası için yapılan teklifler o kadar fazladır ki, hepsini gizmek ve izah etmek mümkün değildir. Aşağıda - ki bölümlerde sadece gelişmeleri olgunlaştırılmış ve önem kazanmaya başlamış imalat tipleri açıklanmıştır. Muhakkak gelecekte, daha birçok çözüm yolları için teklifler yapılacaktır. Çünkü imkanlar tek değil pek çoktur. Başarıya ulaşmış bir şiber kumanda düzeni kısa zaman sonra bir başkasını daha beraberinde getirebilir.

3.21 Düzensiz hareketli şiber

3.211 İki zamanlı motor: Düzensiz hareketli şiberli kumanda için kanal kumandalı iki zamanlı motor gösterilebilir. Piston, şiberin fonksiyonunu üzerine alır, çünkü kumanda işlemi, her kranc mili devrinde tekrarlanmaktadır. Sıkıştırma ve yanmada kanal ağızları kapanırken, kapama pistonun piston segmanları ile sağlanır. Kanalları geçerken piston segmanlarının zarar görmesine meydan vermemek için, segmanların dönmeye karşı emniyete alınması gereklidir. Onlar, büyük ölçüde artık yağ kömürünün yapışma tehlikesi ile karşı karşıyadır. Böylece eksozu kumanda eden piston yüksek temperatura erişir.

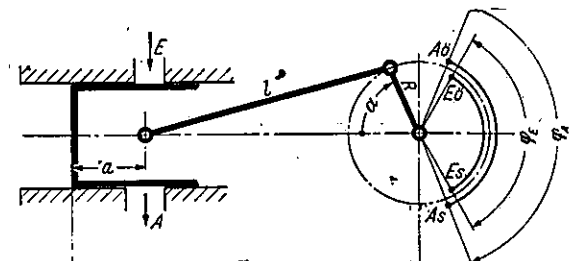
İki zamanlı vasıta motorlarında yağlama genellikle ya - kit içeresine yağ karıştırılarak sağlanır. Bu çok basit fakat ekonomik olmayan bir usuldür. Fazla oranda yağ eksoz kanalları içinde ve susturucuda artıklar bırakır. Zaman zaman bunların temizlenmesi gereklidir. Silindire benzin püs - kürtmeli iki zamanlı motorlarda yağ ince dozlu olarak taze havaya karıştırılır veya damla halinde kranc mili gövdesi içeresine sevk edilir. Böylece aynı şartlara erişilmiş olur.

İki zamanlı motorların en basit uygulamalı olanı, silindir çevresinde öngörülen emme ve eksoz kanallarına kumanda eden tek pistonlu olanıdır. Genel olarak taze gaz yukarı doğru giden piston tarafından kranc mili gövdesi içine emilir ve pistonun geri dönüşünde fazla akım kanalı içinden silindir içeresine basılır. Bu imalat tipinin mahzuru, simetrik

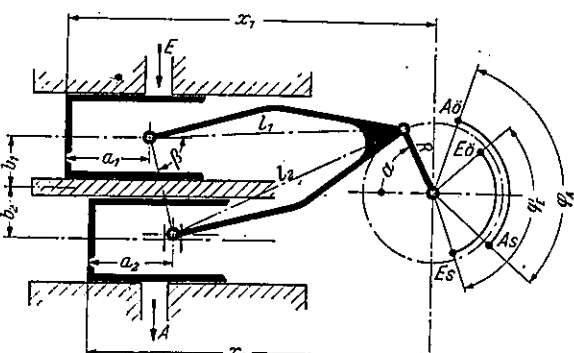
kumanda diyagramıdır. (b.Şek.80). Eksoz, emmeden sonra kapanlığı için, yalnız çok dar devir alanı içerisinde taze gaz kayıplarına imkan verilmeyebilir.

Simetrik olmayan kumanda diyagramı, motosiklet motorlarında farklı şekilde kullanma sahası bulan çift pistonlu tiplerde elde edilir.

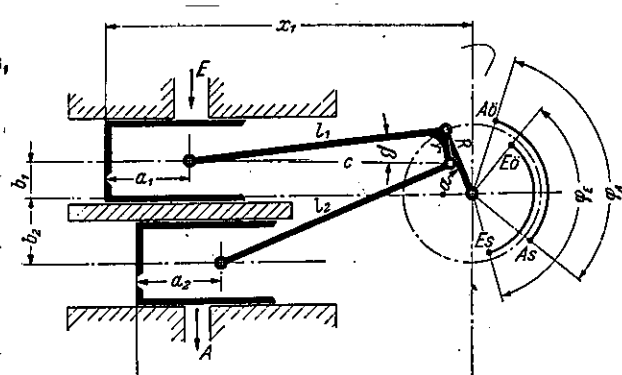
Burada emme supapın açılması daha geç olduğundan eksoz gazlarının girmesine imkan verilmemiş ve eksoz daha önce kapandığından taze gazların kaybıda önlenmiş olur. Fazla yüklemede bölece mümkün olur. Eğer sağlam, çatallı bir piston kolu kullanılırsa, (b.Şek.81), bu takdirde piston piminin, kayma parça üzerinden pistonla bağlanmış olması lazımdır. (Bu imalat tipi Puch-Motosiklet motorlarında kullanılmaktadır). Kılavuz (dümén) kollu piston kolu uygulama(b.Şek.82) pahali olmasına rağmen, kumanda diyagramının uygun şekilde değiştirilmesinde daha fazla serbestlik sağlar. Eksenden kaçık piston hareket durumunda piston kursu kranc mili kursuna nazaran daha büyütür. Piston ölü noktaları en uygun olarak grafik yoldan



Şekil.80.: Aynı eksenli iki zamanlı motor



Şekil.81: Çatal bıyel kolu iki zamanlı - çift pistonlu motor



Şekil.82: Kılavuz(Dümén)kolu-iki zamanlı - çift pistonlu motor

tesbit edilir.

Çift pistonlu imalat tipinin mahzurlu yönü, uygun olmayan yanma odası şekli vermesidir. Bu mahzur çift krank tarike düzeni sayesinde giderilir. Bu yol Junkers tarafından, Jumo-dizel uçak motorlarında uygulanmıştır(b.Şek.83). Alt piston sadece emmeye kumanda eder ve üst pistonda sadece eksoza kumanda eder. Silindir gömleğindeki kanallara(yarık lara) o yönde şekil verilmiştir ki, gaz akışı silindir kesitini tamamen kapsar. Çift kranklı imalat tipi çok pahalı olup, sadece özel şartlarda kullanılır.

Piston tarafından kumandalı köşelerin tam olarak yeri şu formülinden hesaplanır:

a) Silindir eksenden kaçık değil (b.Şek.80)

$$x = a + R \cdot \cos \alpha + \sqrt{\ell^2 - R^2 \cdot \sin^2 \alpha} \quad (79)$$

b) Silindir eksenden kaçık, (B.Şek.81 ve 82)

$$x_1 = a_1 + R \cdot \cos \alpha + \sqrt{\ell_1^2 - (R \sin \alpha + b_1)^2}, \quad (80)$$

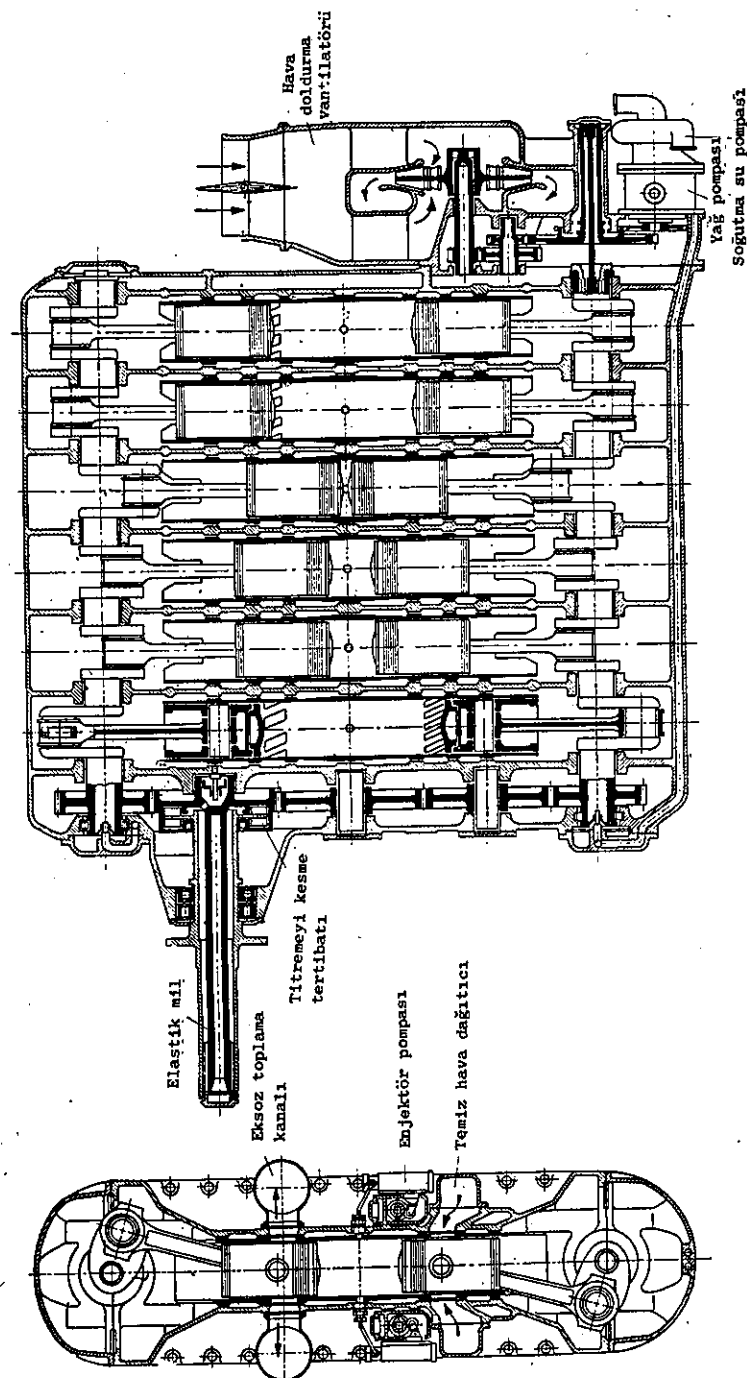
c) Çatallı piston kolu tipli yan silindir.(Piston pimi kayma parçası içinde) (b.Şek.81).

$$x_2 = a_2 + R \cdot \cos \alpha + (b_1 + b_2) \sin \beta \cdot \frac{R \sin \alpha + b_1}{\ell_1} + [\ell_1 - (b_1 + b_2) \cos \beta] \cdot \sqrt{1 - (\frac{R \sin \alpha + b_1}{\ell_1})^2} \quad (81)$$

d) Kılavuzlu piston kolunda yan silindir.(b.Şek.82)

$$x_2 = a_2 + \sqrt{\ell_2^2 - [c \cdot \cos \beta \cdot \frac{R \sin \alpha + b_1}{\ell_1} + c \cdot \sin \beta \sqrt{1 - (\frac{R \sin \alpha + b_1}{\ell_1})^2} + b_1 + b_2]^2} + (\ell_1 - c \cdot \cos \beta) \sqrt{1 - (\frac{R \sin \alpha + b_1}{\ell_1})^2} + c \cdot \sin \beta \frac{R \sin \alpha + b_1}{\ell_1} + R \cdot \cos \alpha \quad (82)$$

Formüldeki işaretler gösterilen şekillere istinat etmek



Şekil.83: Jumo™-205™-Diesel-uçak motoru

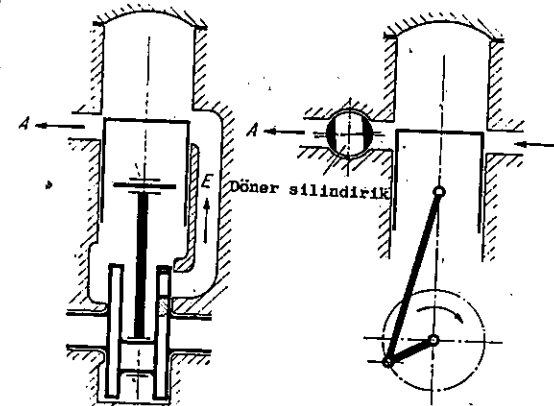
tedirler. Ön işaretler üstte-altta oluşu, ana silindirin eksenden kaçıklığı krank eğriliğinin ($\alpha=0$) üst ölü noktasının arkasında-önde bulunuşuna bağlıdır.

Mمكün görülen kanal genişliği, kaç adet kanalın öngörülmesinin gerekliliğine bağlıdır, tüm silindir gevresi bu uygulamaya imkan vermektedir veya hemen yandaki silindir nedeniyle müsait gevrenin bir kısmından sarfınazar edilmelimidir durumları ile ilgiliidir. Mukavemet değeri dikate alınarak, su soğutmalı motorlarda soğutma kanallarının dökümle elde edilmesi ve silindirlerin sağlamlığı gerektiğinden ara dikmenin ölçüleri küçük değerde tutulamaz. Muhtelif krank durus

vaziyetine göre kumanda kesitlerinin tayini en doğru, çizim yoluyla yapılır. Kanal genişliği için yay kırış boyu değeri alınır. Kanalların tüm yüksekliği piston ölü noktaları ile tesbit edilmişdir.

Tek bir pistonla simetrik olmayan kumanda diyagramı elde etmek için, emme ve eksoz kanalında ilave bir kumanda organı daha öngörülebilir. Ve böylece kanalların piston tarafından serbest bırakılmasına rağmen, emme açılması daha sonra veya eksoz kapanması daha önce bulunur. Şekil 84a muhtelif şekilde kullanılan çözümleri göstermektedir. (Mesela Triumph-Motosiklet motorlarında). Burada krank yüzü düz bir şiber olarak şekillendirilmiş olup, taze gaz fazla akım kanalını kontrol eder. Şekil 84b de eksoz kanalında bir döner şiber öngörmüştür. Dönerli şiber, kaçırma tesiri yönünden burada herhangi bir güçlük yaratmamaktadır, çünkü basınç farkı küçüktür.

Piston, yalnız emme veya eksozun kumandası içinde uygunabilen ve bu durumda emme ve eksoz supaplar veya şiperlerle kumanda edilir. Şekil 85 de Südwerke firmasının LKW-iki zamanlı dizel motoru gösterilmiştir. Burada piston



a)Kranklı emme kumandası b)Döner silindirlik şiberle eksoz kanalında eksoz kumandası
Şekil.84: İki zamanlı bir motorda, piston yüzü ve bir şiberle gaz kumandası

sadece emme ağızına kumanda etmektedir.- Bir hava vantilatörü motorun yükleme ile motor gücünün artmasına yardım eder. Parelel üstten 3 supap, eksoz gazına kontrol ederler. Çok kısa süren kumanda sürelerinde bazı güçlükler ortaya çıkmaktadır. Düz şiberle kumanda kısmı 3.2212 de izah edilmiş tir(b.Sek.97).

3.212 KNIGHT-Siber kumandası

Şek.86 eskiden muhtelif şekilde seri olarak imal edilmiş olan KNIGHT-Siber kumandasını göstermektedir. Piston ve silindir arasında, krank düzeni tıhrikle yukarı ve aşağı hareket eden iki kumanda kovası(bileziği) bulunmaktadır. Krankin bunları birbirine göre kaydırması o şekildedir ki, kumanda kesitler çok çabuk açılır ve kapanırlar. Öngörülen ağızlar büyükür. Kapatma piston üzerindeki ve silindir içindeki piston segmanları tarafından sağlanır.

KNIGHT-Siber kumandası bugün için artık eskimiş olduğundan fazla açıklamasına gidilmemiştir. Pistondan silindire ısı akışı çok kötüdür. Uç dar toleranslarda hassas parçaları çok olduğundan maliyeti de yüksektir.

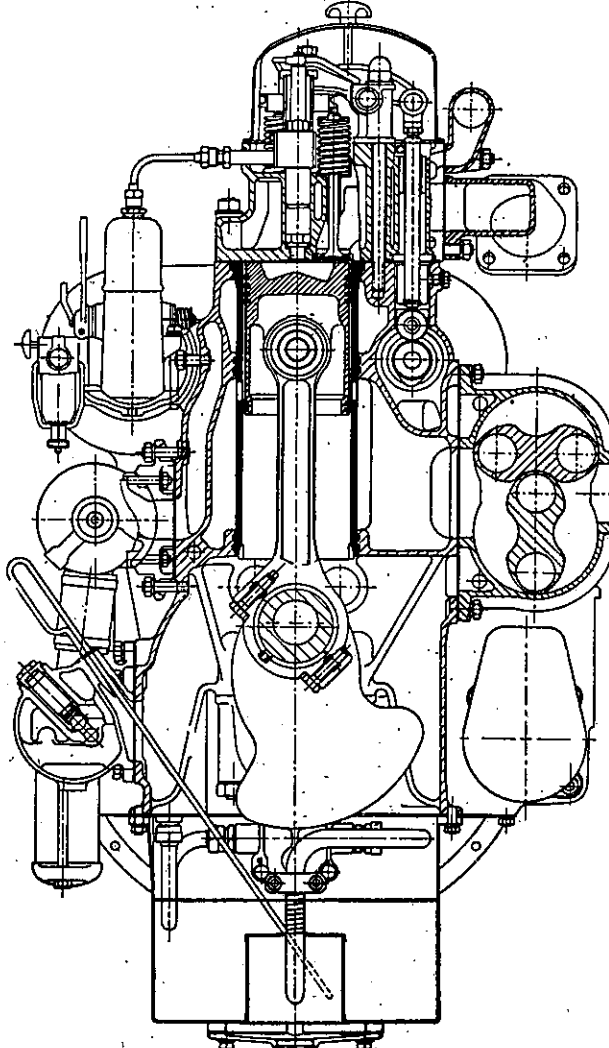
KNIGHT-Siber motorları çok gürültüsüz çalışmaktadır. Yağ sarfiyatı çok fazlaydı, Çünkü şiberin toleransları yeterlidir sınırlarda seçilememekteydi.

3.213 BURT-MC-COLLUM-Siber kumandası

dört zamanlı motorlarda da emme ve eksozun kumandası eger şibere ileri ve geri harenetin haricinde, dönme haren tide verilebiliyorsa, bir kumanda şiberi ile gerçekleştiriliir. Bu uygulama tipi BURT-MC-COLLUM-Siber kumandası olarak tanıtıldı. Uzun bir geliştirme devresinden sonra olgunluğa erişti ve bugün hala İngiliz uçak motorlarında kullanılmaktadır.

Şekil 87 den konstrüksiyon ve kumanda şekli çıkarılmaktadır. Şiber, krank mili devir adedinin yarı değeri ile dönen ve onun üzerinde aksiyal kaydırılabilen bilyalı mafsal bulunan krank tarafından çalıştırılmaktadır. Böylece eliptik se benzeyen bir hat çizer. Silindir gevresinde istenilen

sayıda emme ve eksoz ağızları öngörülebilir. Ağızlar ne kadar çok olursa, optimum kumanda kesitinde şiber kursu da o kadar küçülür. 2 veya 3 emme ve 2 eksoz ağızlar en uygun sayılar olabilir.



Şekil.85: Südwärke-Diesel-LKW-Motoru

b_1 ve örtme z_1 tarafından şiberin yan sapması belirlenmiş ve silindir ortasından kranc kavrama yerinin A mesafe ile de R kranc yarıçapı verilmiştir. Böylece yarıçapın, iki katı olarak şiber kursu,

Kanal genişliği

sayıda emme ve eksoz ağızları öngörülebilir. Ağızlar ne kadar çok olursa, optimum kumanda kesitinde şiber kursu da o kadar küçülür. 2 veya 3 emme ve 2 eksoz ağızlar en uygun sayılar olabilir. Şiberde bir emme ve bir eksoz ağızı müsterek olarak tek ağıza bağlanabilir. Böylece silindir çevresinden daha iyi istifade edilmiş olunur. Çevre, (b.Şek.87) kanal genişlikleri b_1 ve b_2 ye, içinden şiber ağızlarının hareket ettiği ($b_1 + z_1$) ve örtme uzunlukları z_2 ve z_3 e ayrılır. Kapama yüzeyleri z_1 ve z_2 , iyi kapatmaları istenirse oldukça dar tutulabilirler, çünkü silindir içinde çok küçük basınc vardır. z_2 üst ölü noktasında kumanda sürelerinin kesişme siyle tesbit edilmiştir.

Kanal genişliği

$$R = A \cdot \sin \alpha, \quad (83)$$

$$\alpha = \frac{360(b_1 + z_1)}{2\pi(D+2\delta)}$$

D= Silindir çapı,

δ = Şiberin cıdar kalınlığı.

A mesafesi mekanik nedenlerden dolayı mümkün olduğu kadar küçük olmalıdır.

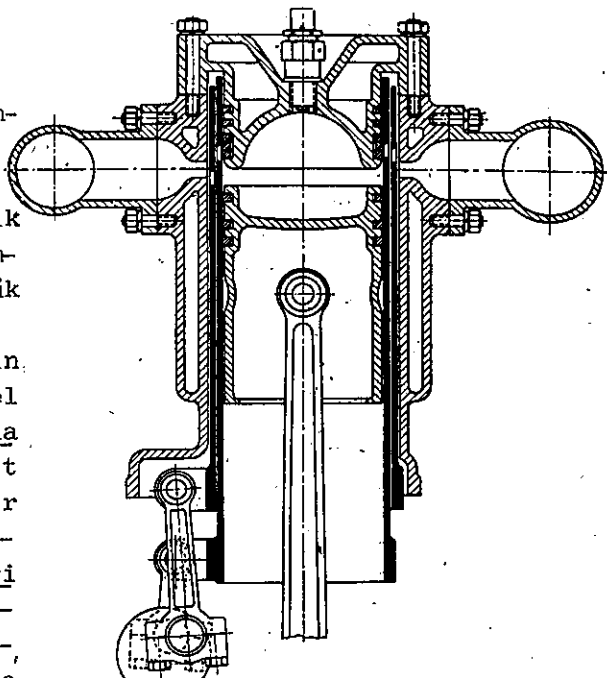
Kanal şeklini tayin etmek için gelişigüzel bir noktanın yaptığı hareket, (mesela şiber alt kumanda kösesinde bir noktanın hareketi) çizilir ve kumanda sürelerinin yarı değerleri ilgili daire üzerine, "Emme kapama" ve "eksoz açma" aynı yükseklikte bulunacak şekilde taşınır. Piston ölü noktaları, şiber ölü noktalarına göre $\psi = \frac{\phi_A - \phi_E}{4}$ açısı kadar kaydırılmıştır. Burada ϕ_A ve ϕ_E nin manaları kranc mili üzerine tekabül eden, "eksoz açık" ve "emme kapalı" alt ölü noktalarından önce ve sonraki açıdır.

Kanal yüksekliği H şu bağıntıdan hesaplanır.

$$H = R \cdot (1 + \sin \frac{\phi_A + \phi_E}{4}) \quad (84)$$

Kumanda açma çiftinin dış şekilleri böylece verilmiştir ve iç köşeler, şiberin her duruş vaziyetinde azami derecede büyük kumanda kesitine erişilecek şekilde öngörlür.

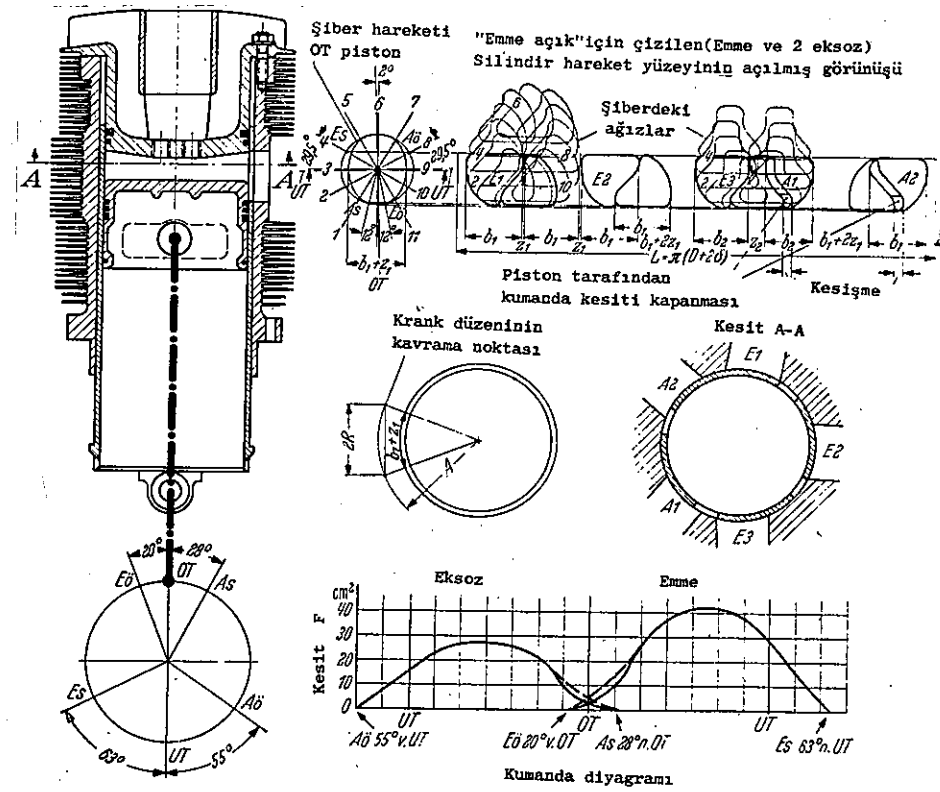
Hemen yandaki silindirin durumu gözönüne alınmadığı takdirde, BURT-MC-COLLUM-Şiber kumandasında çok büyük kesitler uygulanabilir. Üst ölü noktadaki kesişmede, piston tarafından kesitler küçültülmüş olur. (b. Kumanda diyagramı Şek.87). Benzin püskürtmeli uçak motorlarında uygalandığı gibi büyük bir kesişme alanı (b. Şek.87) yukarıdaki sebepten ger-



Şekil.86: Knight-Şiber kumandası

çekleştiremez.

Şiberlerin gaz kaçırma olasılığı silindir kafası içindeki ve pistondaki piston segmanları ile sağlanır. Yanma esnasında şiber ağızları, silindir kafası içindeki segmanlar üstündedir. Pistondaki segmanlar, çok yüksek ısınmalarda kuman-



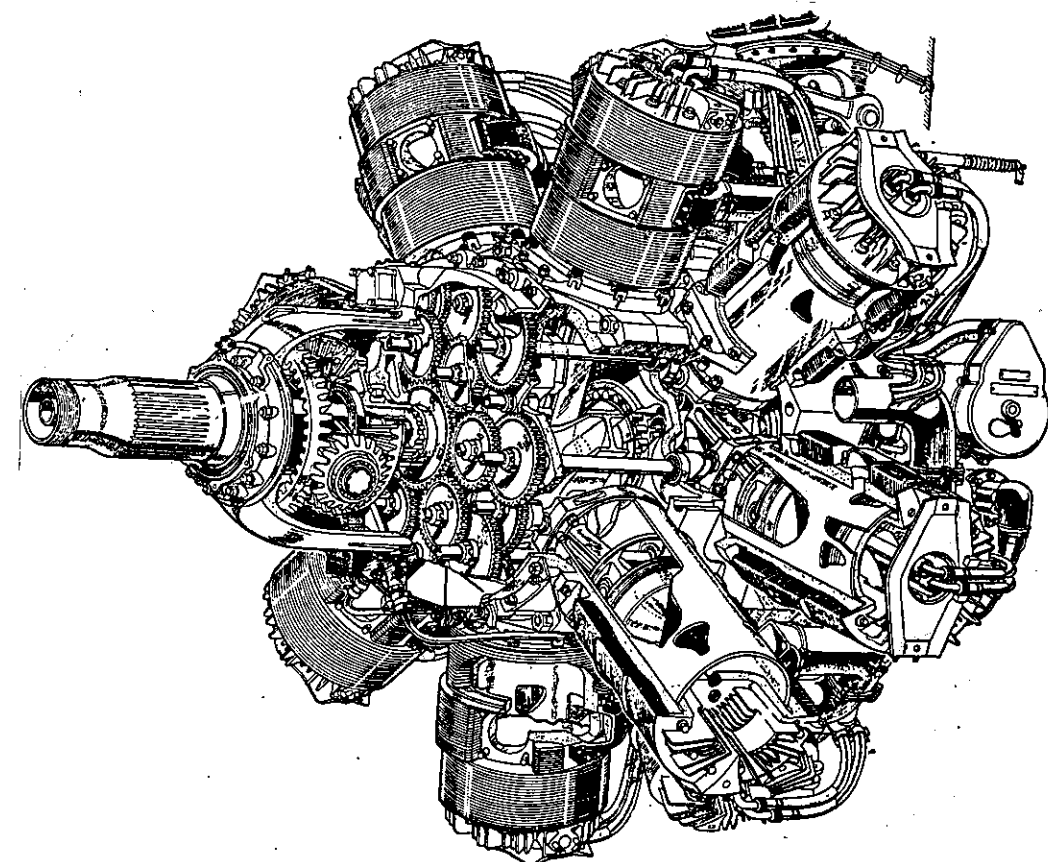
Şekil.87:Burt-MC-COLLUM-Şiber kumandası(Bristol "Perseus"-Uçak motoru)

da ağızları ile çakışmazlar ve dolayısıyle kolayca dönebilirler. Buna karşılık olarak silindir kafasındaki segmanlar ya dönmeye karşı emniyete alınmalıdır. (Çakışma z3 mesafesi içinde bulunmalıdır)-veya onlara öyle bir şekil verilmelidir ki, şiber ağızlarına, geçiş anında onun çakışması zarar vermemelidir.

BURT-MC-COLLUM-Şiber kumandasının en mahzurlu yönü pis-

tondan silindire ısı geçişinin çok kötü olmasına. Bu sistemin önce hava soğutmalı uçak motorlarında(Bristol "Perseus", "Aquila", "Taurus" ve "Hercules", b.Şek.88) uygulanmış olması hayret vericidir. Burada hava soğutmalı supaplı motorlara nazaran 50°C kadar daha yüksek piston temperatürü ölçülmüştür. Çok zaman sonra Napier'de "Sabre" su soğutmalı uçak motor tipleri geliştirildi. (b.Şek.89). Hava soğutmalı motorlarda silindir kafasının iyi soğutulması hususu da bazı zorluklar yaratmaktadır, çünkü hava giriş ve akış kanalları çok küçüktür.

BURT-MC-COLLUM-Şiber kumandasında, ortadan bujili yanma odası seklinin uygun ve yine silindirin yüksekliğinin



Şekil.88: Bristol "Hercules"-Uçak motoru

az olusu faydalı yönleridir. Fakat bu uygun yönlerin bir kısmı, çok uzun piston kolumnun gerekliliği yüzünden tekrar kaybolmaktadır.

Uygun akış şartlarının olmamasının neticesi olarak iyi bir doldurma ve sıcak eksoz supaplarının olmaması nedeniyle yüksek vurunu mukavemetine BURT-MC-COLLUM-Şiber kumandasında erişilir. İmalat parçalarının adetleri supaplı kumanda sistemine nazaran daha azdır. Fakat imalat malîyetleri oldukça fazladır. Çünkü parçaların dar tolerans değerlerinde imal edilmeleri gereklidir ve ayrıca birde şiberin döndürülmesi sorunu ortaya çıkmaktadır. Bu çevrim için Bristol "Hercules" motorlarında 29 dişli gerekmektedir.

Bazı yönlerden tatmin edici özelliklere sahip olmayan BURT-MC-COLLUM-Şiber-kumandası sadece, sızdırmazlık sorunlarının çözümünün bilinen elemanlarla mümkün olması nedeniyle seri imalata gececek şekilde getirilmiştir. Fakat yine de her bakımdan uygun çözüme ulaşamamıştır.

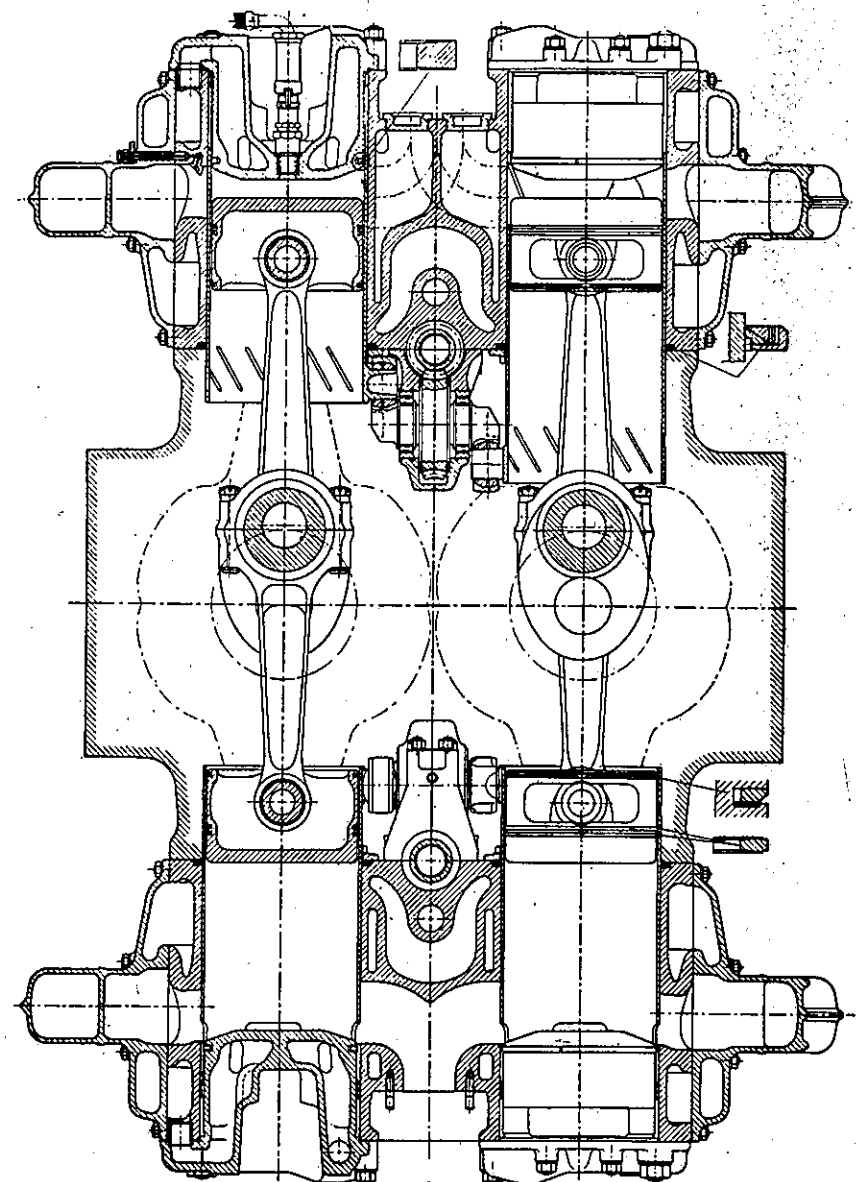
3.22 Döner Siber

Sadece düzgün şekilde hareket eden bir şibeden, yani Döner şibeden, bir şiber kumandasından beklenilen önemli faydalı yönler sağlanır.

Düzensiz her hareket, kütle kuvvetleri meydana getirir ve az veya çok oranda karışık tahrik düzeni gerektirir.

3.221 Düz satılık siber

Dönerli şibelerin en basit çözüm yolu düz satılık şibelerdir. Yani burada, yanma odası düz satılık veya kavisli disk tarafından kapatılmaktadır. Bu şiber, krant miline nazaran muhtelif düşük çevrim oranlarıyla hareket edebilir. Bu çevrim oranına bağlı olarak belirli sayıda kumanda açma, kapama adedine sahip olur. Onun içinde emme ve eksöz,



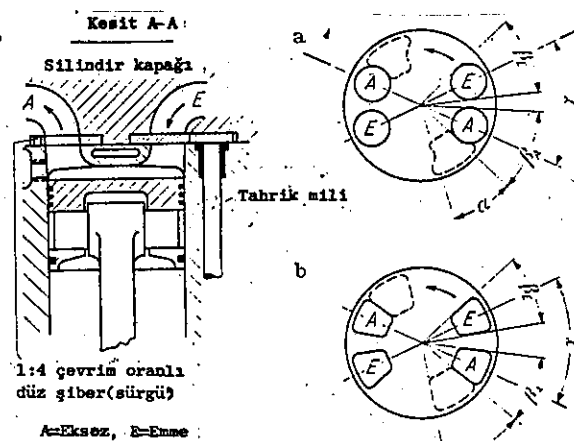
Sekil.89: Napier "Sabre"-Uçak motorunun şiber kumandası

birbirinden ayrı olacak şekilde bir uygulama yapılabilir. Bu durumda silindire açılan bir ağız vardır ve bunun içinde tazé ve yanmış gazlar sırayla girer ve çıkarlar. Silindir içinde de birçok emme ve eksoz kanalları öngörülebilir. Düz şiberin en önemli avantajı contalamasının çok basit olduğu düşudur.

3.2211 DVL-WVV-DÜZ-Siber kumandası

Bu kumanda sisteminde yanma odası iki emme-ve iki eksoz ağızlarına sahiptir. Siber, kranc miline nazaran 1:4 çevrim oranlıdır ve iki kumanda ağızlıdır. Siberin dönme ekseni silindir ekseni ile çakışmaktadır.(b. Şek.90). Silindirde ağızların yuvarlak olarak öngörülmesi, contalama problemi nin daha kolayca çözümesine yardımcı olduğundan, önceleri bu yol seçilmiştir. Kumanda kesitleri de bilhassa kısa silindir mesafeli sira tip motorlarda, yüksek güçlü supaplı motorladdakine erişeme diysede yükleme derecesinin daha iyi olduğunu denemeler göstermiştir. Bilhassa supaplı motorlarda artan devir sayısıyla, gerçek hava doldurması düşmeye başlarken burada aynı düşüş görülmemiştir. Bunun sebebi, gaz akış katsayısunın daha iyi oluşu ve giriş esnasında taze gazların daha az ısınmasıdır.

Trapez şekilli kumanda ağızları, kesitin büyümeye oldukça etkili olmasına rağmen, pahali ve karışık contalamanın yararlı olup olmayacağı çok dikkatle incelenmelidir. Bu nedenlerle düz şiber kumandası değerinden oldukça kaybetmektedir. Önce şekil 90a da gösterilen yuvarlak delikli tiple başlamak ve sonra, eğer büyük kumanda kesiti gerçekten gerekli ise ve değişken kesitin kaçırılmazlık sorunu ta-



Şekil.90: DVL-WVV-Düz sürgü kumandasının şematik gösterilişi

115
mamen çözülmüş olursa, Şek.90b de gösterilen trapez şekilli ağızlara sahip uygulamaya gitmenin doğru olacağı tavsiye edilir.

Silindirde dört ağız bulunan ve çevrim oranı 1:4 olan şiberlerde kumanda olayı Şek.90 da görülmektedir. Uygunluğu nedeniyle yuvarlak delikli olanlarda $\beta \approx 1,2\alpha$ seçilmiştir, böylece kesitten istifade edilmiş olunur. Buna karşılık trapez şekilli deliklerde α açısı, genellikle β açısından daha büyüktür. Ve:

$$\alpha + \beta_E = \frac{\varphi_E}{4}, \quad \alpha + \beta_A = \frac{\varphi_A}{4},$$

Burada φ_E ve φ_A değerleri emme ve eksoz açılma zamanlarının kranc mili dönme açısına tekabül eden değerleridir. 1δ ise emmenin ortasından eksozun ortasına kadar olan kayma açısı değeridir. İmal edilmiş bir silindirde bu açı artıksız değiştirilemez. Halbuki siber tarafından kumandalı açılma süreleri, başka tip ağızlarla veya cidar kalınlığı büyük conta elemanları ile değiştirilebilir. Emme ve eksoz kanalları arasından soğutma sıvısının akması gereklilik takdirde, en küçük γ açısı sınırlanmıştır.

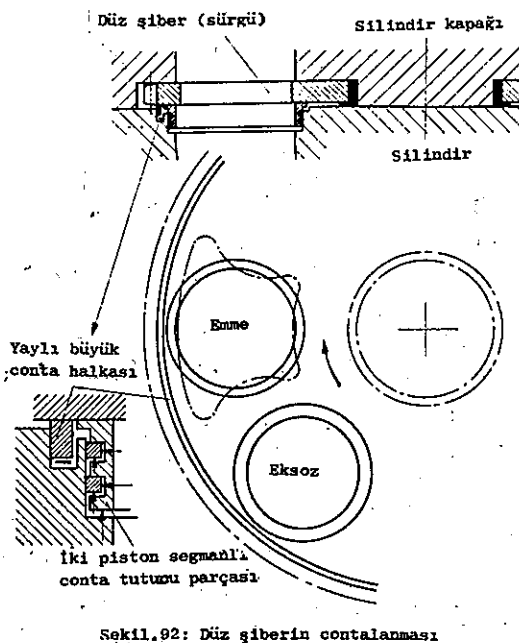
Benzin püskürtmeli ve supap kumandalı, üçlü uçak motorlarında azami olarak $4\delta = 195^\circ$ olması taleb edilir, düz şiber kumandalı, olduğu takdirde 200° ye kadar sağlanabilir. Araç motorlarında ise birbirine olan kaçıklık açısı genellikle $215 \pm 220^\circ$ arasında dır. "Eksoz açma" ve "emme kapağı" silindir içindeki ağız ile kumanda edilirken, bunların kesişmesi, yani "emme açılması" ve "eksoz kapanması" silindir kapağı içinden tayin edilir.(b.Şek.91). Gaz akışına menfi etkiyi en küçük değerde tutmak için, "A" ve "B" kumanda köşelerinin birbirinden kaydırılması tavsiye edilir. Ve buda silindir kapağı içinde oval ağızlarla kolayca gerçekleştirilebilir. "C" ve "D" kumanda köşeleri genellikle, birlikte geriye alınamazlar, aksi takdirde kanallar arasındaki et kalınlığı zayıflatılmış olur.

Yanma odasının kaçırılmazlığını temin için Şek.92 de gösterilen conta elemanları başarı ile kullanılmaktadır. Con-



Şekil.91: DVL-WVV-Düz şiber kumandasındaki kumanda olayı

ta bilezikler gaz basıncı ile şibere doğru itilir. Şiber üzerindeki yağ filmi emme kurs esnasında kalkmaya mani olur. Şiberin değişken gevresel hızları ile elemanlarda devamlı döndüğünden conta yüzeyleri ve şiber yüzeyleri lebleme tesiri yaparlar. Böylece kullanma süresiyle daha iyi hale gelir ve ayrıca gelecek yağ kömür artıkları yüzeylerde daha birikim anında iken yok edilir. Hem kanallar içinde bulunan conta bilezikleri ve hemde

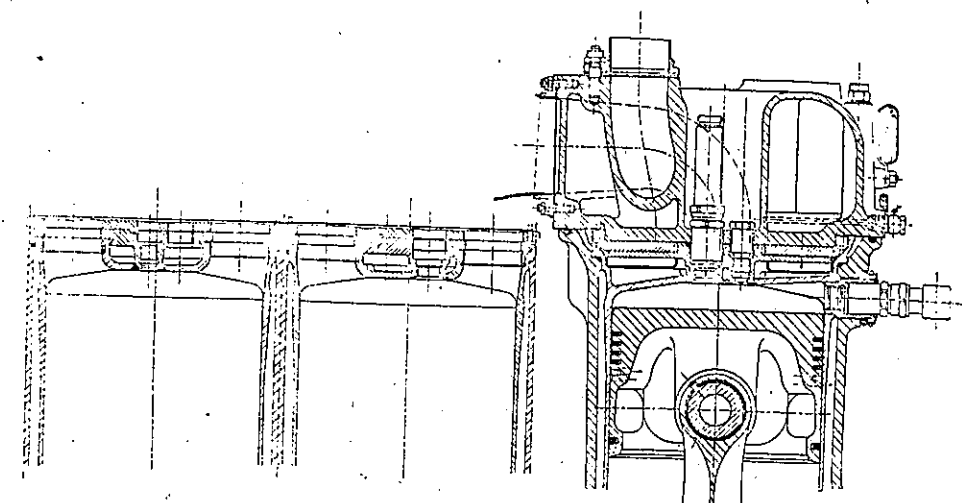


Sekil.92: Düz şiberin contalanması

silindir içindeki conta elemanları, şiberin hareketini takip edebilmek için kafi derecede boşluğa sahiptir. Conta tutucu bileziklerinin değiştirilmesi, hafif metal silindirden olması halinde bile pek gerekli değildir.

Daha büyük kumanda kesiti elde etmek için genel olarak, emişteki sızdırmazlık elemanı çelikten imal edilir ve $\varnothing = 2\text{mm}$. lik et kalınlığı kafi gelir. Eksızdaki sızdırmazlık elemanı için et kalınlığı 3mm , olan hafif metalden dövme parça, çok iyi netice vermiştir. Bir silindirden diğerine gaz geçişine imkan vermeme için gerekli uygulama öngörülü müştür. Şiber malzemesi olarak, sıcaklığa karşı mukavemeti çok iyi olan Nitrasyon çelik seçilmiştir. Şiber direk olarak silindir kapağı yüzeyi üzerinde hareket ettiği için kendi ısısını tekrar kolayca iletebilir. Onun, silindire karşı kafi miktarda boşluğu vardır. Yağlama yağı, dağıtma düzeni tarafından sağlanır (b. Kısım 3.12). Böylece yağ, emme ağızının hemen arkasındaki şiber yataklarına ve silindir kağındaki radyal kanallara sevkedilir.

DVL-WVV-Döner şiber kumandasının bir mahzuru bölümeli yanma odası olmasıdır. Kanalları mümkün olduğu kadar kısa tutmak amacıyla uçak motorları için, tek silindirli deneme

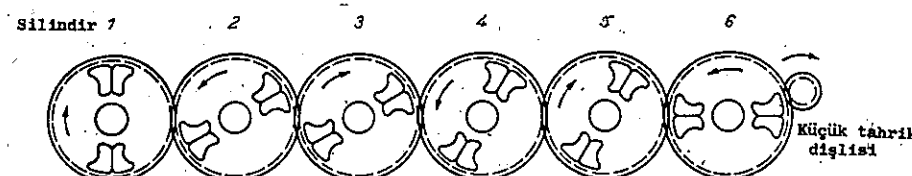


Sekil.93: Bir uçak motorunda kaynak çelik silindirli DVL-WVV-Düz şiber kumandası

motorlarında çok iyi neticeler veren çelik silindirli konstrüksiyon teklifi edilmiştir. (b. Sek.93). Yanma odası tabanı hassas kalıpta dövülür, kısmen mekanik işlenir ve silindir hareket gövdesine düz olarak kaynatılır. Şiber yataklaması içerisinde bir buji, bir püskürtme memesi ve soğutma suyu bulunur.

Burada supaplar aşırı ısınmadıkları için düz şiberli motorlar, supaplı motorlara nazaran daha fazla yüklenebilir. Böylece uygun olmayan yanma odası bir mahzur teşkil etmez. Kapladığı hacim, bilhassa düz şiberli tipin yüksekliği az olduğu için küçüktür. Bu nedenle sınırlı hacme sahip olan yerlerde bu tipli uygulama çok değer taşır. Hacmi küçük olduğu için ağırlığı da azdır. Burada şiberin tahrik şekli de bilhassa basit sayılır. Sekil 94 de görüldüğü gibi şiber, diştan direk küçük bir dişli vasıtasiyle harekete geçirilir. Bu sekil üzerinde şiber ağız kısımlarında görülen ince cidar, fazla yükleme durumunda ve açılmalaların keşime esnasında emmeden eksöz içeresine mümkün olabilecek, kaçmaya mani olur.

Uzun süre devamlı çalıştırılan tek silindirli deneme motorları ile uçaklarda yüksek yük altında çalışan motorlarda, DVL-WVV-düz şiberli kumanda, su soğutmalı yüksek güçlü uçak motorlarında başarıya ulaşlığı ispatlanmıştır. Bu kumanda tipi, sürekli çalışma ve motoru fazla yükleme bakımından supaplı kumandalılara nazaran daha üstündür. Güç bakımında, aynı devir adedi ve aynı yükleme de her iki tipde de durum hemen hemen aynı değerdedir. Hava soğutmalı uçak motorlarında, emme ve eksoz arasındaki dikmenin çatlamasından, dolayı öngörülen gerekli başarıya ulaşlamamıştır.



Şekil.94: Sıra tipi bir uçak motorunda şiberin çevrim düzeni

3.2212 DVL-WVV-Düz şiber kumanda tipinin daha gelişimme imkanları

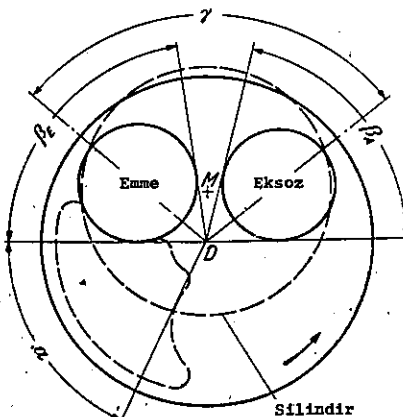
Eğer şiber kranc miline nazaran 1:2 çevrim oranında ve silindirde sadece bir emme ve bir eksoz ağızı öngörülmüş ise, böylece daha uygun bir yanma odasına ve daha büyük kumanda kesitine erişilebilir. (b.Şek.95). Burada, şiber ve silindirdeki açı değerleri, 1:4 çevrim oranlı şibere nazaran iki katı daha fazladır.

Ve:

$$\alpha + \beta_E = \frac{\varphi_E}{2}$$

$$\alpha + \beta_A = \frac{\varphi_A}{2}$$

2γ açısı, emme ve eksoz merkezlerini bişlestiren doğrular arasındaki açının kranc mili üzerine tevcih edilmiş değeri dir. Şiber dönme ekseni "D" ile silindir ekseni "M" birbirinin üzerine çakışmamaktadır. Gerek



Şekil.95: Çevrim oranı 1:2 olan düz şiberde kumanda açısı

tiği takdirde şiber ekseni silindir eksenine göre meyilli olarak öngörülebilir. Silindirde bir emme ve bir eksoz ağızı olduğundan, iki emme ve iki eksozlu olana nazaran kanal yolunun şekli daha basittir. Fakat şiberin kütle dengelemesi bazı zorluklar yaratmaktadır ve şiber yataklama sınına da gereken itinanın gösterilmesi lazımdır, çünkü yüklenme tek taraftan olmaktadır.

Eğer 1:4 çevrim oranındaki şiberle iki silindirin bir den kumandası yapılabilsse, daha uygun neticeler verebilir(b.Şek.96). α , β_E , β_A ve γ açıları kısım 3.2211 de gösterildiği gibidir. 4 θ veya şiberin ters yönde dönme dumrunda $4(180-\theta)$, kranc mili dönüşüne tekabül eden 1 ve 2, veya 3 ve 4 silindirlerin ateşleme mesafesidir. Şiber kütlesinin denkleşmesine (balansına) ihtiyaç yoktur, çünkü şiber iki ağız açıklığına sahiptir. Fakat devirme kuvvetleri ne bilhassa dikkat etmek gereklidir.

İki zamanlı motorlarda da, birbirine yakın silindirlerin emme ve eksozları 1:1 veya 1:2 düşük çevrim oranlı şibere kumanda edilelebilir(b.Şek.97).

1:1 çevrim oranında,

$$\alpha + \beta = \varphi$$

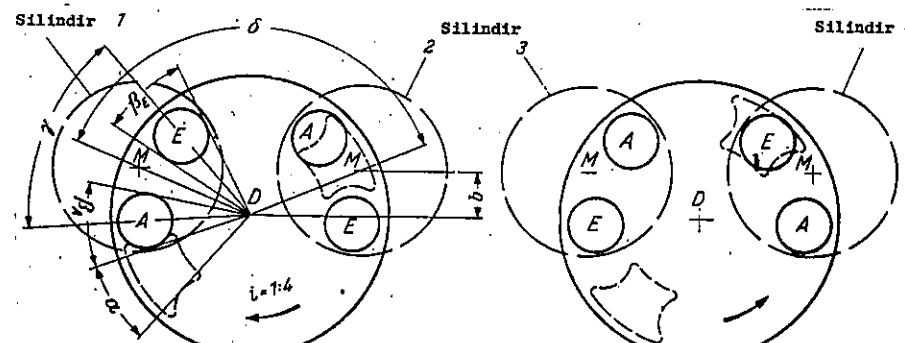
φ = Kranc mili dönüşüne tekabül eden tüm açılma açısı.

1:2 çevrim oranında,

$$\alpha + \beta = \frac{\varphi}{2} \text{ dir.}$$

θ değeri, her iki yakın silindirin ateşleme mesafelerine göre eşit değerde veya yarısı değerindedir.

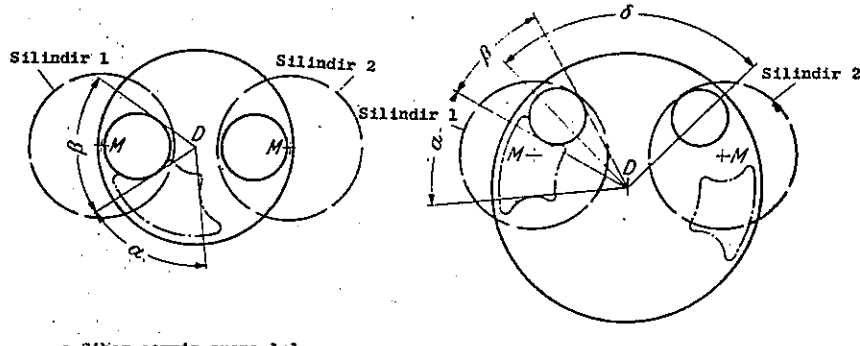
Yalnız eksoza kumanda edildiği an, ısinma yönünden şiber çevrimin 1:2 seçilmesi tercih edilmelidir.



Şekil.96: 4 silindirli 4 zamanlı bir motorda düz şiber kumandası

3.2213 Bristol-Salgılı tablalı motor

Enteresan düz şiber kumanda sistemine Bristol-9-Silindirli salgı tablalı motoru sahiptir.(b.Şek.98). Şiber hacim bakımından, emme ve eksozu ayrı olarak öngörelebilecek şekilde yeterli kalınlıkta seçilmiştir. Emme kanalları, ortada bir toplanma kanalına uzanmaktadır ve eksoz kanalları da gevrede bulunan toplama bağlantısına birleşmektedir.Her silindir sadece bir yuvarlak nıza sahiptir, ve bunun için-



a Şiber çevrim oranı 1:1

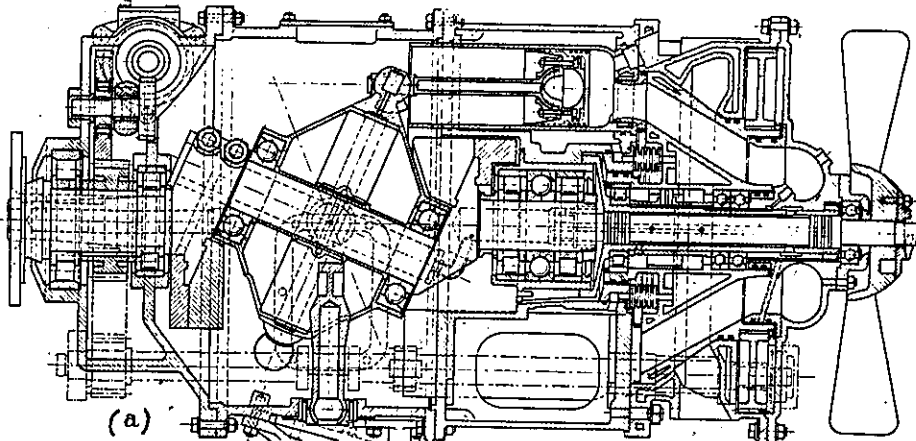
b Şiber çevrim oranı 1:2

Şekil.97: İki silindirli-iki zamanlı bir motorda düz şiber kumandası

den taze ve yanmış gazlar sırayla geçerler. 1:8 çevrim oranında ve kranc mili devrine ters yönde dönen şiberde 4 adet trapez şekilli kanal çifti bulunmaktadır. Kumanda tarzı Şek.99 da görüldüğü gibi ve:

$$\alpha + \beta = \frac{\varphi_E}{i}$$

$$\alpha_A + \beta = \frac{\varphi_A}{i} \quad \text{dir.}$$



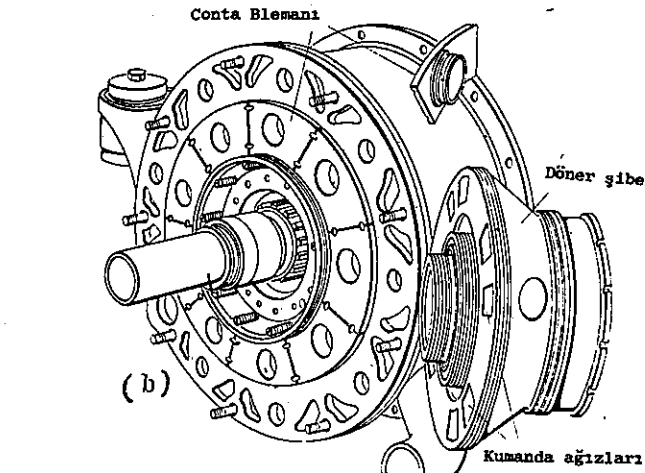
(a)

φ_E, φ_A -Krank mili dönüsüne tekabül eden tüm emme veya eksoz açıklığı

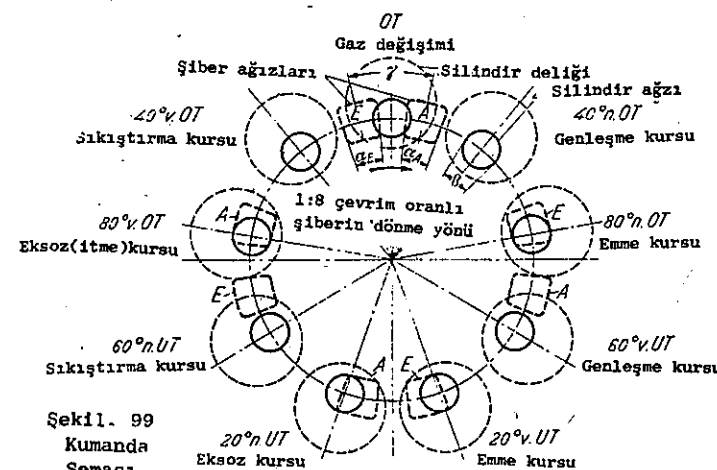
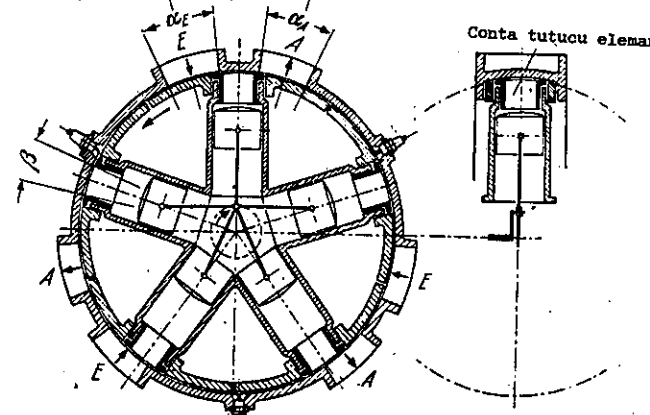
i. δ =Krank mili dönüsüne tekabül eden emmenin eksoza göre açıklığı

i =Şiberin çevrim oranı.

Sızmazlığı temin için piston segmanlarını tutan dairesel bir parça bulunmaktadır. Bu parçanın sızdırmazlık yüzeyi bir daire halka parçası şeklindedir. Bu uygulama, bir silindirden diğerine gaz akışına mani olmak için gereklidir. Plakaların, segmanları tutan parça dan ayrılması uygun bir yol olabilir, çünkü plakalar, yanma odasında büyük sızdırmazlık yüzeyinin bulunmasını gerektirir. Ve bu yüzden de kolayca eğilebilir. Bu şiber



Şekil.98:Bristol

Şekil. 99
Kumanda
Şeması

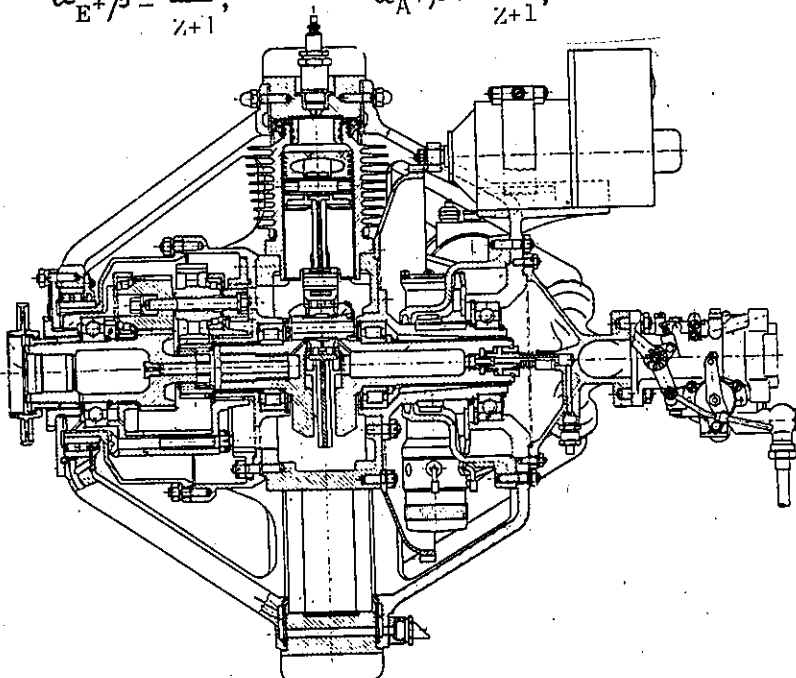
Şekil.100: SACHSENMERG-SKLENAR-Motorunda kumanda olayı

kumanda şeklinin mahzuru, soğutma suyunun siber içerisinde - den geçirilmesinin lüzumlu olmasıdır. Soğutma suyunun gövde - den hareketli şibere sızmamasının temini bazı zorluklar yaratmaktadır. Bu uygulama tipi çok büyük kumanda kesitle - rini beraberinde getirir. ve salgılı veya kam diskli tahr - ik sistemi ile irtibatlidır.

3.2214 SACHSENBERG-SKLENAR-MOTOR

Düz şiberli kumandalı motor olarak, SACHSENBERG-SKLENAR, in bu konstrüksiyonu da sayılmalıdır. Bu konstrüksiyonda şiber, sabit bir sürgü halkasından ibaret olup, bu halka -nın bilya şeklindeki iç yüzeyinde yıldız şeklinde tanzim e - dilmiş silindirler dönerler.(b.Şek.100 ve 101). Sürgü halka -sı $\frac{Z+1}{2}$ adedinde kumanda ağızı çiftine ve (Z =Silindir adedi) ve o kadar çokta bujilere sahiptir. Her silindirin sadece bir ağızı vardır. Yıldız şeklindeki silindirler kr - rank mili devrine göre ters yönde 1:Z çevrim oranında dö - ner.

$$\alpha_E + \beta = \frac{\varphi_E}{Z+1}, \quad \alpha_A + \beta = \frac{\varphi_A}{Z+1},$$



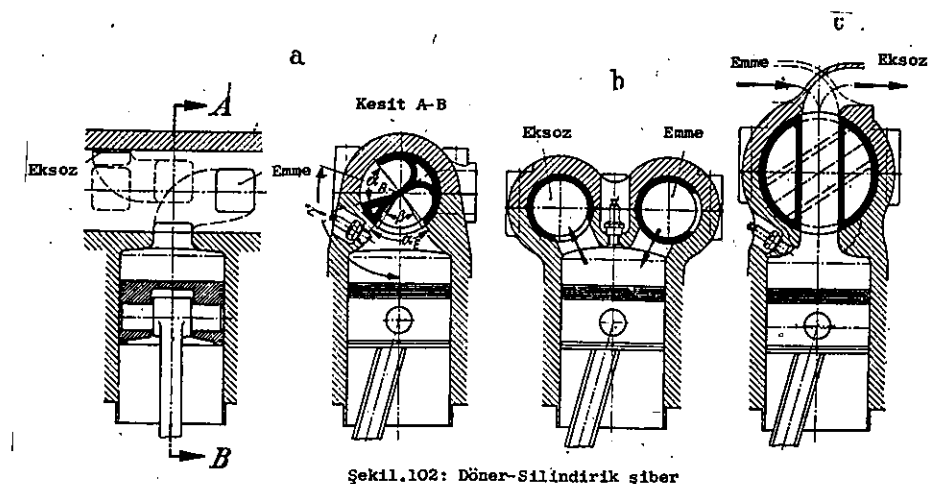
Şekil.101: 7-silindirli-SACHSENBERG-SKLENAR-Motoru

φ_E, φ_A = Krant mili dönüşüne tekabül eden tüm emme ve eksoz açıklığı

(Z+1) γ = Krant mili dönüşüne tekabül eden emmeden ekszoza olan açıklık.

Sızdırılmazlığı sağlamak için yuvarlak, piston segmanları taşıyan bir parça vardır. Bu parça, dönme hareketini sağlamak için içten vida dişi şekilli kanatlarla teçhiz edilmiştir. Şiber (sürgü) ağızlarını kapamak için silindire, piston segmanları ile kapatılan kayma pabuçlar konulmuştur.

SACHSENBERG-SKLENAR-Motoru şüphesiz orijinal bir konstrüksiyondur. Araştırma için yapılan deneme motoru, çok iyi neticeler vermişse de, pratik olarak pek uygulama sahası kazanmamıştır. Dönen yıldız şeklindeki silindirlerin imalının zor, montaj ve tamir yönünden parçalara ulaşmanın güç, şiber halkasının yağı tutmasının iyi olmayacağı ve silindirlere soğutma havasının sevkinin uygun olmaması, pratik yönden bu uygulamanın mahzurlarını teşkil ederler.



Şekil.102: Döner-Silindirlik şiber

3.222 Silindirlik döner siber

Silindirlik döner şiber kumandasında, kumanda organı si - lindirik döner bir şiber olup, silindirin üzerinde enine olarak bulunur. Krant miline nazaran 1:2 çevrim oranı ile kavisli kanallar- veya 1:4 çevrim oranı ile de doğru kanallar olarak dönerler.(b.Şek.102a ve c). Emme ve eksoz ayrı olarak herbirine bir silindirlik döner şiber de öngörülebilir.(b.Şek.102b). Şiber içindeki aynı ağızdan sırasıy-

le emme ve eksoza kumanda edilmesi mümkün değildir. Çünkü şiber içinde bulunan temiz gaz, eksozla birlikte kaybolur veya diğer taraftan sürgü içinde bulunan yanmış gaz tekrar emilmiş olur.

Kumanda açıları:

$$\alpha_E + \beta = \frac{\phi_E}{i}$$

$$\alpha_A + \beta = \frac{\phi_A}{i}$$

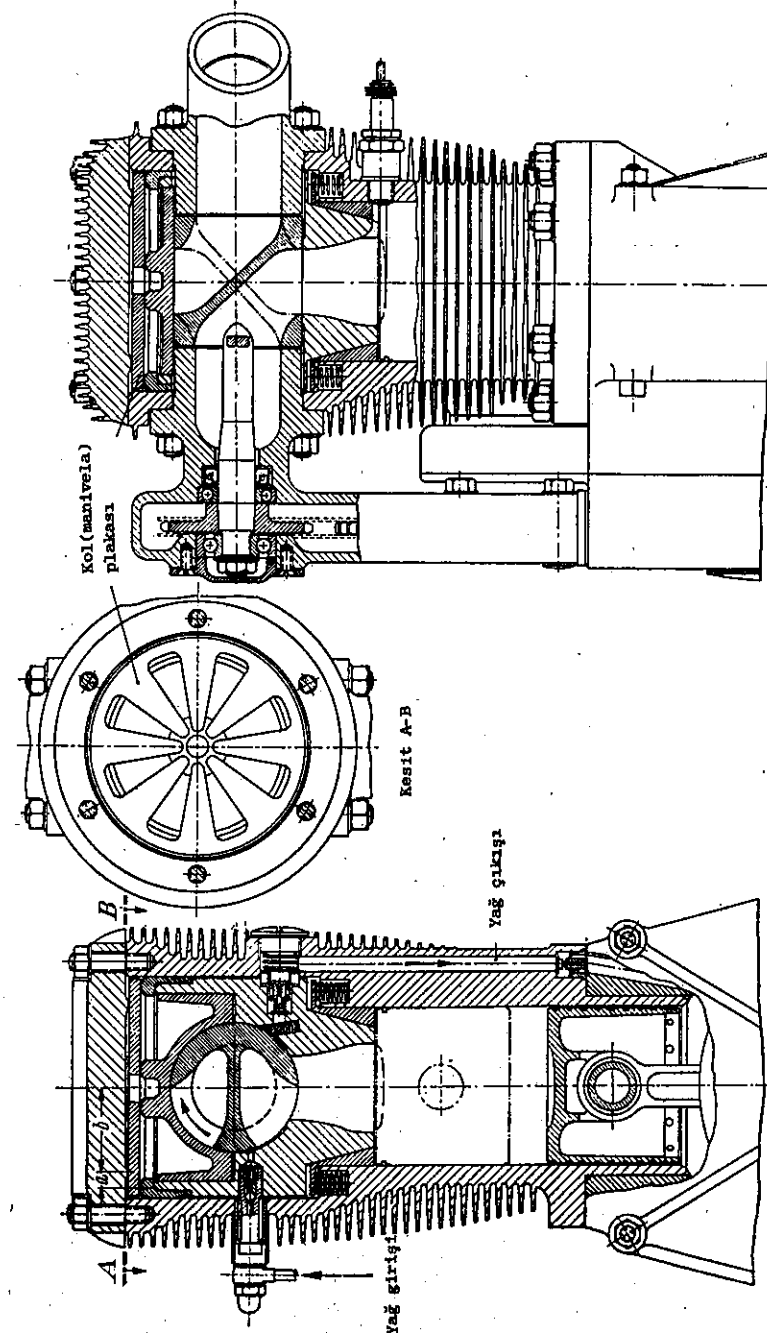
ϕ_E, ϕ_A = Krank mili dönüsüne tekabül tüm emme ve eksoz açıklığı
i = Şiber çevrim oranı.

i_y = Krank mili dönüsüne tekabül eden emmeden eksoza olan kaçıklık

Kumanda kesitlerinin büyüklüğü döner silindirik şiberin çapına bağlıdır. 1:4 çevrim oranında şiber çapı oldukça büyük olur. Yanma odasının sızdırmazlığını temin etmek güçtür. Soğutma sıvısının silindirik şiber yanına giriş ve çıkışında çok kolay değildir. Eğer en yüksek gürce erişmek için çok büyük kumanda kesitlerinin olması gerekirse, imalat masrafları daha büyük olmasına rağmen silindirik şiberli kumanda bu durumda faydalı olur.

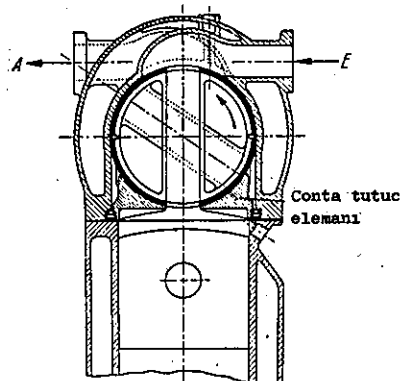
3.2221 CROSS-Şiber kumandası

Çevrim oranı, 1:2 olan şiberli bir uygulama CROSS tarafından hava soğutmalı tek silindirli motosiklet motorları için teklif edildi ve deneme motorlarında da kullanıldı. (h. Şek.103). Emme ve eksoz şibere aksiyon olarak girer ve çıkarlar. Hafif metal silindir önceleri silindir ekseninde hareketliydi ve yanma odası ağız çevresinde 7mm. genişliğinde hafif öne kaymış köşeye sahipti. Gaz basıncı tesiri ile silindir, şibere doğru itilir ve böylece sızdırmazlığı sağlanır. Bu çözüm yolu tatmin edici değildi, çünkü gaz itme basıncı çok büyütü ve şiber ile sızdırmazlık yüzeyinin farklı ısı genleşmelerinden dolayı her çalışma durumunda aynı eğriliği de sahip değildi. Daha sonra CROSS sabit si-



Şekil.103: CROSS-Döner silindirik şiber-kumandalı motosiklet motoru

lindir içerisinde hareketli bir parça öngörerek, bir manivela sistemi (kollu plaka) üzerinden şiberdeki itme basıncını azaltmayı başardı. (b.Şek.103). Öngörülen bir sıvırma elemanı fazla miktarda yağlama yağının krank mili gövdesine tekrar dönmesine yardımcı olur.



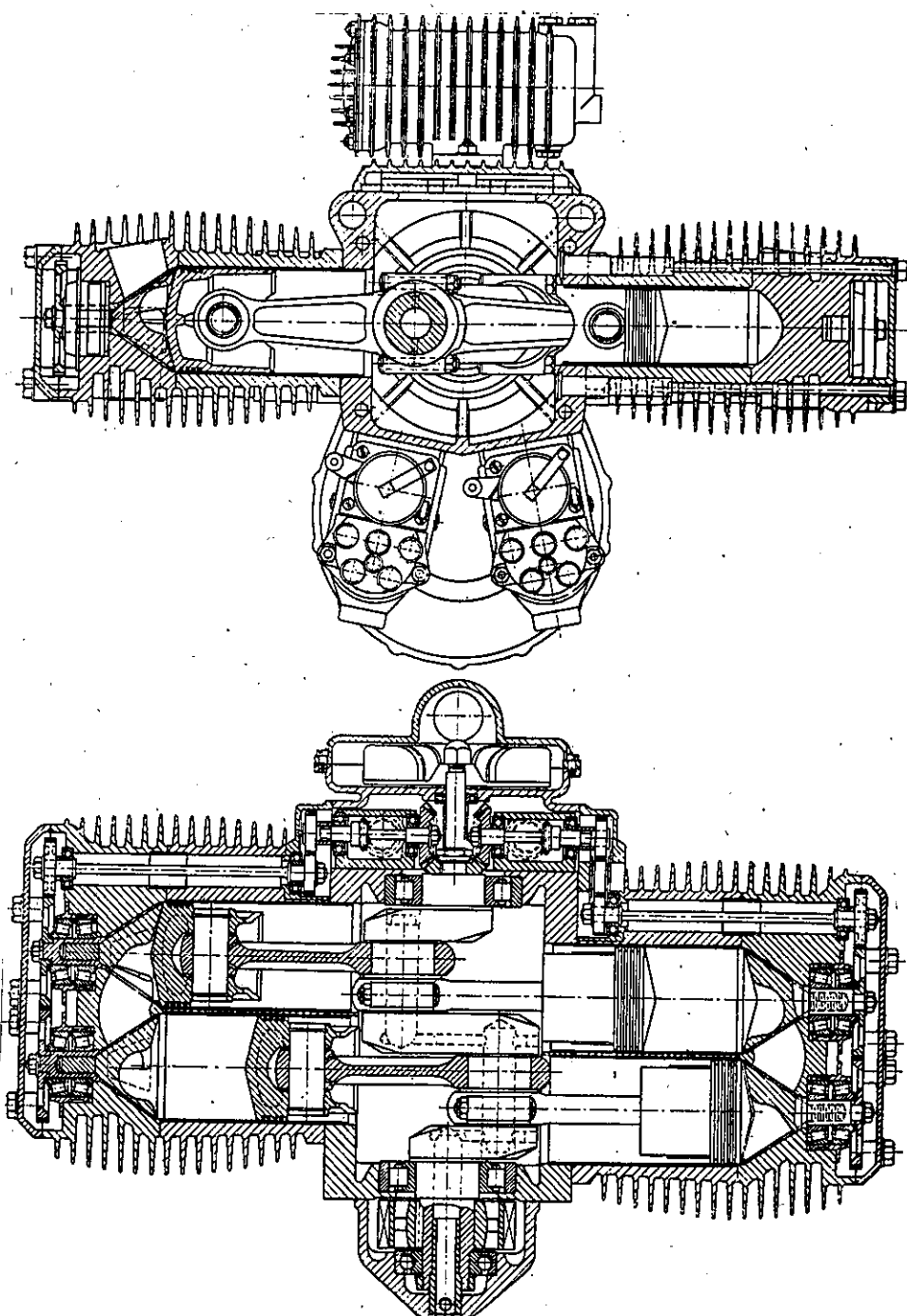
Şekil.104: BAER-Şiber Kumandası

Bu çözüm yolu da yeterli değildir, çünkü her çalışma durumunda sızdırmazlığı temin için conta tutucu parça çok büyük ve serttir. Bu yüzden şiberin soğutulması da yetersiz ve silindir kafasındaki ısı iletimi de iyi değildir. Bu uygulama oldukça masraflıdır ve sıra tip motorlarda uygun değildir.

3.2222 BAER-Şiber kumandası

Su soğutmalı sıra tipi motorlar için BAER-Şiber kumanda tipi geliştirilmiştir. (Şek.104) Şiber krank miline nazaran 1:4 çevrim oranındadır. Şiber içinde emme ve eksoz için ayrı olarak, doğru bir kanal bulunur. Yanma odasındaki ağız derin çekilmiş dörtgen şeklinde dir. Sızdırmazlığı temin etmek için bir conta elemanı vardır. Bu parçanın silindir tarafına doğru şekli yuvarlak ve yukarıya doğru şiber tarafında geniş bir sızdırmazlık yüzeyine sahiptir. İçteki şekli yuvarlak kesitten dört köşे olan kumanda ağızına dönüştürmektedir. Conta elemanı silindire karşı her iki taraftan gerilmiş bir membran ile kapatılmıştır. Membran önünde, yanmış gazlara karşı korumak için bir piston segmanı bulunur.

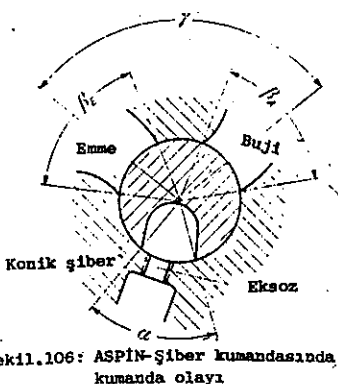
Şiberin bu contası yüksek motor güçlerinde yeterli değildir, çünkü conta yüzeyi çok büyktür ve deform olmasına mani olunamamaktadır. Basınç tesiri altında kalan yüzeylerin büyük olması nedeniyle toplam basınç zorlaması da oldukça fazladır. Orta güçlerdeki motorlarda bu şiber kumandasının maliyeti uygun değerdedir. Şiber yakınına kadar giriip çıkan soğutma sıvısının sızmasına mani olmak zorluklar yaratır.



Şekil.105: ASPIN-Şiber Kumandası

3.2223 Konik şiber, ASPIŃ-Motoru

ASPIŃ, kumanda organı olarak yanma odasında dönen konik bir şiber kullanır. (b.Şek.105 ve 106). Konik şiber, a-çısı ile genişliği sınırlanmış bir girintiye(çukura)sahip-tir. Şiber, krank milinin devir sayısının yarı`değeriyle döner. Şiber içindeki girinti takriben tüm yanma odasını meydana getirdiğinden, dönen bir yanma odası elde edilmektedir. Yanma odası bujilerle sadece geçici bir bağlantıda bulunur. Bu nedenle kenar bölgelerdekçok zengin ve iç merkezi kısmında çok zayıf bir karışım meydana geleceği beklenebilir. Dolayısıyle az yakıt sarfiyatında, yüksek güce erişmek mümkün olabilir. ASPIŃ tarafından verilen güç de-ğerleri oldukça yüksektir. Bunun nedeni döner şiberin yanma odasına sahip olmasından ileri gelebilir.



Şekil.106: ASPIŃ-Şiber kumandasında, kumanda olayı

İyi bir yataklama için eğik bilyalı rulman kullanılmakta - dir.

Sızdırmazlık ve soğutma problemleri tam olarak çözüldükten sonra, bu döner yanma odası uygulama, belki büyük önem kazanabilir.

SON SÖZ

Bu kitaptaki bilgilerle konstrüktöre, yüksek devirli ya- kit motorlarının gaz kumanda sisteminin konstrüksiyonu i-çin gerekli bilgiler, formüller ve konstrüksiyonda dikkate alması gereken hususlar verilmiştir. Belirli genel bir gözüm yolu gösterilmemiş, fakat konstrüktörün kabiliyetini kullanmasına açık kapı bırakılmış ve gerekli yardımcı bil- giler verilmiştir.

Bugün için supaplı kumanda sistemi geniş uygulama tip-lerile şiberli kumandalara nazaran çok önde ve hakim bulunmaktadır. Çok az sayıda şiber kumanda düzeni seri imalat imkanı kazanmıştır. Gelecekte yandan supaplı sistemin yavaş yavaş kaybolacağı önceden söylenebilir. Diğer taraf- tan motorlarda devir adedinin devamlı artması istendiğin- den üstten eksantrik milli uyguluma daha geniş kullanma im- kanı bulacaktır. Seri imalat araba motorları için genellikle bir eksantrik mili yeterli olacaktır. Yalnız uçak - ve yarış motorlarında her silindir sırası için iki eksantrik, mili gerekli görülecektir. Kam hareketinin supap üzerine aktarılması için titreşimli külbüütör tavsiye edilebilir. Bunların kuvvet kolu kısa olduğu için ortadan mesnetli kül- bütöre nazaran daha uygundur.

Eksantrik milinin çevrilmesi için seri motorlarda rule- li zincirler hakim olacaktır. Disli çevrim düzeni uçak ve yarış motorlarında kullanılacaktır. İtme kollu çevrim dü-zeni, bilhassa sağlam bir çevrime değer verildiği takdirde kullanma sansı olabilir.

Tekniğin bugünkü durumuna göre, döner şiberli kumandayı gerçekleştirmek tamamen mümkündür ve böylece bu saha'daki sayısız çalışmalar başarıya ulaştırılabilir. Ana problem sızdırmazlık sorunu çözülmüştür veya mevcut bilgilere göre gözülebilir. Önemli olan motor imal eden tüm firmalar her ye ni konstrüksiyon için gerekli olan gelişmeleri yapmak zo-rundadırlar. Döner şiber kumandanın faydalı yönü, gelecek için ilgi çekici olabilir. Başarılı bir konstrüksiyon çok yakında diğer döner şiber konstrüksiyonları beraberinde ge-tirebilir.

KARBÜRATÖRLER

a) Görevi : Karbüratörün görevi, motorun çalışma durumu na göre değişen oranlarda gaz karışımını(Benzin-hava karışımı) sağlamaktır. Karışımın kusursuz olarak yanabilmesi için, hava-benzin oranını her zaman noksansız hazırlar ve miktarını ayarlar.

b) Çalışma prensipleri: Pistonun emme zamanına raslayan aşağı inişinde silindir içinde bir hava boşluğu(vakum)meydana gelir ve açılan emme supapından taze gazlar emilir. İşte bu vakum nedeniyle motorun emme manifolduna bağlı bulunan karbüratörün emis borusunda bir hava cereyanı meydana gelir ve benzini, emilen havaya pulvarize halinde karışık bir nevi buhar olarak emişmiş olur.

Karbüratör emis borusundan geçen havanın, karbüratörde mevcut olan benzini sürükleyp beraberinde götürürebilmesi için Ventüri olayından istifade edilir.

(1) Ventüri tesiri : Karbüratörün emis borusundan meydana gelen bu hava cereyanı, ana memenin ağızından takriben 2mm kadar aşağıda bulunan benzini(sabit seviye kabinin açık havası basinci etkisinde olmasından dolayı)memenin ucundan taşıracak hale getirir. Fakat bu cereyanın süratı: yakıtını ana memeden püskürtme yapacak şekilde emmeye kافي gelmez Dolayısıyle ventürinin görevi: Hava süzgecinden emilen ve karbüratör emis borusundan geçen havanın süratini artırmak ve ana meme ağızındaki basinci düşürmektedir. Onun için ventüri, havanın akışına en az mukavemet gösterecek şekilde yapılmış ve ana meme ağızındaki basinci en az değere indirebilmesi için de ortası daraltılmıştır.

(2) Hava-Yakıt nisbeti: Benzin motorlarında, taze gazı meydana getiren hava yakıt oranının büyük önemi vardır. En uygun hava-yakıt nisbeti, kullanılan benzinin beher gramına mukabil takriben 15gr. havadır. Bununla beraber röllanti, hızlanma, normal çalışma ve tam güç durumlarında değişik ovanlarda

gaza ihtiyaç duyulur.. Taze gazlar, hava benzin oranlarına göre aşağıdaki şekilde adlandırılır:

Fakir Karışım :	1gr. benzin ve 17,18,19,20 gr. hava
Normal "	1gr. benzin ve 14,15,16 gr. hava
Zengin "	1gr. benzin ve 9,10,11,12,13 gr. hava.

Bilhassa soğuk havalarda ve motorun ilk çalıştırılmasında, benzinin bir kısmı soğuk cıdalarda yapışık kalacağından zengin karışımı ihtiyaç duyulur. Normal çalışmada fakir bir karışım kafi geldiği halde yine zengin karışımı ihtiyaç duyulur.

Bazen gaz içinde bulunan benzin miktarına göre motor gücünü ve verimini meydana getiren eğrilerin meydana getirdiği doğrudan anlaşılacağı üzere motor gücü, yakıt sarfiyatı ve karışım oranına göre değişmektedir.

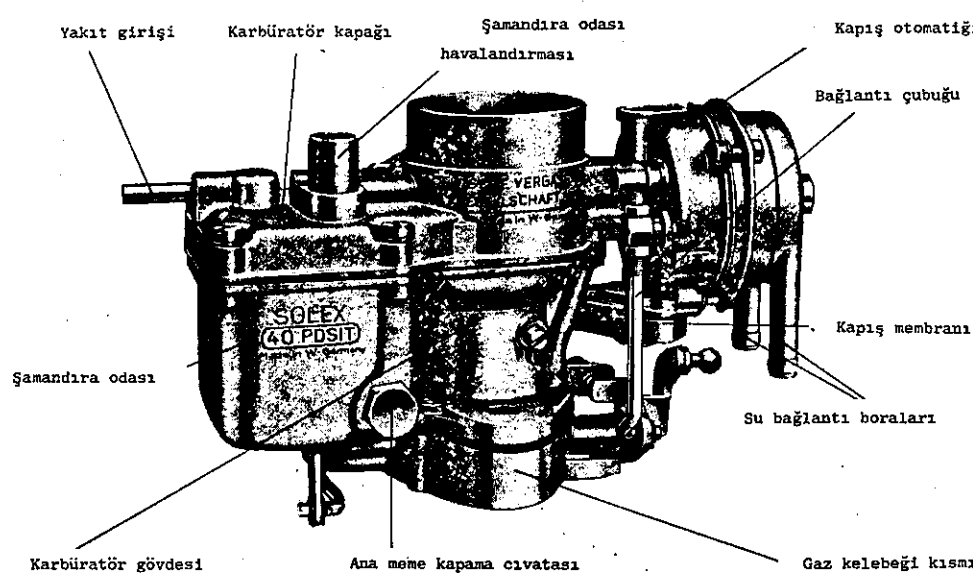
c) Karbüratör çeşitleri : Karbüratörler kullanılacakları yere ve yapılarına göre: şamandralı ve şamandrasız olarak iki ayrırlırlar.

(1) Şamandrasız karbüratörler: Şamandrasız karbüratörler çok ufak motorlarda kullanılırlar. Bu tip karbüratörlerde benzin akışı bir pistona veya diyafram'a bağlı iğne ile ayarlanır

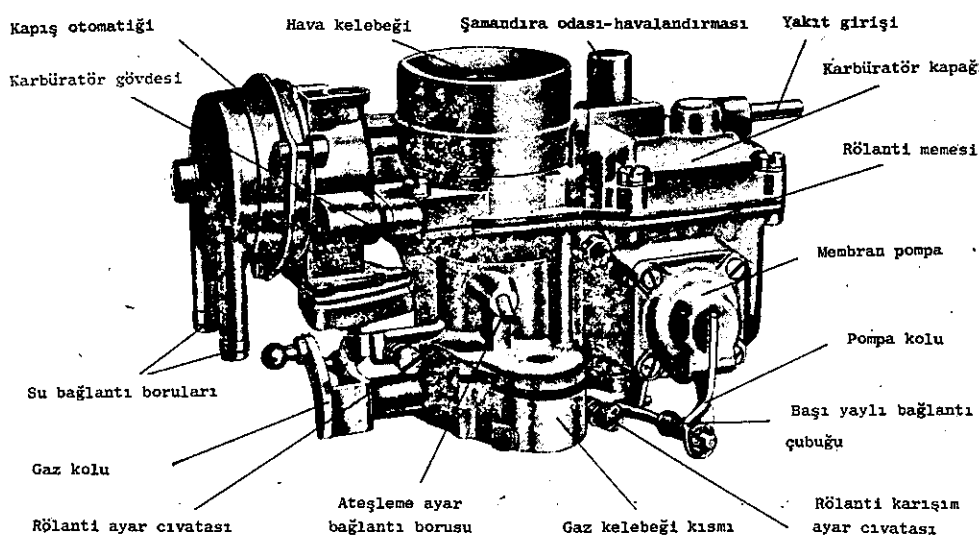
(2) Şamandralı karbüratörler: Karbüratör denince ilk akla gelen bu tipler olup, benzini ve gazla çalışan motorlarda bunlar kullanılmaktadır. "SOLEX, CARTER, ZENITH", vs. gibi değişik tipleri vardır. Şamandralı karbüratörler, motorun karışım emis durumuna göre üçe ayrılırlar:

- (a) Aşağı (düşey) emişli karbüratörler
- (b) Yukarı emişli karbüratörler
- (c) Düz (yatık) emişli karbüratörler.

Bunların içinde en az kullanılan tip, düz emişli olanlardır. Yukarı emişli olanların, motorun boğulmaması hariç, aşağı emişli olanlara nazaran tercih edilen hiçbir tarafı yoktur. Esasen bir karbüratör iyi dolgu yapabilmeli, soğuk havalarda motör kolay çalışmalı, gaz akışını frenleyen herhangi bir sebep olmamalı ve sökülp takılması, ilgisi bulunduğu parçalarla bağlantıları kolay olmalıdır. Bu sayılan üstünlüklerle haiz olanlar düşey (aşağı) emişli karbüratörlerdir.



Solex -Düsey akışlı karbüratörü 40 PDSIT



Şekil 1 ve 2

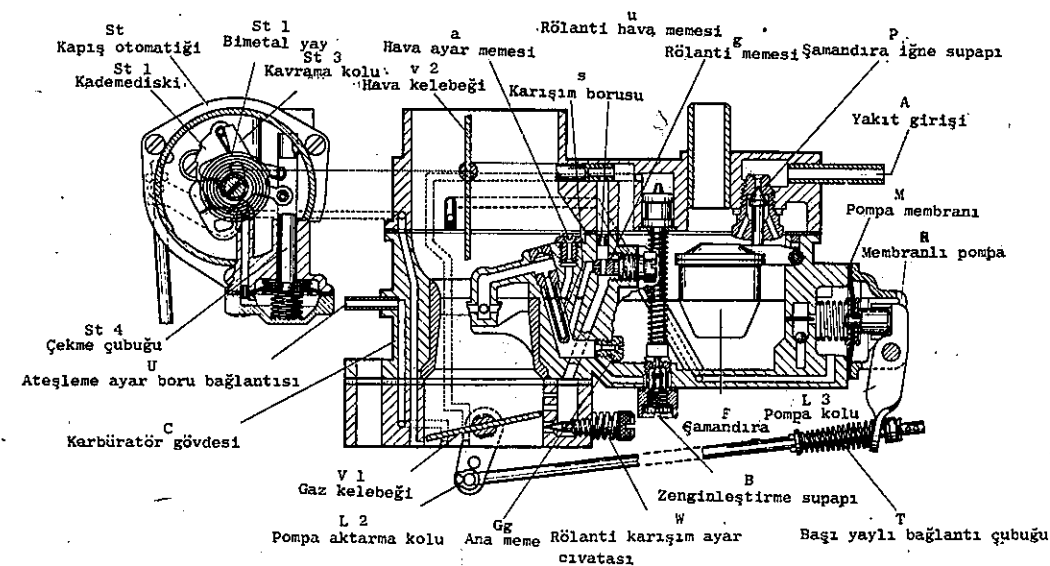
KARBÜRATÖRÜN ÇALIŞMASININ İZAHİ

Şekil 1 ve 2 de görülen karbüratör bir SOLEX-tip PDSIT düsey akışlı bir karbüratör olup, emme boru ağzı 40mm. dir. Karbüratör üç ana guruptan teşekkül etmiştir.

Gaz kelebeği kısmı : Gaz kelebeği ile mili, gaz kolu ve pompa aktarma kolundan ibarettir. Röлanti-ayar cıvatası dışarıdan gaz kelebeği kısmına civatalanmıştır. Gaz kelebeği kısmı ile karbüratör gövdesi arasında bir ^{yolium yada tıpti} isole flanş bulunur.

Karbüratör gövdesi : Bu gövde, karışım hücresi(odası) ile şamandıra odasını birleştirir ve yakıt-hava karışımını hazırlamak için gerekli bütün parçaları içine alır. Şamandıra odası yanına ivme verme pompası ve karışım odası yanına da ateşleme ayarı için alt basınç bağlantısı getirilmiştir. Röлanti, memesi ise dışarıdan karbüratör gövdesi içine civatalanmıştır.

Şekil.3. Solex-düsey akış karbüratörü tip 40 PDSIT-Şematik görünüşü



Karbüratör kapağı : Bu kapak karbüratör gövdesi üzerine oturtulmuş ve demonte civataları ile bağlanmıştır. İkişi arasına da bir conta konulmuştur. Karbüratör kapağı yanında yakıt girişisi için bir bağlantı borusu, şamandra hücresi-havalandırmaşı ve alttan civatalanmış şamandıra iğne supapı bulunur. Bundan başka karbüratör kapağı zengin karışım sistemi ve tüm ilk hareket otomatığı için piston çubuğu ve yay ile alçak basınç pistonunu içine alır.

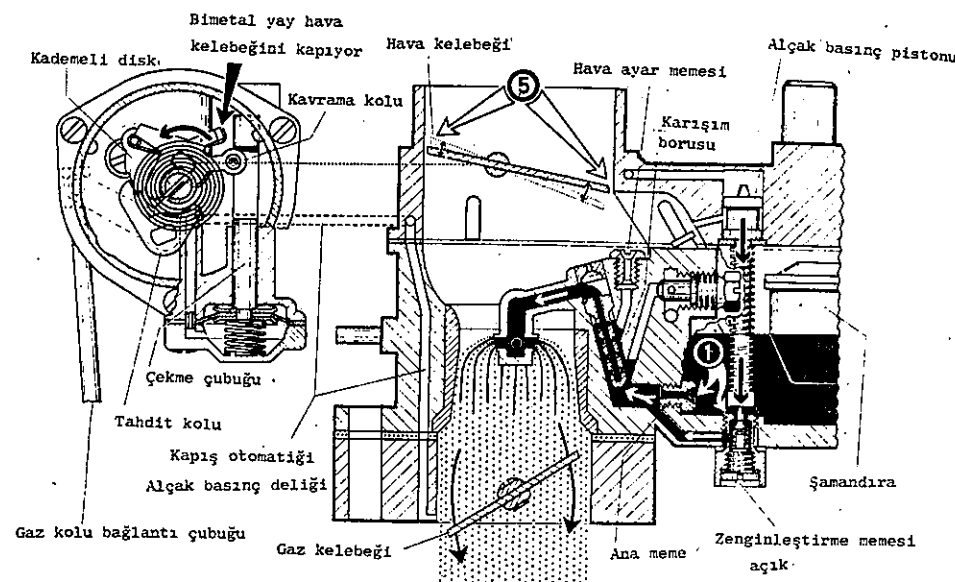
Şamandıra ve şamandıra iğne supapından ibaret olan şamandıra düzeni ile karbüratör içindeki yakıt seviyesi sabit tutulur. Yakıt seviyesi öngörülen yüksekliğe eriştiği an, yakıtın kaldırma tesiri ile şamandıra iğnesi, iğne yuvasına doğru itilir ve böylece yakıt girişini kapanmış olur.

1. İlk hareket (jigle) otomatiği (Şekil 4)

Karbüratörün ilk hareket otomatiği sıcak su ile ısıtılır. Motorun soğutma suyu, su kamarası içinden yan taraftan ilk hareket otomatiğine gönderilir ve bimetal yayının ısıtılması sağlanır.

Hava (jigle) kelebeği mili, her ısı derece farkına karşı hassas olan spiral şekilli bimetal yayının gerilimi altında bulunur. Soğuk durumda hava kelebeği dış hava ısı derecesine bağlı olarak az veya çok kapalıdır. Çünkü bimetal yayının soğumasıyla yayın hareketi ile kapama yönünde dönüş yapar. Bimetal yayının ısınması ile kapama kuvveti azalır ve hava kelebeği normal çalışma ısısına erişip hava girişini tamamen serbest bırakıncaya kadar kadar açılır. Hava kelebeğinin açılması, kelebek ağırlık merkezi dışarıda olan büyük bir kanada sahip olmasıyla sağlanır. Kelebeğin geniş olan kısmı aşağıya doğru açılır.

Hava kelebeği kapandığı zaman, aynı anda gaz kelebeği biraz açık kalır. Bu bağıntı söylece sağlanmıştır: İlk hareket kelebeği (hava kelebeği) nin kapanmasında, hava kelebeği mili ile sıkıca bağlantılı olan kavrama kolu, serbest hareketli kademeli diskini kaldırır ve dayama segmentini etkili duruma getirir.



Şekil 4. İlk harekete geçiş (kapış) devresi

① Yakıt akışı

⑤ Kapış devresi hava girişi

Bir kol ve bağlantı çubuğu üzerinden gaz kelebeği biraz açık tutulur. Bu şekilde motorun ilk çalışmasında meydana gelen alçak basınç, hava kelebeğinin altına kadar tesir eder. O, yakıt karışımını karışım boru deligidenden alır ve çıkış kolu üzerinden karışım hücresine sevkeder. Karışım teşekkülü için gerekli olan hava, hava kelebeği üzerinden emilir ve - alçak basınçla meydana gelen açmada, ve bimetal yayın gerilimi nedeniyle - kapama arasında dalgalanmaya getirir. Bu sayede motora, önce, dış soğuk hava şartlarında emniyetle ilk harekete getiren yakıt yönünden zengin ilk karışım teşekkül eder. Meydana gelen ısınma ile hava kelebeği açılma başlar ve ilk hareket karışımının hava oranı yükselmeye başlar ve dolayısıyla karışım zenginliği azalmaya dönüşür. Hava kelebeği düşey duruma geçinceye kadar devam eder ve karışım normal şekele dö-

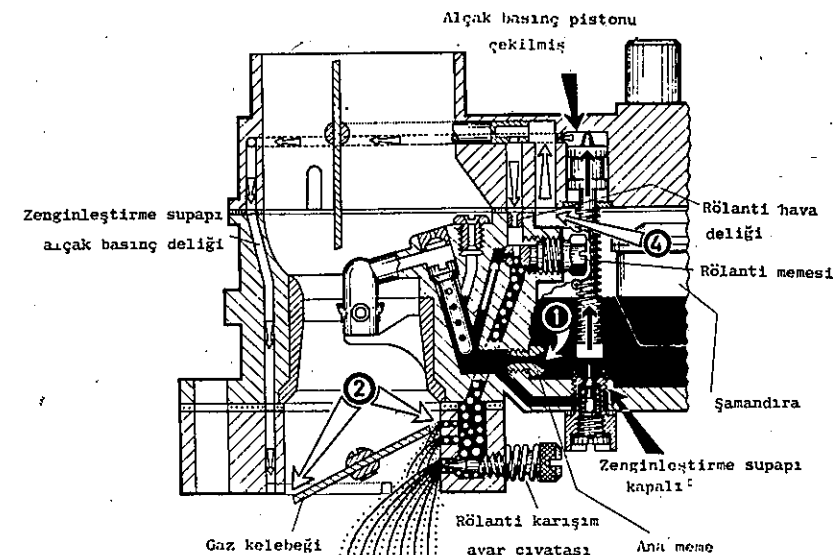
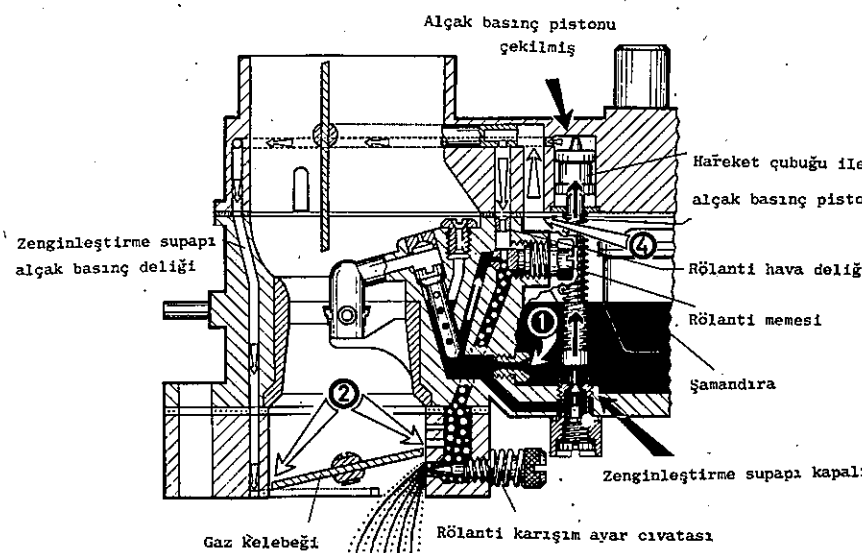
nüsür, ilk hareket otomatigine ait olan alçak basınç membranının görevi, hava kelebeğini motorun harekete geçmesinden sonra yüksek rölati devirlerinde ve küçük kısmi yüklenmelerde bimetal yayın gerilimine karşı biraz açmaktadır. Bu şekilde yakıt hava karışımın fazla yağlanmasıne karşı hava verilerek zıt yönde etki edilmiş olunur. Yüksek devirle meydana gelen alçak basınç nedeniyle membranlar çekilir. Bu hareket, çekme çubuğu üzerinden, hava kelebeği ile sıkıca bağlı olan kavrama koluna aktarılır. Hava kelebeğide böylece biraz açılır.

2. Rölati ve Geçiş devresi (Şekil 5-6)

Rölati devresi için yakıt ana meme üzerinden sağlanır. Rölati memesi ile de ayarlanır. Rölati havası karbüratör kapağı içindeki, hava kelebeği milindeki deliklerden şamandıra gövdesinden alınır. Hava kelebeğinin kapalı olması halinde rölati hava girişi kapanır ve rölati karışımı zenginleştir. Ancak tam açık hava kelebeği durumundan, karbüratör kapağındaki ve hava kelebeği milindeki delikler birbiri ile çakıştığı an rölati havası sevkedilir ve böylece karışım zenginliği zayıflar.

Şekil.5. Rölati devresi çalışma şekli

- ① Yakıt akışı
- ② Ana hava girişi
- ④ Rölati hava girişi



Şekil.6. Geçiş devresi

- ① Yakıt akışı
- ② Ana hava girişi
- ④ Rölati hava girişi

Bu karışım aşağıya, kapalı gaz kelebeği yanlarına ve altına sevk edilir. En alttaki delikten çıkış, rölati karışım-ayar civatası vasıtasıyla ayarlanır. Bu delikten rölati karışımı, gaz kelebeğinin rölati durus vaziyetinde emme kanallı içerişine emilmiştir.

Yukarıda bulunan her iki delik, By-Pass(kısa devre)delikleri olarak veya geçiş delikleri diye tanımlanır. Her iki delik, rölati devresinden ana meme devresine (sisteme) geçişin düzgün olmasını temin ederler. Gaz kelebeği aralığın dan geçen hava ile rölati emisi, rölati karışımına hazırlanır.

Rölati karışım-ayar civatası ileri gidecek şekilde çevrildiğinde yakıt karışımı yönünden zayıf ve geri gidecek şekilde döndürüldüğünde yakıt yönünden zengin rölati karışım-

şimi elde edilir.

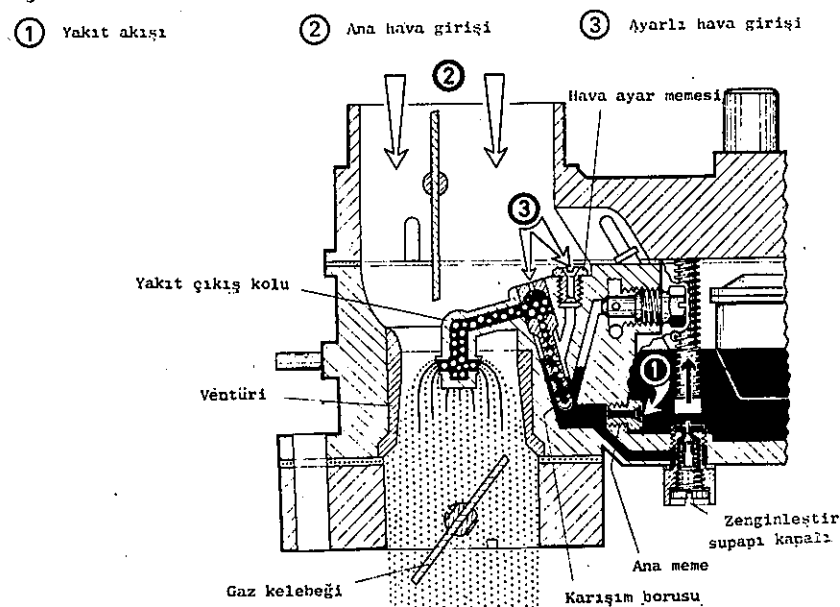
Rölanti ayar civatasının yardımıyla rölanti devresinde motorun devri ayarlanabilir. Rölanti devrinin ayarı, eğer hava kelebeği tamamen açık ise, motorun ısınmış durumunda yapılmalıdır.

3. Normal çalışma durumu (Şekil 7)

Yakıt, şamandıra odasından ve ana meme üzerinden, içerisinde yukarıdan karışım borusu preslenmiş olan delik içine ulaşır. Enine bir delik hava oranını düzeltme memesine olan bağlantısı temin eder. Yakıt çıkışı (karışım borusu üzerinde bulunan bir delik içerisinde havası alınır) karışım odası içindeki ilgili çıkış kolu üzerinden olur.

Hareketsiz durumda, şamandıra odası ve karışım boru içindeki yakıt seviyesi aynı yüksekliktedir. Emme kanalı içinde meydana gelen alçak basıncın tesiri altında yakıt, çıkışındaki gizlalar vasıtasıyla emilir.

Şekil.7. Normal çalışma devresi

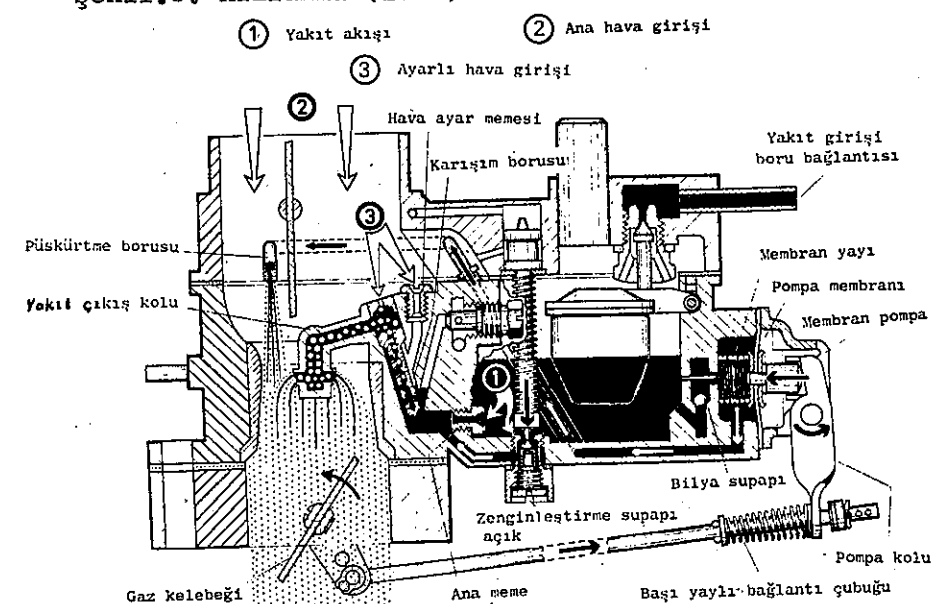


Şayet, yükselen alçak basınç tesiri ile yakıt seviyesi karışım borusu içinde düşerse, hava ayar memesi ile dengeleme havası içeri girer. Bu sayede karışım borusunun küçük delikleri vasıtasıyla ana meme içinden akan yakıtla birlikte bir karışma geçer. Hava ayar memesinin tesiri ile yakıt-hava karışım bileşimi, motorun tüm devir alanı üzerinde motor şartlarına uygun bir karışım oranı sağlanmış olur.

4. Hızlanma (ivme) devresi (Şekil 8)

Hızlanma (sürat) pompasının görevi gaz kelebeğinin aniden açılması anında gerekli yakıtı hazır bulundurmak ve ana meme tesirinin başlamasına kadar geçen zamanı yeterli yakıtla besleyerek geçmeyi temin etmektedir. Sürat pompasının çalışma ala-

Şekil.8. Hızlanma (ivme) devresi

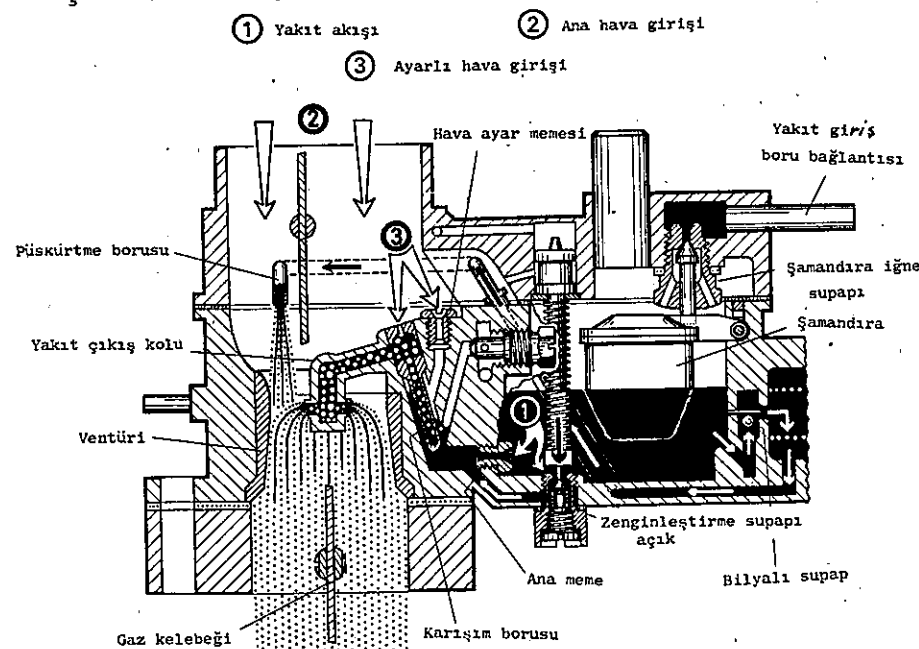


ni yakıtla doludur. Yakıt, şamandıra odasından emilir. Pompa serbest durumda iken pompa membranı (diyaframı) membran yarı yardımıyle pompa koluna doğru itilir ve bu kolda membranı içe doğru iter. Böylece yakıt, püskürtme borusu içerisinde karışım odasına püskürtülür. Hızlanma durumunda sevdilen yakıtın miktarı pompa kursu ile belirlenmiştir. Püskürtme olayı esnasında, yakıtın pompaya doğru girişinde bulan bilya supapı, yakıtın şamandıra odasına tekrar akmasına mani olur. Pompa çıkışında bulunan ikinci bir bilyalı supap, pompanın emme kursu arasında karışım odasından havanın pompa hücresine akmasına imkan vermez. Pompa sisteminin havasının boşaltılması için püskürtme borusuna doğru uzanan delik ile şamandıra odası arası, bir geri dönüş deliği öngörülmüşdür. Alçak basıncın belirli bir değerinden itibaren karışım odasında ilave olarak az miktarda bir yakıt, pompa sistemi üzerinden emilir.

5. Tam yükte çalışma devresi (Şekil 9)

Tam yükte çalışma sistemi, bir zenginleştirme supapı, hareket çubuğu ve yayı ile alçak basınç pistonundan ibarettir. Kumanda için öngörülen alçak basınç emis kanalından alınır. Burada alçak basıncın karakteristik değişimi karışım odasının farklıdır. Yani alçak basınç gaz kelebeğinin açılması arttıkça o da azalır. Küçük devir sayılarında nisbeten yüksek olan alçak basınç vasıtasiyle alçak basınç pistonu, yaya doğru çekilir. Hareket çubuğu, zenginleştirme supapını serbest bırakır ve bu yolla onu kapatır. Gaz kelebeği açılması büyükçe ve motorun devir sayısı arttıkça, emme kanalında alçak basınç düşer ve basınç belirli bir değere eritiği an, hareket çubuğunun yayına karşı artık hiçbir etki edemez. Hareket çubuğu, yay vasıtasiyla aşağı doğru itilir ve zenginleştirme supapı açılır. Bu anda ilave yakıt, zenginleştirme supapı üzerinden akabilir ve böylece yakıt hava karışımı tekrar zenginleşir.

Şekil.9. Tam yük devresinde çalışma şekli



B. Genel Hususlar

- Bu karbüratör daima şamandıra odası ile, vasıta hareket yönünde aşağıya doğru monte edilir.

Karbüratörün emme kanalı üzerine tesbiti için konulan flans çivitleri arasına sıkıştırılabilir.

Gaz çubuğunun montajında, hareket koluna gelebilecek her gerilim ve boşluktan kaçınılmalıdır. Gaz kelebeğinin tam olarak açılması ve kapanması temin edilmiş olmalıdır.

Yakit borusu katıyen motorun iyice yakınına getirilmemeli, eksoz çıkışının yakınından muhakkak surette kaçınılmalıdır.

Ayar vazifesi gören tüm parçalar zaman zaman temizlenmelidir. Bu parçaların takılıp çıkarılması kolay olacak şekilde öngörülmüştür.

Yakit boruları, bağlantı yerleri ve karbüratörün sızdır mazlığına dikkat edilmelidir. Zaman zaman karbüratör kapağı alınarak, arızalar meydana getirmeden birikinti ve kalıntılardan temizlenmelidir. Temizleme işlemi en uygun, çok yüksek olmamak şartıyla tazyikli hava ile yapılmalıdır.

Memeler katyen sert maddelerle temizlenmemelidir.

Memeler katyen yeniden delinmemeli veya sert madde ile zorlanmamalıdır.

-Arızalı parçanın değiştirilmesi gerektiği takdirde, ayar uygunluğunu temin etmek için mümkün mertebe aynı firmanın yedek parçası kullanılmalıdır. Orijinal memelerin kontrol işlemi pnömatik mikrometrelerle yapılmaktadır.

Karbüratör üzerindeki civataların yerlerine sıkı şekilde oturmalarına ve bilhassa karbüratör flans civatalarına, dikkat etmelidir.

Hava filtreleri zaman zaman kullanma talimatına göre temizlenmelidir.

Yakit sarfiyatı büyük ölçüde araba hareket tarzına bağlıdır. Ekonomik araba kullanmak için aşağıda iki tavsiye verilmiştir.

Birinci vitesi sadece kalkış için, kuvvetle hız kazanmak için kullanmayın. Böylece motoru aşırı zorlamayıp, vaktinden önce daha sonraki viteslere geçiriniz. Hızlanma esnasında tam gaz vermeyiniz, aksine gazı artan hızı uygun olarak yavaş yavaş yükseltiniz.

ENJEKTÖR POMPALARI

Bilindiği üzere diesel motorlarında silindirlere yalnız hava emilir ve emilen hava sıkıştırılır ve böylece sıkışmayla çok ısınan havaya yakıt püskürtmek suretiyle yanma sağlanmış olur. Diesel yakıtının belirli bir zaman aralığı içinde, yanma odası içeresine püskürtülmesi lazımdır.

Enjektör pompalarının görevi, yakıtı enjektörlere bir basınç altında gördermek, sevk edilen mazotun miktarını tayin etmek ve motorun ateşleme sırasına göre her silindire yakıtı sevk etmektir. Muhtelif tip enjektör pompaları mevcuttur. Bütün silindirler için tek bir pompa olabildiği gibi, her silindir için ayrı bir pompa olabilir. Halen en fazla kullanılan sistem emniyet ve sadelik dolayısıyla, her silindir için bir pompa koymak ve bunların hepsini bir gövde içerisinde toplayarak vazife görmektir.

1. BOSCH Enjektör pompaları

Pompalar Bosch firması altında muhtelif milletlerce yapılmaktadır. Pompa üzerindeki rakam ve harfler pompa hakkında gerekli bilgileri verir.

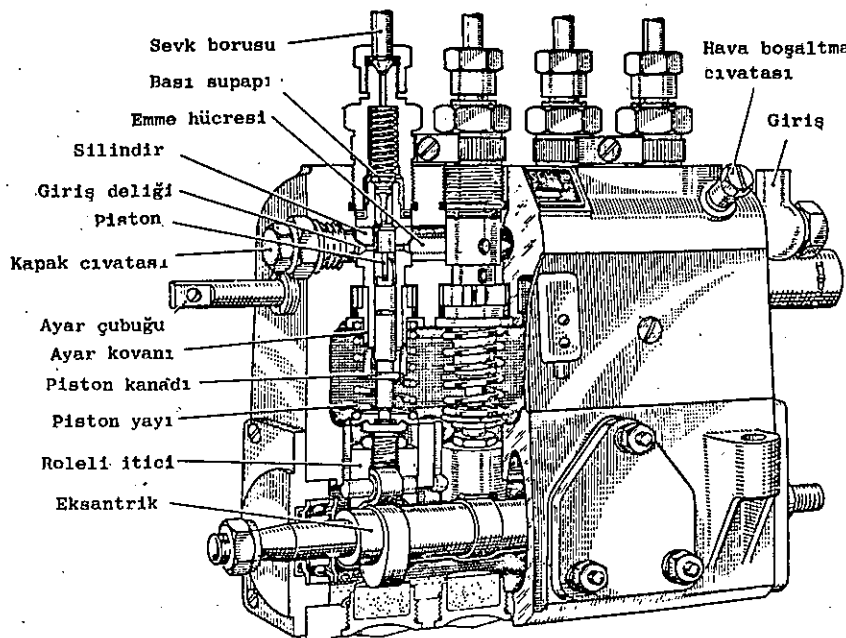
Enjektör pompa her silindire gerekli ve eşit miktarda yakıtı zamanında, pülverizasyonu sağlayacak basınç altında sevkeden, püskürtme hızı başlangıç ve süresini ayarlayan düzendir. Burada, her diesel püskürtme sisteminde istenilen 4 prensib vardır. 1. Pulverizasyon(atomizasyon), 2. Basınç, 3. Miktar Ölçme, 4. Kontrol. Bu hususları bazen enjektörlerle paylaşarak yaparlar. Bosch pompa çok elemanlı bir püskürtme pompasıdır. Motor tarafından çalıştırılır. Her silindir için bir pompa elemanı vardır. Bunlar:

a) Yakıt miktarını ölçer, b) Yüksek basınç altında yakıtı enjektörlere sevk etme işi yapar. c) Hepsini tek bir eksantrik mili işletir. d) Hepsini tek bir kontrol kolu(kremayer) idare eder.

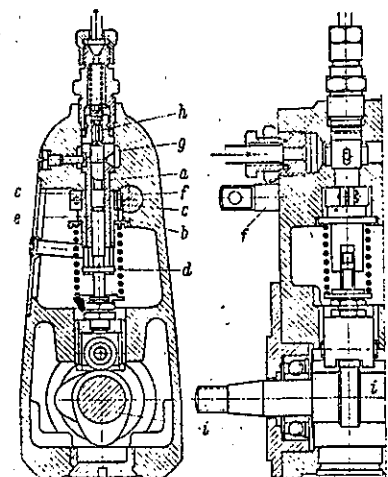
Eksantrik mili kamları plancır denen pistonları yukarı iter, yaylar ise plancırın aşağı hareketini sağlarlar. Kamlar motorun ateşleme sırasına göre hareket ederler. Yalnız 4 zamanlı motorlarda pompa 1/2 motor hızında döner ve 2 zamanlı motorlarda aynı hızla dönerler.

a) Bosch pompa elemanları

Tüm Bosch pompaları sabit stroklu(ayarlanabilir) basit tesirli pistonlu pompalardır. Yakıt miktarının ayarı pompa elemanlarının uygun şekilde konstrüksiyonu ile sağlanır.(Şek.1) ve (Şek.2).



Şek 1: 4-Silindirli-motora ait Enjektör pompa, Bosch.



Şek 2: Enjektör pompa kesiti(Bosch)

Her enjektör pompa, motor üzerinde bulunan silindir a dedi kadar pompa elemanına sahiptir. Şek.1 de gösterilen pompa 4-silindirli motor için öngörülmüştür.

Her pompa elemanı bir piston ve bir silindirden teşekkül eder. Piston silindir içeresine o derece hassasiyetle geçirilmiştir ki (Boşluk binde 2-3mm., leblenmiş yüzey) çok yüksek basınç altında ve alçak devirlerde bile özel bir kontaya ihtiyaç duymadan sıkıştırma yapmaz. Dolayısıyle piston silindir çifti ayrı ayrı değil, ancak komple olarak degistirilebilir. Piston gömleği helis halde uzanan bir kanaala sahiptir. Böylece eğik köşe kumandalı piston(plancır) elde edilmiş olur. Silindir, karşı karşıya gelen iki radyal deliğe sahiptir. Bunların içinden yakıt, silindirin basıncı hârcasına ulaşır.

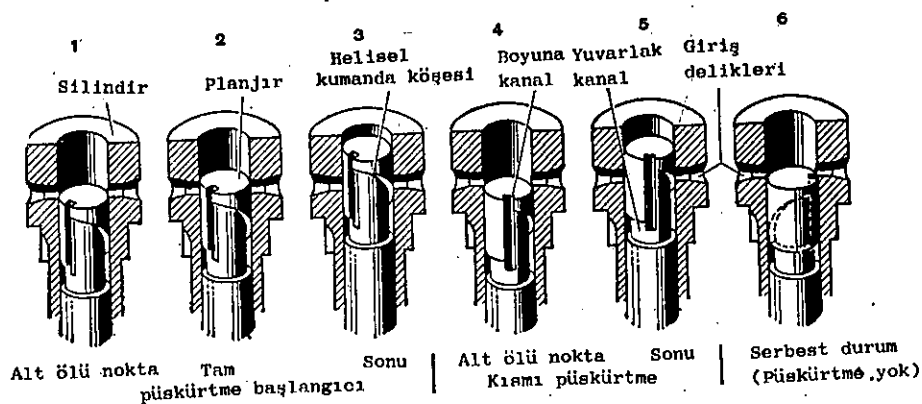
Plancır, basma kursunda kam tarafından ve emme kursunda piston yayı ile hareket eder. Silindir yaylı bir bası supapı ile kapatılmıştır. Buraya, enjektör memelerine uzanan basınç boruları bağlanır.

Yakıt deposu, bir pompa ve filtre üzerinden giriş boru bağlantısıyla emme odası ile irtibatlanmıştır. Silindir üzerinden bir ayar kovası itilir. Kovanın üst kısmında bir kremayer dişli öngörülmüştür. Kovanın alt kısmında ise iki boyuna kanal vardır. Dişli segmentinin dişlerini, ayar çubuğu kavrar. Ayar çubuğu yardımıyle pompa pistonu çalışma anında döner. Böylece de pompanın emisi sıfırdan maksimum, değere kadar kademesiz olarak değişmiş olur.

Gerektiğinde ayar çubuğu, regülatörün ayar kolu ile irtibatlanır. Bu bağlantıda hiçbir yan ve dönme kuvvetinin, regülatör kolu üzerinden ayar çubugu aktarılmamasına dik kat edilmelidir. Aksi takdirde yakıt miktarı sevki hatalı olur.

Çalışma tarzı

Once de söylenildiği gibi piston sabit strokla çalışır. Pistonun en alt duruş vaziyetinde (Şek.3/1 - 6) piston üzerindeki basınç odası yakıtla dolar. Bu yakıt, emme hârcasından giriş delikleri ile içeri akar.



Şek 3: Piston(plancırın)dönmesiyle püskürtme miktarının ayarı

Piston yukarı doğru hareket ederken giriş deliklerini kapar, (Şek.3/2) ve yakıtı tevsi supapı içerisindeki basınç borusuna sevkeder. Helisel kumanda kösesi ve giriş delikleri birbiri ile çakıştığı an, (Şek.3/3-5) sevketme de bitmiş olur. Çünkü bu andan itibaren silindirin basınç odası (boyuna ve dairesel kanal üzerinden) emme odası ile birleşmiş olur. Böylece yakıt, emme odasına tekrar basılır. Boyuna kanal ve giriş deliği birbirleriyle çakışacak şekilde piston döndüğü zaman (Şek.3/6) basınç odasındaki yakıta hiçbir basınç tesir etmez. Yani hiç yakıt sevkedilmez.

Tekrar piston aşağı inip delikleri astığı anda içeriye, pompadan basınçla gelen yakıt dolar. Plancır delikleri kapayıp yukarı çıkışın yakıtı sıkıştırır ve üstündeki tevsi supapını (yay basıncılı) belli bir basınçla açarak yakıtı enjektörlerde sevkeder. İşlem böylece devam eder.

Tevsi supapı: Plancırın helisel kumanda kösesi, giriş deliklerini serbest bıraktığı an, pompa silindiri içinde basınç düşer. Tevsi supapı yay basıncı farkından dolayı derhal kapanır. Bu anda tevsi supapı iki iş görür.

- 147
- a) Yüksek basınç altındaki basıncı azaltır ve böylece enjektör meme iğnesinin derhal kapanması temin edilir. Yakıtın yanma odasına damlamasına mani olunur.
 - b) Yüksek basınç borularındaki yakıtın sızmasını önler.

b) Pompanın yağlanması: Enjektör pompasında eksantrikin bulunduğu hazne dağıma motor yağı ile doludur. Bu suretle bilyalı yataklar yağlanmış olur. Yağ miktarı, yağ seviye çubuğuundan kontrol edilir. Kullanılan yağ iyi bir motor yağıdır.

Plancırlar yakıt ile yağlandıklarından ayrıca yağ istemezler. Enjektör pompasında ariza yapacak esas madde pislikdir. Buna mümkün olduğu kadar mani olunmaya çalışılmalıdır.

Her 1500 km de bir yağ seviyesi kontrol edilmeli ve gerektiğinde yağ ilave edilmelidir.

c) Pompanın motora bağlanması: Pompa motora bağlanmadan önce, pompanın eksantrik mili uygun duruş vaziyetine getirilmelidir. Yani, tahrik tarafına en yakın bulunan pompa pistonu, püskürtme başlangıcına göre ayarlanmalıdır.

d) Pompanın havasının alınması: Aşağıdaki nedenlerle pompanın havasının alınması gereklidir.

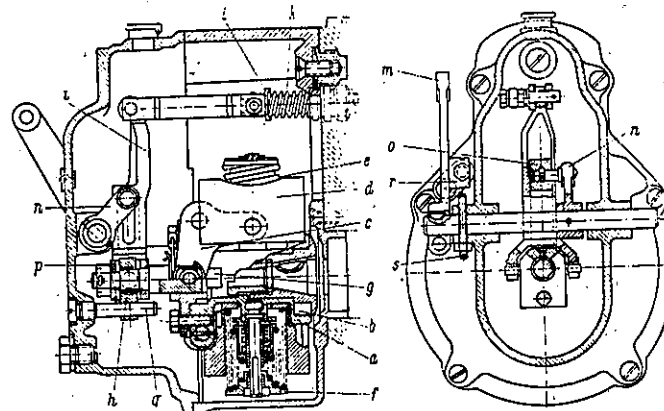
1. Pompa ilk işletmeye alınmadan evvel,
2. Pompa uzun süre kullanılmamışsa,
3. Pompa veya giriş ve çıkış bağlantıları çeşitli nedenlerle çözülmüş veya demonte edilmiş ise,
4. Emme haznesinde veya bağlantılarında hava varsa.

2) REGÜLATÖR: Araçlarda sürücü, duruma göre istenilen dönme momentini sağlamak için gerekli olan yakıt miktarını enjektör pompasının ayar çubuğu ile irtibatlı olan gaz ayağ pedalına basarak sağlar. Böylece rölatif devrini emniyete almak ve azami devir sayısını sınırlamak için, rölatif ve azami devir regülatörü enjektör pompasına bağlanmıştır. Regülatör bu sınırlar dahilinde çalışmaz. Motor, sürücü tarafından gelişigüzel ayarlanan devirle döner.

- a) Mekanik tip santrifuj kuvvetli regülatörler

Çalışma şekli: Enjektör pompasının eksantrik mili ile tit-

resim susturucu b üzerinden irtibatlı olan regülatör başlığı a üzerine, iki çift açılı kol c yataklanmıştır. Açılı kolun biri üzerine santrifuj ağırlıkları d asılmıştır. Bu



Sek 4: Kanal yataklı-hız regülatörü, Bosch.

- a) Regülatör başlığı(göbeği),
- b) Titreşim susturucu,
- c) Açılı kol,
- d) Santrifuj ağırlıklar,
- e) Ayar yayları,
- f) Ayar somunu,
- g) Ayar pimi,
- h) Kaymalı elemanı,
- i) Ayar kolu,
- k) Ayar çubuğu,
- l) Boşluk ayar yayı,
- m) Bağlantı kolu,
- n) Döndürme kolu,
- o) Kanal yatak parçası,
- p) Muvazene(ayar)diski,
- q) Kılavuz pimi,
- r) Tahdit çenesi,
- s) Tahdit civatası.

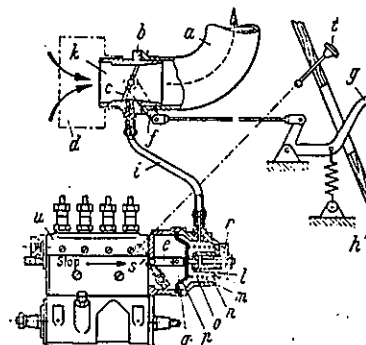
ağırlıklar ayar yayları e'ye karşı desteklenmiştir. Santrifuj ağırlıkların hareketleri c nin diğer açılı kolu tarafından, ayar pimi g üzerinden kayıcı eleman h üzerine aktarılır. h ayar kolu i ile bağlantılıdır. Ayar kolu i de enjektör pompasının ayar çubuğu k ile mafsallı çatal yardımıyla kavramalıdır. yayı boşluk ayarı için öngörülmüşdür.

Gaz pedalı bir bağlantı kolu üzerinden ayar kolu m ile irtibatlıdır. Ayak gaz pedalının hareketi; m, döndürme kolu n ve o üzerinden, ayar kolu r ve ayar çubuğu k üzerine aktarılır.

Rölanti devir sayısı: Yalnız harici ayar yayı üzerinden ayarlanır. Motor en yüksek devir sayısını aştığı an son ayar yayları, santrifuj ağırlıkları gevsetirler.

b) Pnömatik Regülatörler

Rölanti devir sayısı ile azami devir sayısı birbirinden oldukça farklı motorlar ile küçük hız devirli diesel motorları, ayar kuvveti olarak motorun emme borusu içindeki alçak basıncın varalarınlar.



- Sek 5: Pnömatik devir ayar regülatörü, Bosch.
- a) Emme kanalı
 - b) Kelebek dayağı
 - c) Ayar kelebeği
 - d) Hava滤resi
 - e) Enjektör pompası ayar çubuğu
 - f) Çevirme kolu
 - g) Ayak gaz pedali
 - h) Ara duvar
 - i) Bağlantı hortumu
 - j) Ventüri borusu
 - l) Membran bloku
 - m) Alçak basınç hücresi
 - n) Yardımcı yay
 - o) Ana yay
 - p) Membran
 - q) Hava basınç-hücresi
 - t) Çekme düğmesi
 - u) Enjektör pompası

Sek.5: Çalışma şekli

Alçak basıncın artırılması için emme kanalı a içinde ventüri borusu olarak öngörülen kelebek borusu bağlanmıştır. Bu borunun en dar yerinde bağlantı çubuğu yardımıyla ayar gaz pedali g ile irtibatlanmış, ayar kelebeği c bulunur. Devir sayısına ve kelebek duruş vaziyetine bağlı alçak basınç, hortum i içerisinde enjektör pompasının membran bloku içinde bulunan yay etkisindeki membran p üzerine aktarılır. Bu alçak basınç ayar çubuğu e'nin duruş vaziyetini tayin eder. Regülatör sadece rölanti ve azami devir sayısını sınırlamakla kalmaz, aynı zamanda her gaz pedali durumundaki belirli devir sayısının tutulmasına etkili olur.

3. Püskürtme başlangıç ayarı

Eğer yükselen motor devir sayısı ile birlikte, püskürtme başlangıcı da daha öne alınabilirse, motor gücünden daha yararlanılmış olunur. Muhtelif yakıtlara göre bu sürenin ayarlanması faydalı bir özellik arzeder. Elle ayarlama (pompa mili üzerinde 8° ve 12° ye kadar) veya santrifuj ağırlıklarla otomatik ayarlama (pompa milinde 3° - 12° arasında), pompa milinin kavrama kısmı üzerinde yapılır.

4. Yakıt ihtiyacı ve püskürtme miktarı

Motorun devir sayısı arttıkça silindirlerin hava ile dolması daha da azalacağından, her iş kursu için gerekli yakıt ihtiyacı da azalır. Enjektör pompasında ise artan devir sayıları ile pistondaki yakıt kayipları daha da azalır ve püskürtme başlangıcı da daha erken olur. Böylece her pompa kursuna isabet eden pompa miktarı da artar. Diesel motorları, genel olarak düşük devir sahalarında en büyük dönme momentine göre ayarlanır.

Yüksek devirlerde motor böylece daha fazla yakıt harcamış olacaktır. Fazla yakıtın koku ve kuruntu yapmadan çalılışması, yakıtın yanma şekline bağlıdır. Motorun yakıt ihtiyacı ile enjektör pompasının püskürtme durumunu uyuşmamış bir hale getirmek için, püskürtme sistemi için özel uyuşma tertibatları öngörülür.

5. ENJEKTÖRLER

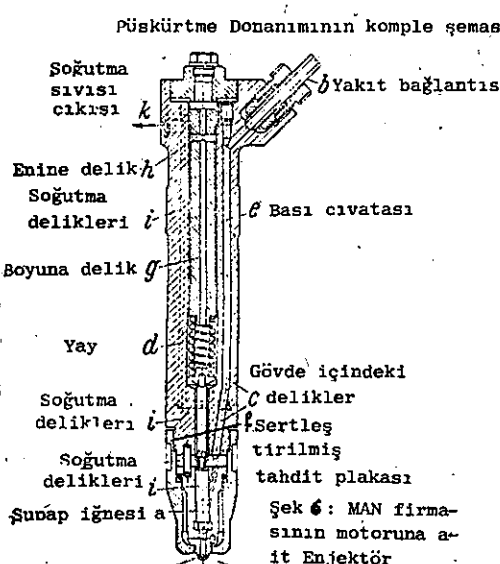
Silindirler içinde yakıtı püskürten parçalara enjektör denir. Diesel motorlarında motorun veriminin, püskürtme ile gayet yakın alakasının olduğu aşikardır. Püskürtülen yakıt zerreleri küçük olursa, yanma o kadar çabuk ve iyi olur. Zerrelerin büyük olması ve damla meydana gelmesi hinde, yanma tam olmaz. Dolayısıyle eksoz dumanlı olur. Aynı zamanda güçte düşer. Yalnız yakıt zerrelerinin ufak olmaları yeterli olmayıp, sıkıştırılmış hava içine sıkışma miktarlarının da rolü vardır. Zerrelerin çok küçük olmaları halinde girme miktarı azalır.

Yakıt sıkıştırılmış hava içerişine ne kadar fazla girip ilerleyebilirse yanma o kadar iyi olur. Bilhassa yanma odaları büyük olan ve özel bir tertibatla türbüfans meydana getirmeyen motorlarda, girmenin fazla olacağı anlaşılır. Mamafih silindir dahilinde sıkıştırılmış olan hava basın-

cıyla, yakıt cinsinin de rolü vardır. Hava basıncı ne kadar fazla olursa girme de o kadar az olur. Ayrıca çok uçucu olan yakıt fazla girme sağlamaz. Dağılmayı fazlalaştırmak için yakıt verilen basınç muayyen bir değere kadar yükseltilir. Daha fazla basınç da bir fayda temin etmediği gibi, yakıt donanımında fazla basınçtan dolayı arıza meydana gelmesi ihtimali de vardır. Püskürtme memesini açmak için gerekli hidrolik basıncın değeri yanma odası özelliklerine göre $200-400 \text{ kg/cm}^2$ dir.

iğne ve supapı yakıt basıncı ile çalışanlara hidrolik enjektörler, iğne ve supapı bir kam veya itecek yardımını ile mekanik olarak çalışanlara, mekanik enjektörler denir.

Enjektör gövdesi yüksek püskürtme basıncından dolayı daima dövme çelikten yapılmıştır. Supap yuvaları imkan dahilinde meme delikleri yakınına öngörülür, böylece supap kapamasından sonra meydana gelen patlamadaki ilave yakıt miktarı azalmış olur. Büyük enjektörlerde soğutma gereklidir. Soğutma sıvısı (su veya yakıt) memelerin yakınına kadar sokulmalıdır. Supap iğnesi üzerindeki oda atmosfer ile irtibatlı olmalıdır. Böylece supap yayı tam etkili olur.



Şekil 6. MAN firmasına ait Enjektör Pompası.
 a) Supap iğnesi
 b) Yakıt bağlantısı
 c) Gövde içindeki delikler
 d) Yay
 e) Bası civatası
 f) Sertleştirilmiş tahdit plakası
 g) Boyuna delik
 h) Enine delik
 i) Soğutma delikleri
 k) Soğutma sıvısı çıkışısı

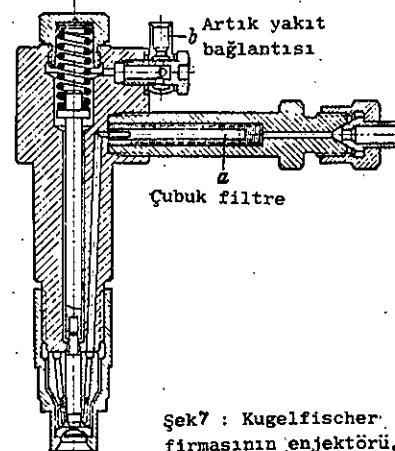
Şek 6: MAN firmasının motoruna ait Enjektör

Sekil 6. Çalışma şekli: Supap iğnesi a, sertleştirilmiş yayı konik olarak kapatır. Yakıt girişi, boru bağlantısı b ve gövde içindeki delikler c içerisinde supap iğne yatağına kadar ulaşır. Gelen basınç dalgası iğneyi kaldırır, böylece yay da sıkıştırılmış olur. Yay basıncının değiştirilmesi bası civataları e ile sağlanır. İğne kursu sertleştirilmiş plaka f ile sınırlanır. Boyuna g ve enine h delikleri fazla yakıtın çıkışını içindir (Atmosfer basıncı), i delikleri soğutma sıvısı içindir. k ise soğutma sıvısı çıkışıdır.

Sekil 7

- a) Çubuk filtre
- b) Artık yakıt bağlantısı

Sekil 7 de (tip: Kugelfischer Georg Schafer) iğne, direk düz meme plakası üzerinden kapa- ma yapar. Böylece damlama ön lenmiş olur. Yakıt gövde içe- risine girmeden önce çubuk filtre a ile filtre edilir. Artık (fazla) yakıt çıkışı b için, bağlantı o şekilde ya- pilmıştır ki, bağlantı her yönde döndürülebilir.



Sekil 7 : Kugelfischer firmasının enjektörü.

6. MEME ÇESİTLERİ

Memelerin püskürmedeki rolü çok fazladır. Bazı önemli meme çeşitleri şunlardır:

a) Tek delikli meme: Bu tip memelerde iğne yuvasından kalkınca yakıt, iğnenin kapatmış bulunduğu delikten silindire püskürür. Bu tip memeler sıkıştırma odasında türbülans fazla olan motorlarda kullanılır.

b) Çok delikli meme: Motorlardaki sıkıştırma odasının büyük ve püskürme demetinin birçok parçalara ayrılması ve bu suretle yakıtla havanın iyice karışması sağlanacağı düşünüllererek meme üzerine delik çapı 0,25 ve 0,5 mm olan bir

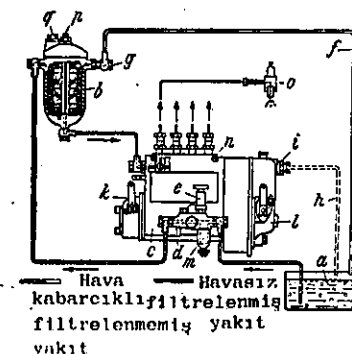
çok delik açılmıştır. Yakıt kaç delik varsa o kadar demete ayrılmak suretiyle silindir içine girer. Delik sayısı ve bunların birbirine göre vaziyetleri sıkıştırma odasının biçimine ve içerisindeki havanın hareketine bağlıdır.

c) Helisel yivli enjektörler: iğnenin ucunda helisel bir yiv vardır. Bu parça enjektörün uç kısmında oturmaktır olup, yukarıdan gelen yakıt bu yivlere uymak suretiyle delikten silindir içine girer. Bu esnada yakıtta helisel bir hareket aldığından hava ile karışır. (Lanz-Bolldag enjektörü).

d) Vickers memesi: Sıkıştırma odası çok basık ve enjektör tam ortaya monte edilmişse; bu yatık yanma odası için yatık bir püskürme demeti ihtiyac vardır. Enjektör pompasından sevk edilen basınçlı yakıt, parçanın üzerindeki ince yivlerden geçtikten sonra meme ucuna gelir. Burada ince ve küçük çaplı deliklerden gayet yatık bir şekilde silindire püskürür ve hava ile iyice karışır.

7) Püskürme donanımının komple şeması

- a' dan i'ye kadar parçalar metin içinde izah edilmiştir.
- k) Püskürme ayarı,
- l) Regülatör,
- m) Ön filtrelere,
- n) Püskürme pompa hava bo- şaltma cıvatası,
- o) Enjektör,
- p) Yakıt filtersi hava alma cıvatası,
- q) Doldurma cıvatası



Sekil 8. Çalışma şekli:

a deposundan yakıt filtersi Sek 8: Bosch Yakıt püskürme sisteminin b ye yakıtını pompalamak için, komple şeması.
enjektör pompa c yanına pistonlu pompa d bağlanmıştır. Pompanın sevk miktarı, enjektör pompasına doğru kanal için deki karşı basıncı bağlı olarak kendiliğinden ayarlanır. Pistonlu pompa yanındaki el pompa e, çalışmaya başlama-

dan evvel enjektör sisteminin havasının alınmasına ve yakıt doldurmaya hizmet eder. Hava kabarcıkları fazla yakıtla birlikte, artık yakıt borusu f içerisinde ayrıılır. Burası kabarcıkları ve benzerleri fazla akım ventili i ile enjektör pompasına bağlanmış, çizgi çizgi gösterilen h borusu içinden döner. Bu bağlantı olduğunda fazla akım ventili g ve dönüş bağlantısına gerek yoktur.

DISTRİBÜTÖR TİP YAKIT POMPALARı

Cummins motorları distribütörle tip yakıt sistemine sahiptirler.

Cummins yakıt pompaları:

- a) Tek diskli pompalar ve b) Çift diskli pompalar olmak üzere iki kısımdır.

Pompanın görevleri:

- Yakıt depodan çeker, her silindire eşit miktarda yakıt gitmesini ölçer.
- Ölçülü yakıt miktarını zamanında gerekli enjektöre sevkeder.
- Maksimum ve rölatif hızları kontrol eden bir regülatörü çalıştırır.

Diskli pompalar; dişli pompalar ve şamandıra, distribütör, ölçme pompa, hız regülatörü ve diğer parçalardan müteşekkildir.

Bütün bu parçalar enjektör pompa diye tek bir parça halindedir. Enjektör pompa mili motor hızında döner ve pompa mili, bir dişli vasıtasıyla motorun eksantrik mili tarafından çevrilir. Dişli pompaları, pompa mili çevirir. Birinci pompa yakıt depodan alır ve şamandıraya verir ve diğer pompa ise yakıt şamandıradan çeker distribütör ve ölçme pompasına sevk eder.

Distribütör: Distribütör dönen bir diskle münferit yakıt borularının bağlandığı bir kapaktan ibarettir. Disk ve kapakta bulunan bir takım delikler gerekli şekilde üst üste geldiği zaman ana yakıt pompasından yakıt ayar pompa na giden kanallar teşekkül eder. Bu durum, yakıt ayar pompasının emme strokunda pistonun aşağı doğru hareket etmesiyle meydana gelir. Yakıt, pompanın silindirini doldurur. Yakıt ayar pistonu ana yakıt ayar pompa eksantriğinden aldığı hareketle yukarı doğru hareket ederken distribütör

diski, kapaktaki yakıt çıkış deliği ile bir hizaya gelir ve bu suretle yakıt sırasına göre bir enjektör borusuna sevk edilir.

Ölçme pompa: Enjektör pompa 1 adet ölçme pompasına maliktir. Bu pompa yakıt miktarını ölçer ve basıncı temin eder. Pompanın plancısı yakıt kamına göre değişik strokla değişik miktar yakıt sarfeder. Yakıt miktarı, ölçme plancısının strokunu değiştirerek temin edilir.

Regülatörler: Cummins motorlarında iki tip regülatör kullanılır. Genellikle araçlarda kullanılanlar mekanik regülatörler ve stasyoner motorlarda kullanılanlar hidrolik regülatörlerdir.

Mekanik regülatörler, motorun ilk ve son hızını kontrol eder(sınırlı). Hidrolik regülatörler ise değişik hızlı regülatördür.

Cumminslerdeki hidrolik regülatörler, motor yağı basıncı ile çalışır. Yağın basıncı ile yağ miktarı artırılır. Bu basınçla karşı gelen bir yay kuvveti ile de yakıt miktarı gerektiği oranda azaltılmış olur.

LITERATÜR

- [1] NEFFERT, GEORG, und W. D. BENSINGER: Einzylinderprüfmaschine der Deutschen Versuchsanstalt für Luftfahrt e. V. ATZ 13 (1933) S. 391/392.
- [2] BENSINGER, W. D.: Neue Einzylinderprüfmaschine der Deutschen Versuchsanstalt für Luftfahrt e. V. ATZ 26 (1937) S. 621–623.
- [3] BENSINGER, W. D.: Einzylinderprüfmaschinen. Ringbuch der Luftfahrttechnik III, A 1.
- [4] PISCHINGER, A.: Die Steuerung der Verbrennungskraftmaschinen. Wien: Springer 1948.
- [5] ZEVNS, J.: Gestaltungsgrundlagen für Ventile im Flugmotor. Ringbuch der Luftfahrttechnik III, A 1.
- [6] RICARDO, HARRY R.: Schnellaufende Verbrennungsmotoren. Berlin: Springer 1932.
- [7] BENSINGER, W. D.: Einfluß der Zylinderzahl und -größe auf das Baugewicht von Flugmotoren. Ringbuch der Luftfahrttechnik III, A 4.
- [8] MAKING HYDRAULIC VALVE LIFTERS WITH ULTRA-PRECISION EQUIPMENT. Automotive Industries, 15. Febr. 1949 S. 42–45.
- [9] BENSINGER, W. D.: Die Wahl der Nockenform. ATZ 16 (1936) S. 412–414.
- [10] BENSINGER, W. D.: Berechnung und Gestaltung der Ventilsteuereinrichtung von Flugmotoren. Ringbuch der Luftfahrttechnik III, A 5.
- [11] BENSINGER, W. D.: Nocken mit Schwinghebel. MTZ 6 (1949), S. 123–125.
- [12] SCHLAEFKE, K.: Über die Beziehungen zwischen Form-Spektrum und Herstellungs-Genauigkeit von Steuernocken. Luftfahrtforschung 10/12 (1942) S. 353–357.
- [13] SCHROEDER, W.: Erhebungskennwerte und Form der Steuernocken. MTZ 2 (1949) S. 21–26.
- [14] DUDLEY, WINSTON M.: New Methods in Valve Cam Design. SAE Transactions 1948 S. 19–33.
- [15] THOREN, T. R., H. H. ENGEIMANN, D. A. STODDART: Cam Design as Related to Valve Train Dynamics. SAE Quarterly Transactions Jan. 1952 S. 1–13.
- [16] BISHOP, J. L. H.: Valve Gear Design. Automobile Engineer, June 1951 S. 233–238.
- [17] TURKISH, MICHAEL C.: Valve Gear Design. Detroit: Eaton Manufacturing Company 1946.
- [18] EBERHORST, R. EBERRAN V.: Grenzen des Gaswechselvorganges durch die Ventilsteuereinrichtung. MTZ 6 (1941) S. 193–200.
- [19] KURZ, D.: Entwurf und Berechnung ruckfreier Nocken. ATZ 11 (1954) S. 293–299.
- [20] HUSSMANN, A.: Berechnung und Gestaltung von Ventilfedern für Flugmotoren. Ringbuch der Luftfahrttechnik III, A 28.
- [21] HUSSMANN, A.: Schwingungen in schraubentörmigen Ventilfedern. Ringbuch der Luftfahrttechnik IV, A 1.
- [22] HUSSMANN, A.: Rechnerische Verfahren zur harmonischen Analyse und Synthese. Berlin: Springer 1938.
- [23] ZIPPERER: Tafeln zur harmonischen Analyse periodischer Kurven. Berlin: Springer 1930.
- [24] BENSINGER, W. D.: Die Kette zum Antrieb der Nockenwelle bei Kraftfahrzeugmotoren. Konstruktion 5 (1954) S. 180–183.
- [25] RIOPEDDE, EARL F.: Important Factors in Designing Camshaft Chain Drives. Automotive Industries, 15. Okt. 1948 S. 36–39.
- [26] BENSINGER, W. D.: Die Aussichten der Schiebersteuerungen für Flugmotoren. Ringbuch der Luftfahrttechnik III, A 2.
- [27] HOLFELDER, O.: Erfahrungen mit Abgassauerstoffbetrieb im Ottomotor. MTZ 1 (1952) S. 4–9.

- [28] BUSSIEN: Automobiltechnisches Handbuch. Berlin: Technischer Verlag Herbert Cram 1953.
- [29] „Rover 60“ and „75 Chassis“. Automobile Engineer, July 1948 S. 243–253
- [30] Der BMW-Wagen Typ 501. ATZ 1 (1953) S. 19–20.
- [31] WIRBITZKY, G.: Der Deutz-Dieselmotor; ein Beweis für die Zweckmäßigkeit der Lüftkühlung bei Nutzfahrzeugen. München: Verlag Heinrich Vogel.
- [32] GESCHREINER, J.: Buick's V 8 Engine and New Dynaflow for 53. Automotive Industries 1 Jan. 1953 S. 50–55.
- [33] Armstrong-Siddeley Sapphire Engine. Automobile Engineer, Dez. 1953 S. 533–540.
- [34] Betriebshandbuch für BMW-250-cem-Motorrad.
- [35] KATZ: Neuzeitliche Flugmotoren. Berlin W 62: Verlag Richard Carl Schmidt & Co. 1928.
- [36] POMEROY, LAURENCE: The Grand Prix Car. Motor Racing Publications Limited.
- [37] The S. M. 1500 Chassis. Automobile Engineer, Okt. 1949 S. 377–383.
- [38] The Jaguar XK 120. Automobile Engineer, July 1950 S. 239–252.
- [39] NSU-Presseunterlagen.
- [40] GÄSTERSTÄDT, J.: Vom Junkers-Flugdieselmotor. Luftwissen 10 (1936) S. 310–317.
- [41] Zweitaktfahrzeugmotoren. MTZ 3 (1949) S. 53–57.
- [42] KNÖRNERSCHILD: Hochleistungsflugmotoren der Feindmächte. Luftwissen 9 (1938) S. 255–264.
- [43] Ergebnisse der Beuteauswertung Nr. 16. Der britische Flugmotor Napier Sabre II.
- [44] Der Bristol-Taunelscheibenmotor. ATZ 23 (1935) S. 600.
- [45] FROEDE, W.: Probleme der Vorentwicklung im Fahrzeugmotorenbau. ATZ 6 (1954) S. 141–150.
- [46] MANTELL, LOUIS: The Aspin Engine. Automobile Engineer, Jan. 1938 S. 3–6.
- [47] BROINSKY, H.-J.: Untersuchungen an einer Ventilsteuerung. MTZ 9 (1954) S. 256–271.

10-7-1985

~ Okullarında verilmektede
olan eğitim uygulanalar arasında
en iyak Kuran ile aranma
den ve Kurandan iyak uygulanır
eğitimi olarak İsmetin delay-
syle doğurgan - yaratıcı ~~bir~~
adam yetkene düşündür yahya
iyiyeşil uygulayınsal davranışabilme
-le onucta sünnet done bâyînle
lik gelir mehtedid.

st-ül-ül
"antalyasına göre
olmekte dek
yacarlı olmak için
qalızacığım
devitgen konusu
ben diri tutuyor.
Türk ulusuna yararlı
olma düşüdü
ne güzel 26.05.2015

Habib

24 Kasım 978
Ferit
⁴⁰
Baltacı

MOTOR KONSTRÜKSİYONU

(Gaz kumanda elamanları)

Çeviren
MESUT YALÇINKAYA
Mak. Yük. Müh.

GÜVEN KİTABEVİ
1974

Motor Tasarımı II.

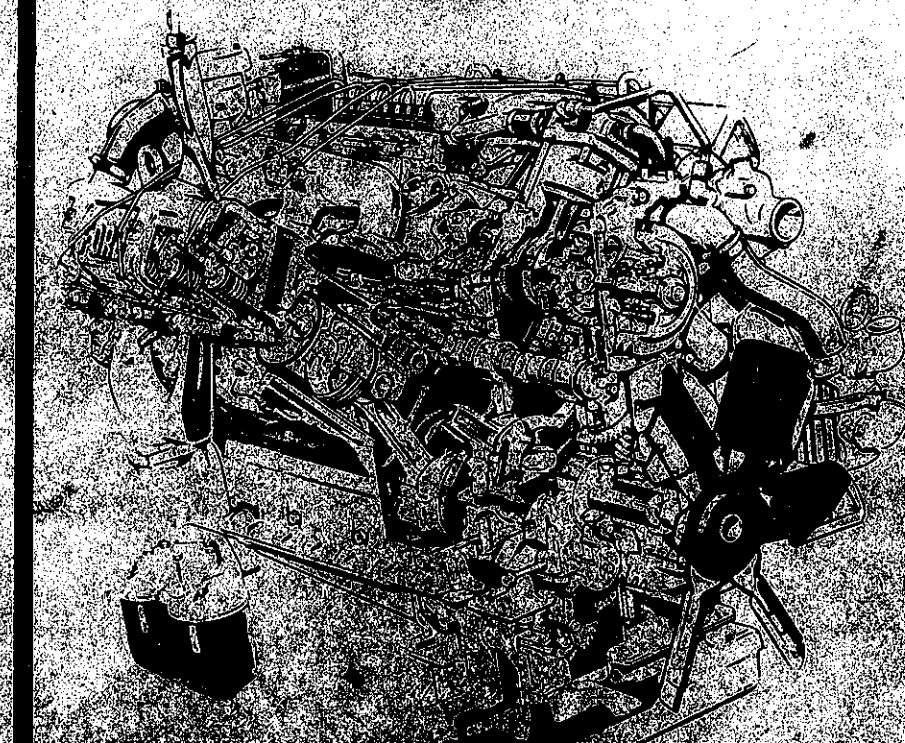
MOTOR Tasarımı KONSTRÜKSİYONU

Yazar

Dipl. Ing. Wolf-Dieter Bensinger

ÇEVİREN
Mesut Yıldızkaya
Mak. Yük. Müh.

GÖK YAPRARI



| W. D. BENINGER

MOTOR KONSTRÜKSİYONU

CİLT
II



70

Güven Kitabevi
ANKARA İZMİR İSTANBUL
1974

GÜVEN KİTABEVI
ANKARA
1974

Dağıtım :
GÜVEN KİTABEVI
Müdafaa Cad. 16/B
Tel : 17 89 76 Kızılay - Ankara